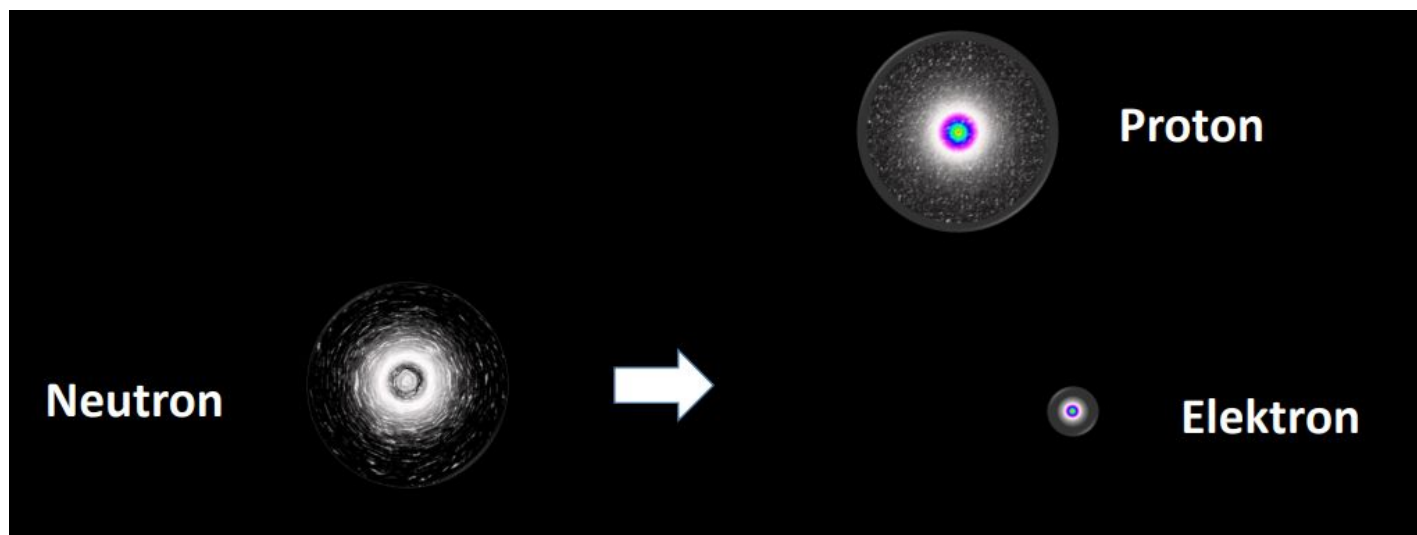


Jak se chytají částice



Částice

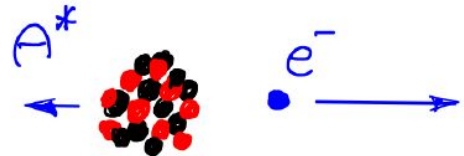
Rozpad neutronu



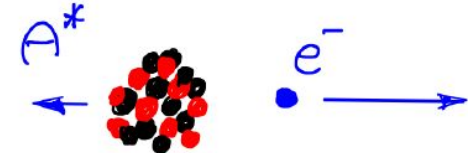
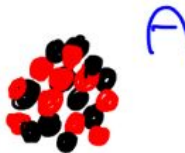
Beta rozpad



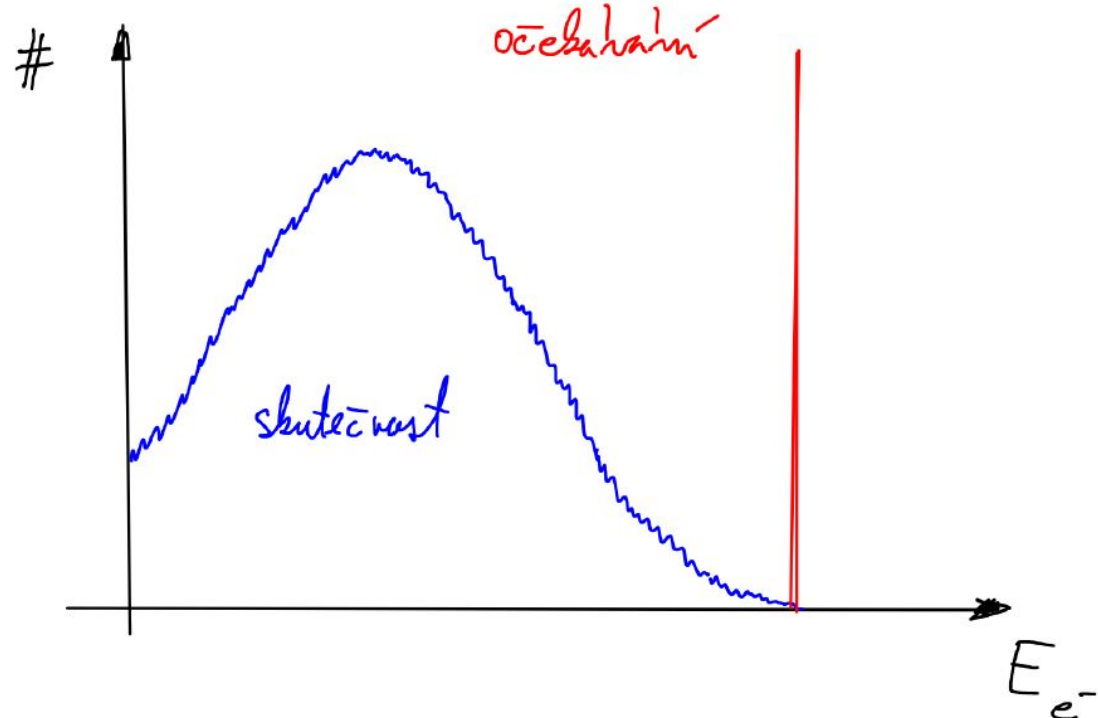
A



Beta rozpad



- Problém: pozorované spektrum energií elektronů z beta rozpady bylo široké, neodpovídalo očekávání jedné energie, kdyby šlo o dvojčásticový rozpad $A \rightarrow A^* e^-$.
- Dáno zákonem zachování hybnosti a energie.



Neutrino – teoretické předpověď 1930

Offener Brief an die Gruppe der Radioaktiven bei der
Gauvereins-Tagung zu Tübingen.

Abschrift

Physikalisches Institut
der Eidg. Technischen Hochschule
Zürich



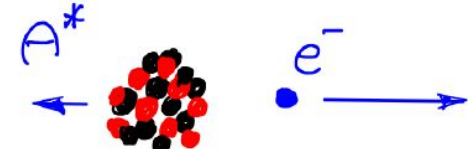
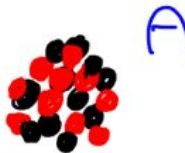
Wolfgang Pauli

Zürich, 4. Dez. 1930
Gloriastrasse

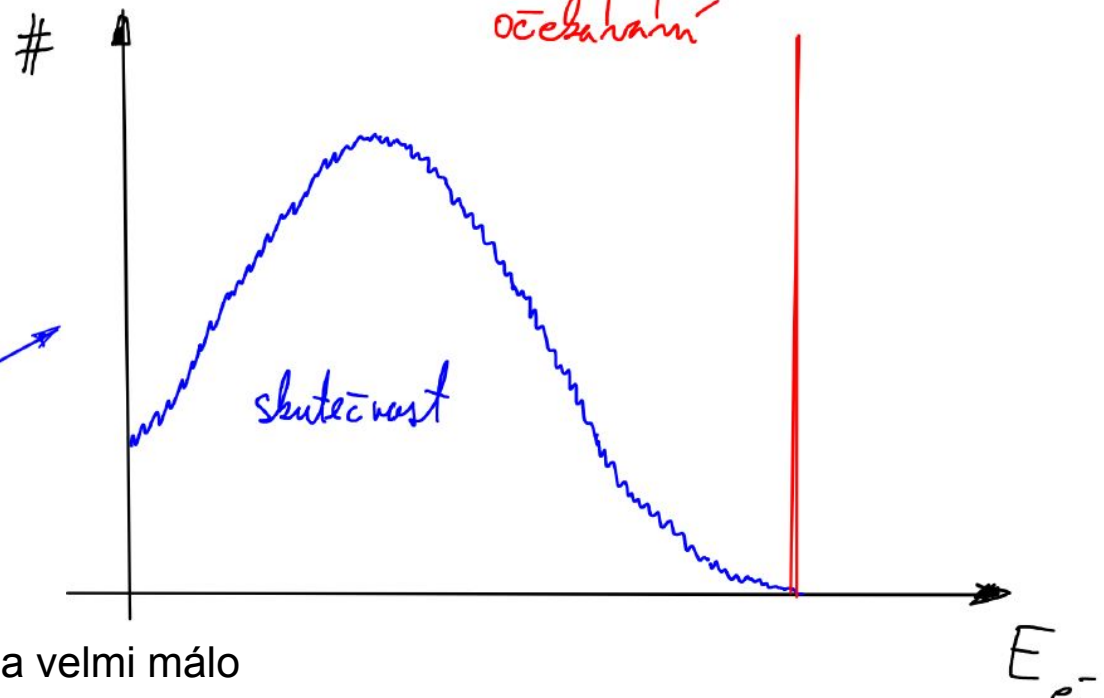
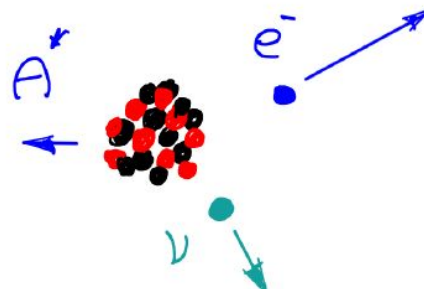
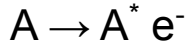
Liebe Radioaktive Damen und Herren,

Wie der Ueberbringer dieser Zeilen, den ich huldvollst
anzuhören bitte, Ihnen des näheren auseinandersetzen wird, bin ich
angesichts der "falschen" Statistik der N- und Li-6 Kerne, sowie
des kontinuierlichen beta-Spektrums auf einen verzweifelten Ausweg
verfallen um den "Wechselsatz" (1) der Statistik und den Energiesatz
zu retten. Nämlich die Möglichkeit, es könnten elektrisch neutrale
Teilchen, die ich Neutronen nennen will, in den Kernen existieren,
welche den Spin 1/2 haben und das Ausschließungsprinzip befolgen und

Beta rozpad

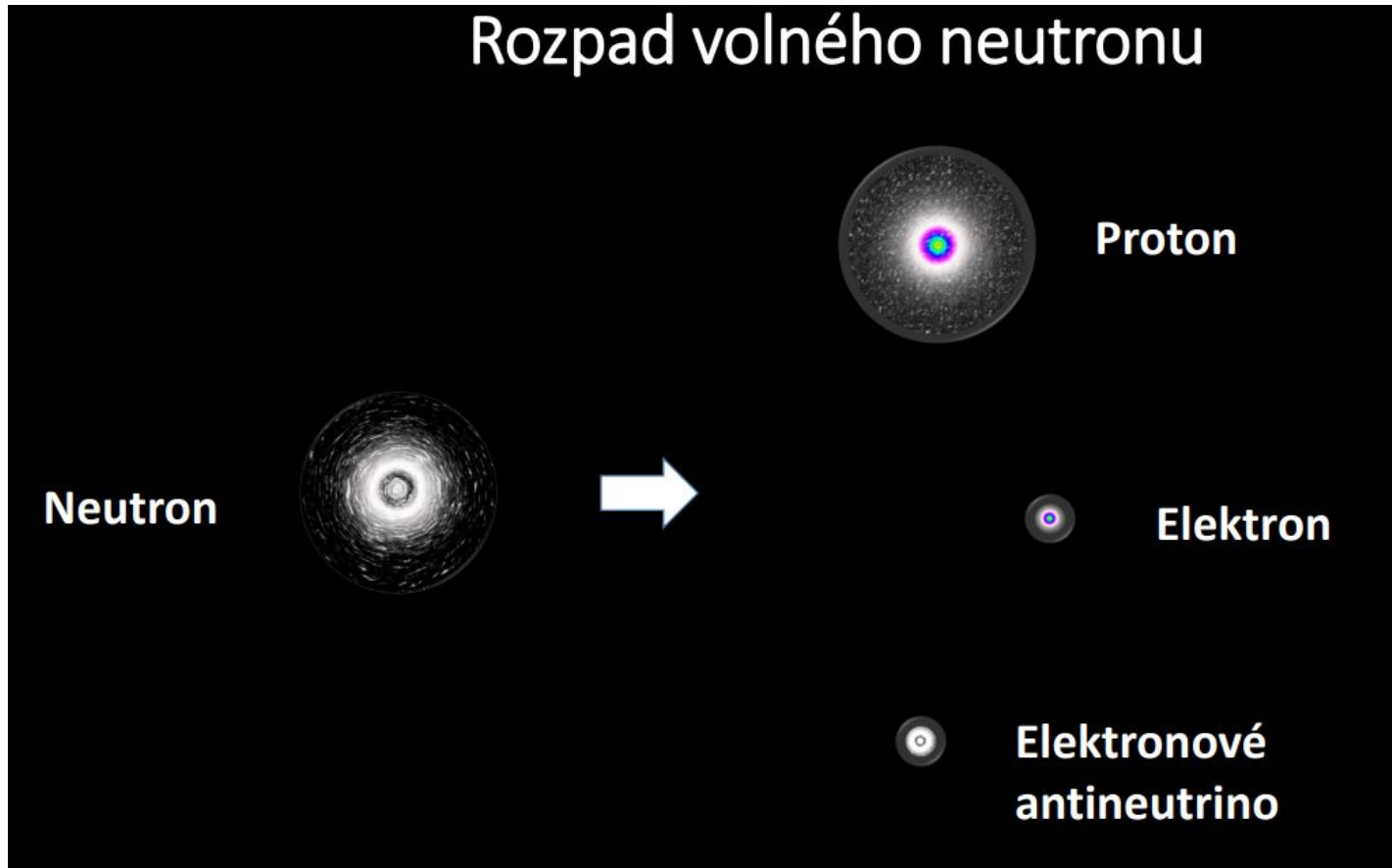


- Problém: pozorované spektrum energií elektronů z beta rozpady bylo široké, neodpovídalo očekávání jedné energie, kdyby šlo o dvojčásticový rozpad



- Neutrino: neutrální, velmi lehká a velmi málo interagující částice.

Beta rozpad



Objev neutrina :: 1956

- Reaktor Savannah river
- 5×10^{13} neutrin / s / cm²
- Clyde Cowan, Frederic Reines.

nature

View all journals | Search | Log in

Explore content | About the journal | Publish with us | Subscribe | Sign up for alerts | RSS feed

nature > articles > article

Published: 01 September 1956

The Neutrino

FREDERICK REINES & CLYDE L. COWANJUN.

Nature 178, 446–449 (1956) | Cite this article

2805 Accesses | 128 Citations | 60 Altmetric | Metrics

An Erratum to this article was published on 08 September 1956

Access to this article via Palacký University Olomouc is not available.

Change institution

Buy or subscribe

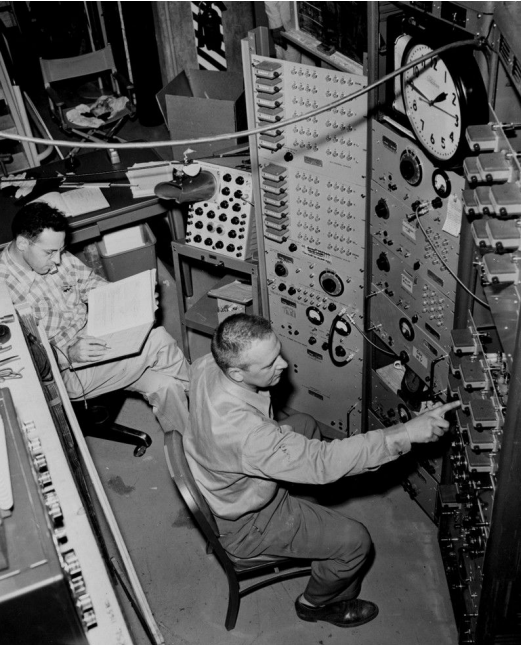
Editorial Summary

The neutrino – the mystery and the discovery

In the 1920s, physicists were confused: the phenomenon of β decay (in which an electron is emitted from the atomic nucleus) seemed to violate conservation laws. The energy spectrum of the electrons, show all

Each new discovery of natural science broadens our knowledge and deepens our understanding of the physical universe; but at times these advances raise new and even more fundamental questions than those which they answer. Such was the case with the discovery and investigation of the radioactive process termed 'beta decay'. In this process an atomic

This is a preview of subscription content, [access via your institution](#)



The Nobel Prize in Physics 1995

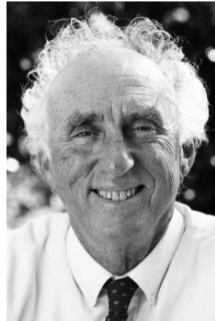


Photo from the Nobel Foundation archive.

Martin L. Perl

Prize share: 1/2



© University of California Regents

Frederick Reines

Prize share: 1/2

<https://www.symmetrymagazine.org/article/neutrino-turns-60>

https://en.wikipedia.org/wiki/Cowan%20%93Reines_neutrino_experiment

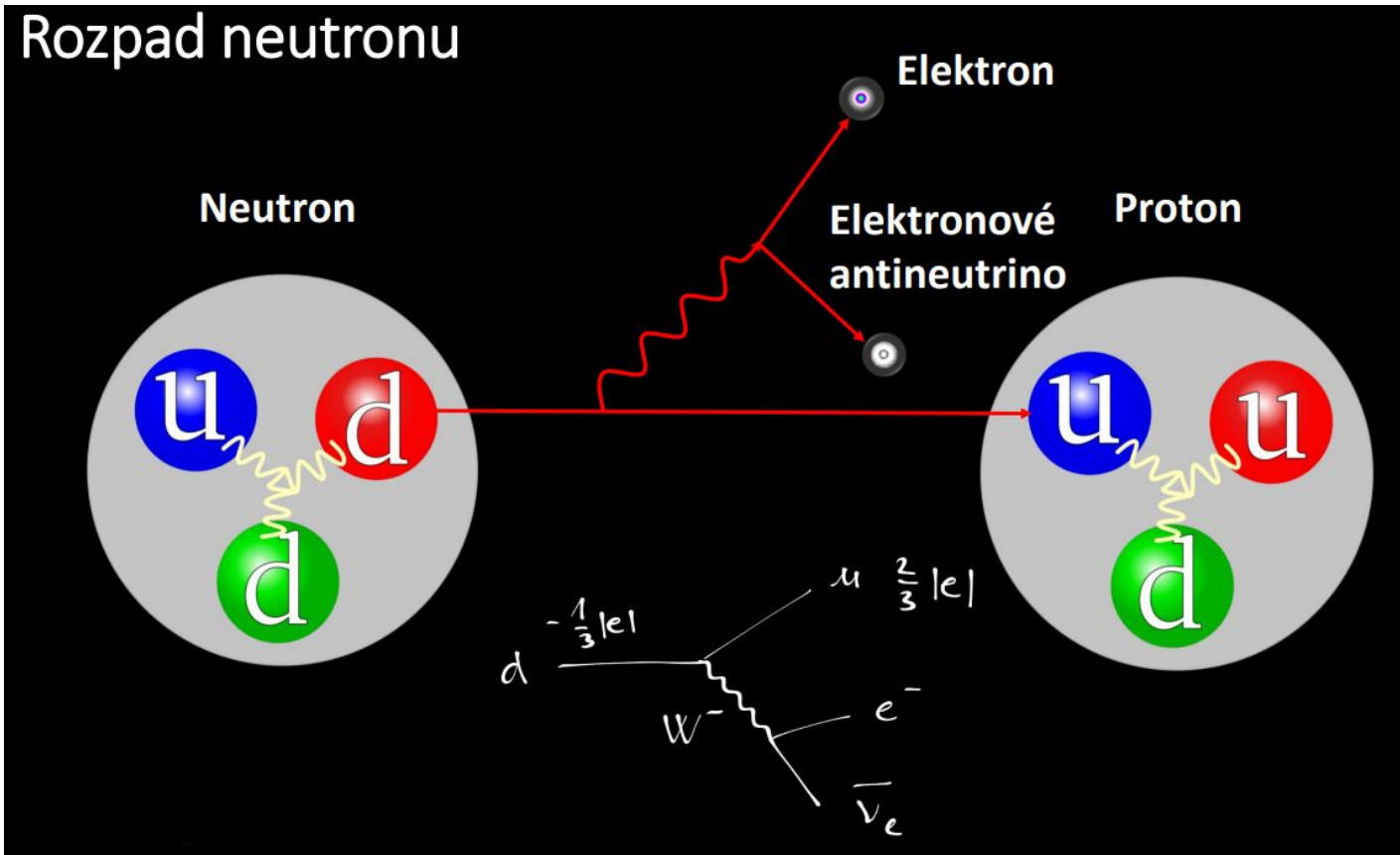
Objev neutrina :: 1956

$$n^o \rightarrow p^+ e^- \bar{\nu}_e$$

$$\bar{\nu}_e p \rightarrow n^o e^+ \quad e^+ e^- \rightarrow \gamma\gamma$$

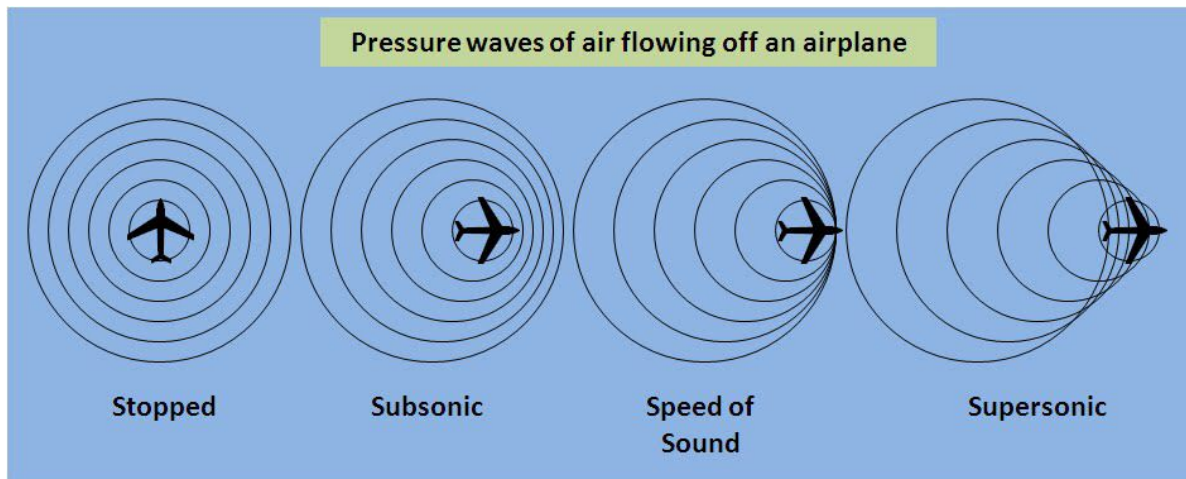


Neutrina z beta rozpadu



Odbočka: Rázová akustická vlna

- Letadlo překračuje rychlosť zvuku

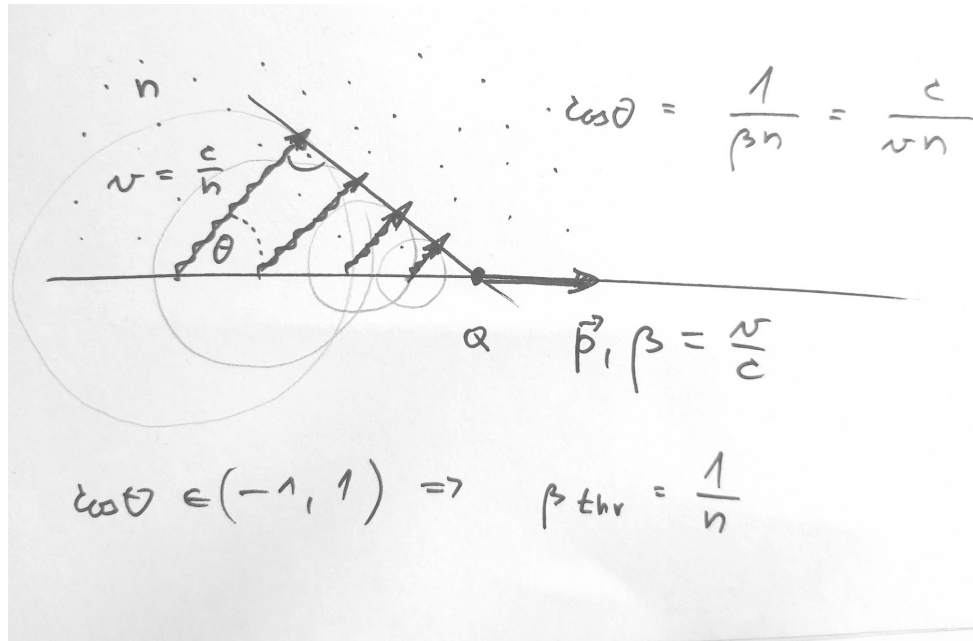
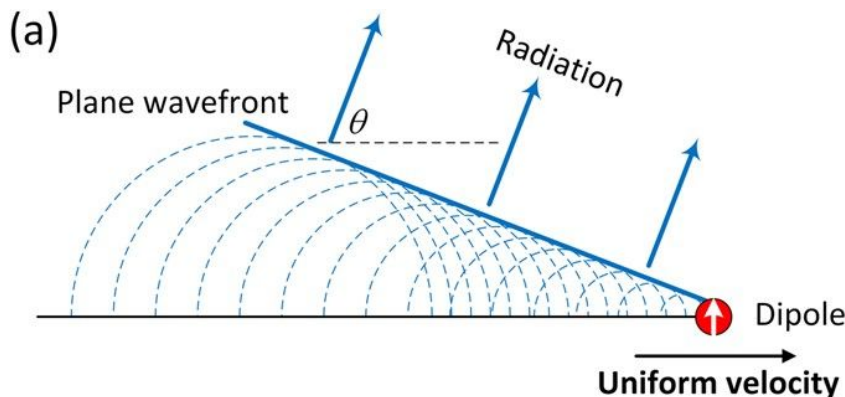


<https://physics.stackexchange.com/questions/282353/how-does-particle-speed-affect-cherenkov-radiation>

https://en.wikipedia.org/wiki/Sound_barrier

Čerenkovovo záření

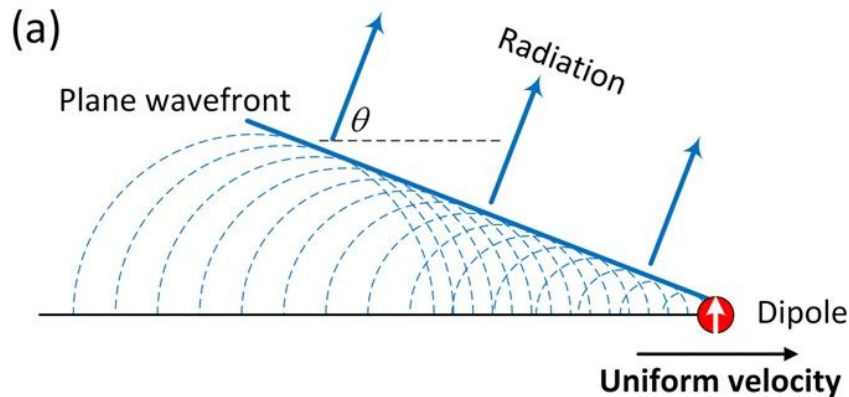
- Nabité částice překračuje rychlosť světla v hmotném prostředí
 - ideálně transparentní médium
- $v_{světla} = c / \text{index lomu} = c / n$



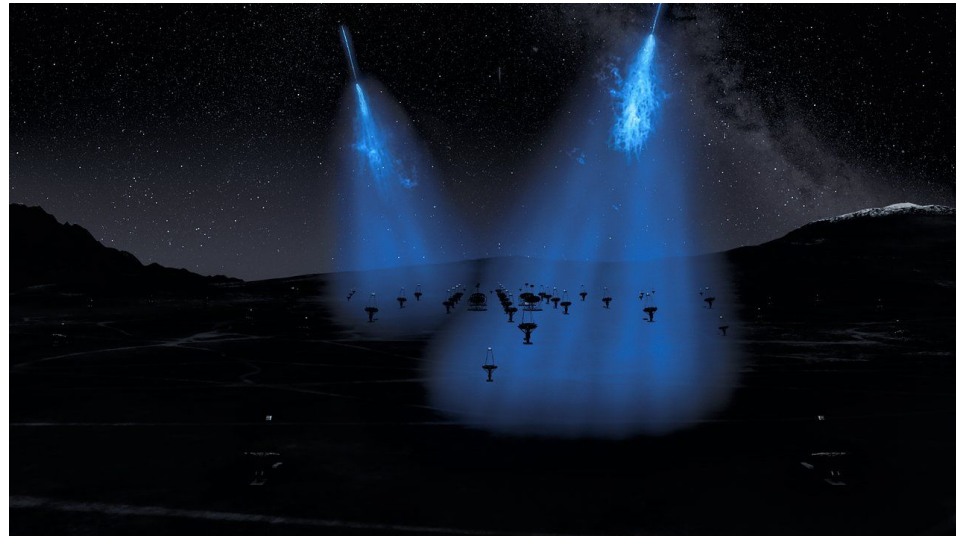
<https://www.nature.com/articles/s41598-017-08705-4>

Čerenkovovo záření

- Nabité částice překračuje rychlosť světla v hmotném prostředí
 - ideálně transparentní médium
- $v_{světla} = c / \text{index lomu} = c / n$

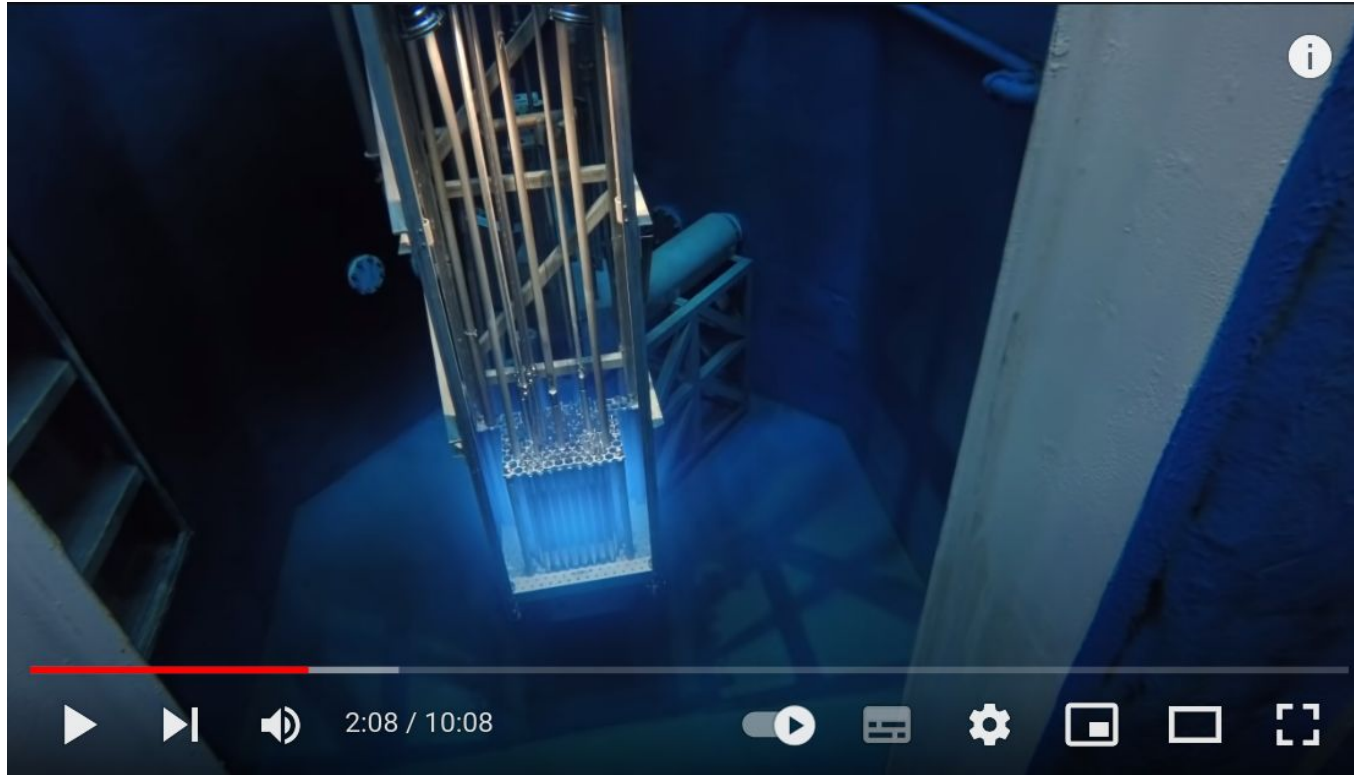


<https://www.nature.com/articles/s41598-017-08705-4>



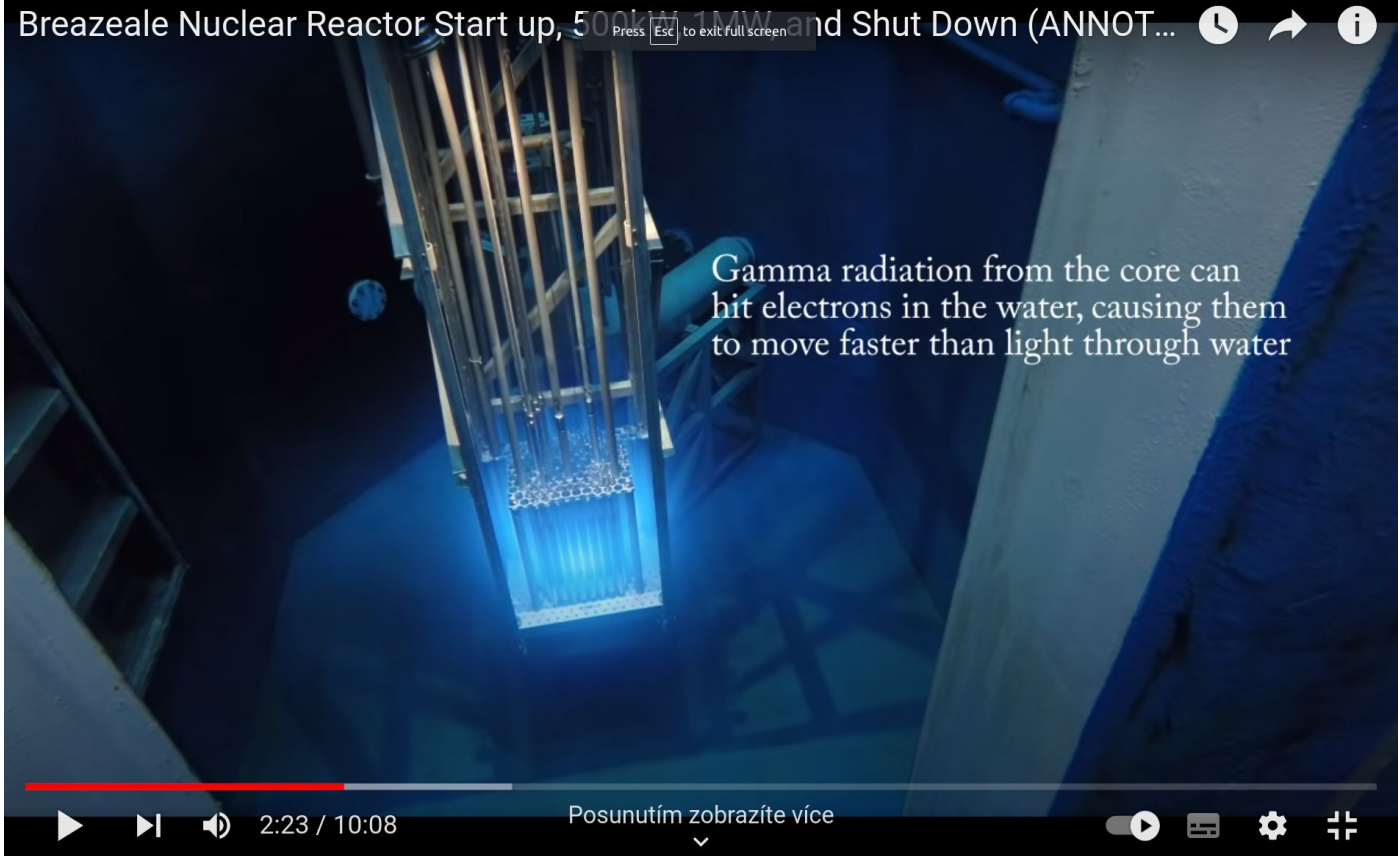
<https://www.eso.org/public/czechrepublic/images/eso1841i/>

Čerenkovovo záření

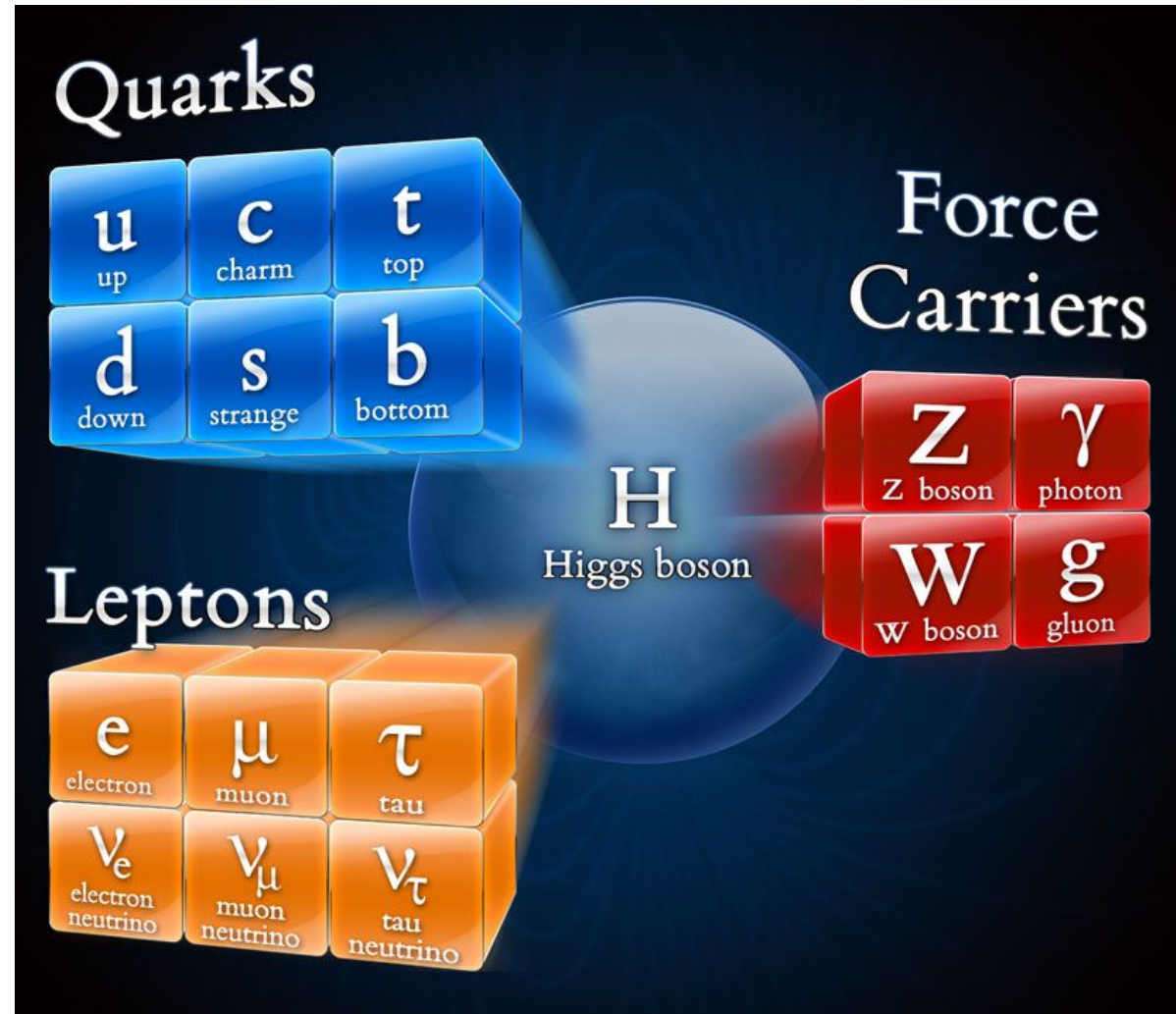


https://www.youtube.com/watch?v=uYrhWO_ZLYw&t=516s&ab_channel=AlexLandress

Čerenkovovo záření

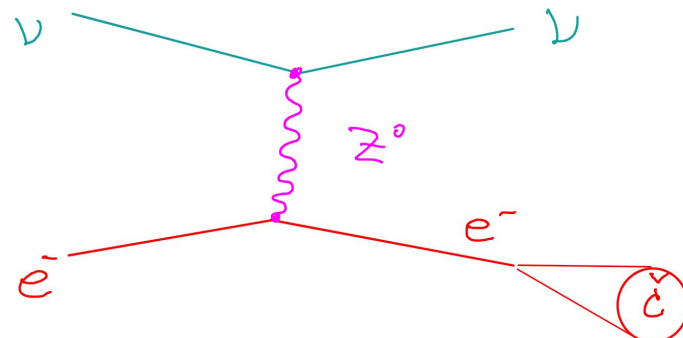
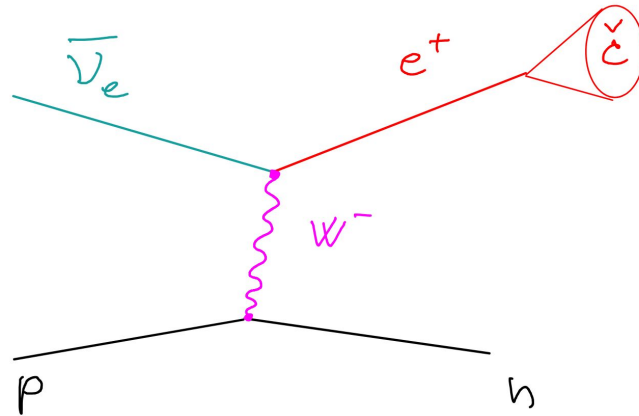


https://www.youtube.com/watch?v=uYrhWO_ZLYw&t=516s&ab_channel=AlexLandress

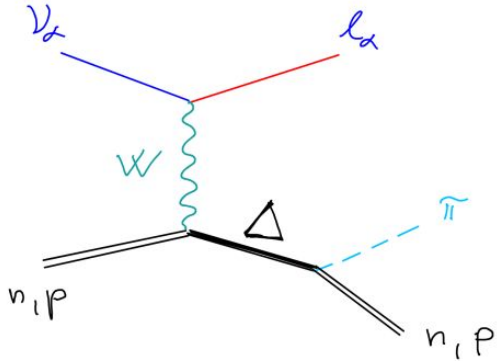


Interakce neutrin

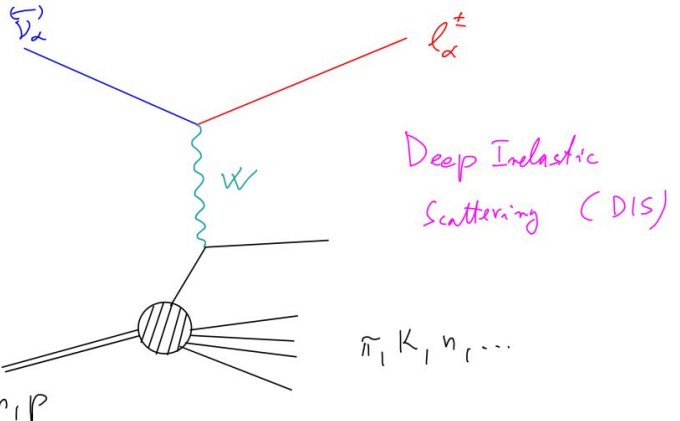
- Měříme částice, které v interakcích vzniknou
- Druh neutrina je spjat s druhem nabitého leptonu



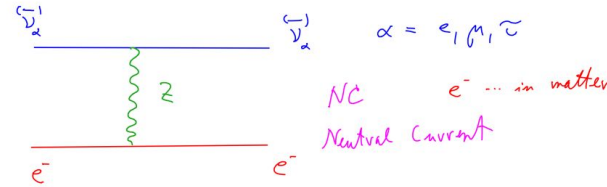
Interakce neutrin



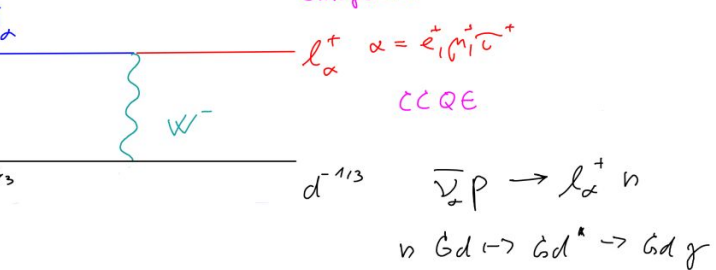
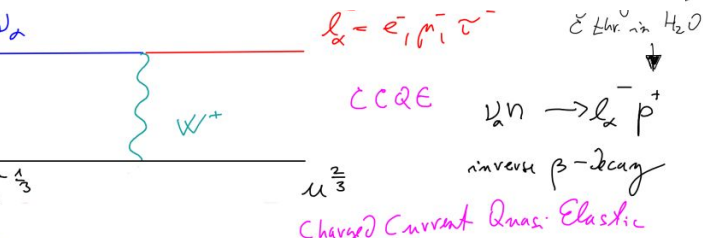
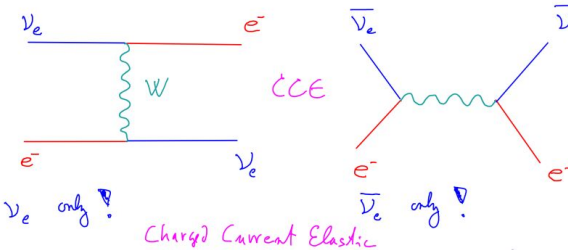
Resonant pion
production
 $\bar{C} C 1\pi$
 $\bar{C} C$ Current
+ 1 π^+ Production



Deep Inelastic
Scattering (DIS)



$\alpha = e_1 m_1 \tilde{c}$
NC
 e^- ... in matter
Neutral Current



$\bar{\nu}_\alpha p \rightarrow \ell_\alpha^+ n$
 $n \rightarrow d \bar{d}^* \rightarrow d \bar{d} g$

Experiment Kamiokande(-II) :: 3kt H₂O

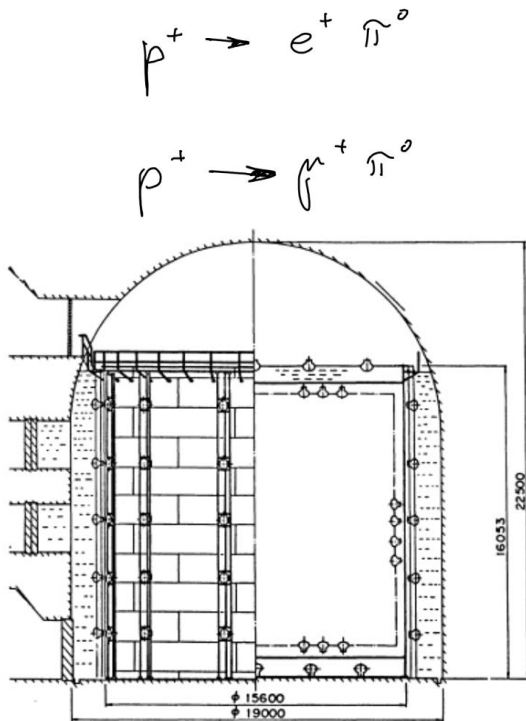
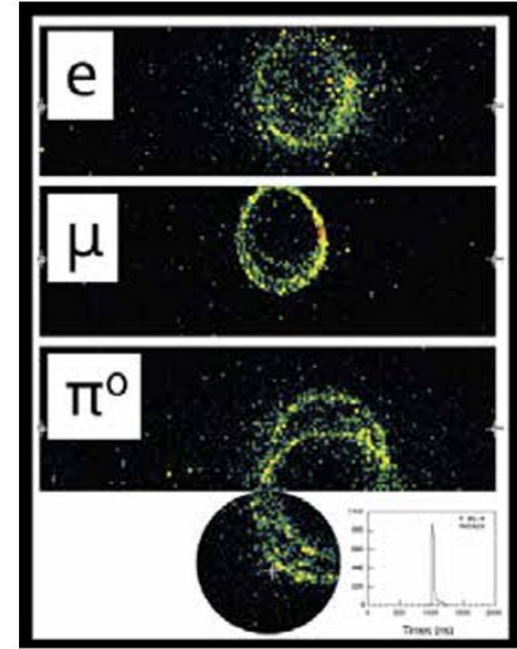


Figure 2: The detector of KAMIOKANDE -II. The dimensions are given in millimeters.



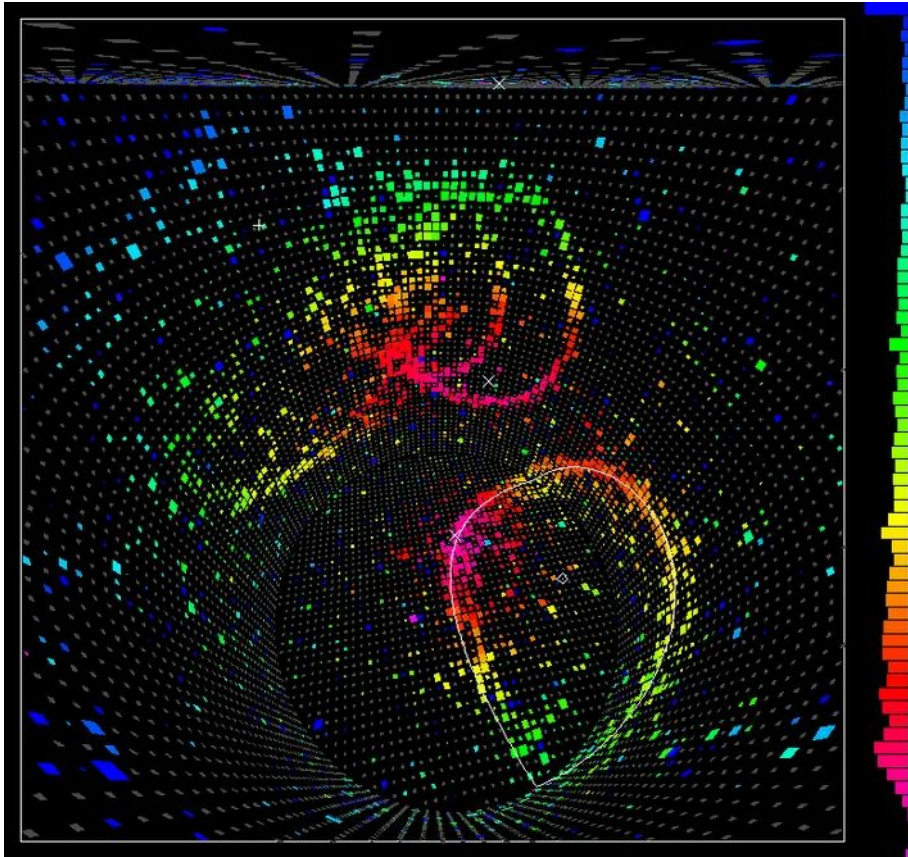
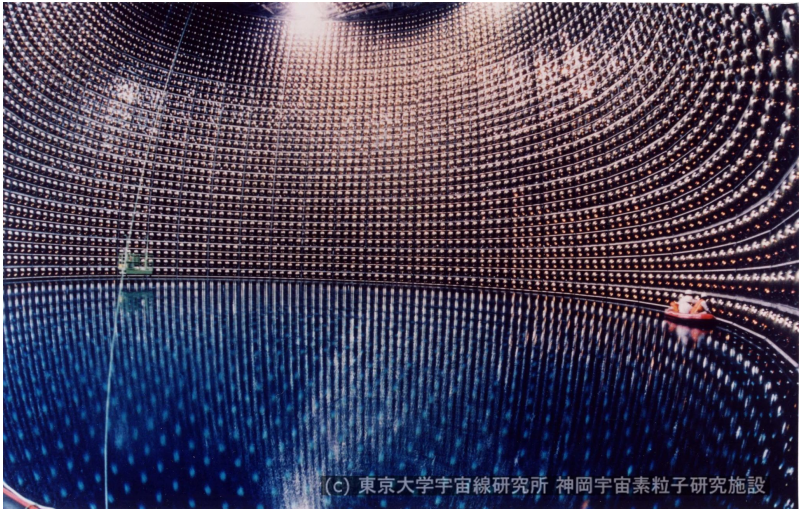
Neutrino identification

Super Kamiokande :: 50kt H₂O Kamioka Nucleon Decay Experiment

<https://www-sk.icrr.u-tokyo.ac.jp/en/sk/about/history/>

<https://www-sk.icrr.u-tokyo.ac.jp/en/sk/experience/gallery/>

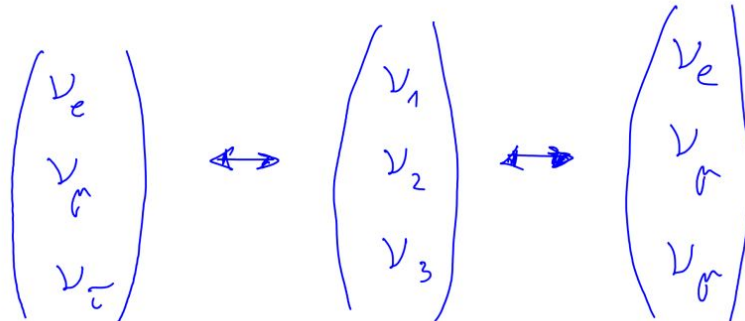
<https://www.forbes.com/sites/startswithabang/2018/12/05/is-there-really-a-fourth-neutrino-out-there-in-the-universe/>



Oscilace neutrin

- Neutrino původního druhu s "letem" a interakcí v hmotě mění svůj typ.
- Neutrinová přecházejí v mionová apod
- Druh neutrina poznáme v interakci
- S elektronovým se pojí elektronové apod
- Oscilace tak lze pozorovat a měřit
- Důležitá část Standardního modelu
- Dochází k oscilacím podle současné teorie?

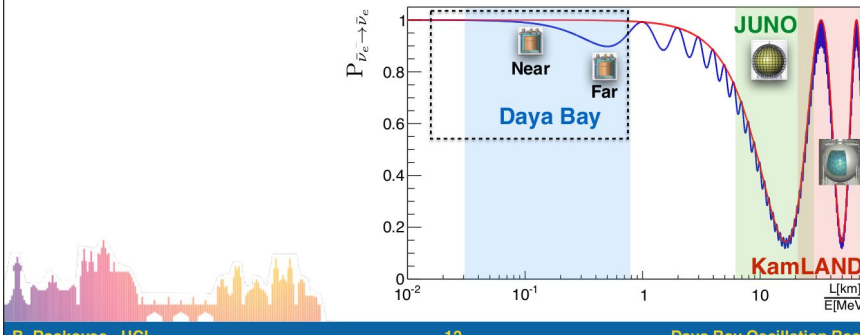
Oscilace neutrin



WW Looking at the flux of $\bar{\nu}_e$ as a function of distance and energy

WW Some $\bar{\nu}_e$'s disappear due to neutrino oscillation

Medium baseline $P_{\bar{\nu}_e \rightarrow \bar{\nu}_e}(L, E) = 1 - \sin^2 2\theta_{12} \cos^4 \theta_{13} \sin^2 \frac{\Delta m_{31}^2 L}{4E} - \sin^2 2\theta_{13} \left(\cos^2 \theta_{12} \sin^2 \frac{\Delta m_{31}^2 L}{4E} + \sin^2 \theta_{12} \sin^2 \frac{\Delta m_{32}^2 L}{4E} \right)$	Short baseline $P_{\bar{\nu}_e \rightarrow \bar{\nu}_e}(L, E) = 1 - \sin^2 2\theta_{12} \cos^4 \theta_{13} \sin^2 \frac{\Delta m_{31}^2 L}{4E} - \sin^2 2\theta_{13} \left(\cos^2 \theta_{12} \sin^2 \frac{\Delta m_{31}^2 L}{4E} + \sin^2 \theta_{12} \sin^2 \frac{\Delta m_{32}^2 L}{4E} \right)$
---	--



Super Kamiokande a neutrina z urychlovačů

- Oscilace neutrin zkoumány i s uměle vytvořenými neutriny ze svazků částic na urychlovačích.



Super Kamiokande

The Nobel Prize in Physics 2002

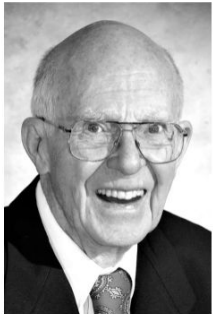


Photo from the Nobel Foundation archive.
Raymond Davis Jr.

Prize share: 1/4



Photo from the Nobel Foundation archive.
Masatoshi Koshiba

Prize share: 1/4



Photo from the Nobel Foundation archive.
Riccardo Giacconi

Prize share: 1/2

The Nobel Prize in Physics 2002 was divided, one half jointly to Raymond Davis Jr. and Masatoshi Koshiba "for pioneering contributions to astrophysics, in particular for the detection of cosmic neutrinos" and the other half to Riccardo Giacconi "for pioneering contributions to astrophysics, which have led to the discovery of cosmic X-ray sources"

<https://www-sk.icrr.u-tokyo.ac.jp/en/sk/experience/gallery/>
<https://www.forbes.com/sites/startswithabang/2018/12/05/is-there-really-a-fourth-neutrino-out-there-in-the-universe/>

The Nobel Prize in Physics 2015



© Nobel Media AB. Photo: A. Mahmoud

Takaaki Kajita

Prize share: 1/2



© Nobel Media AB. Photo: A. Mahmoud

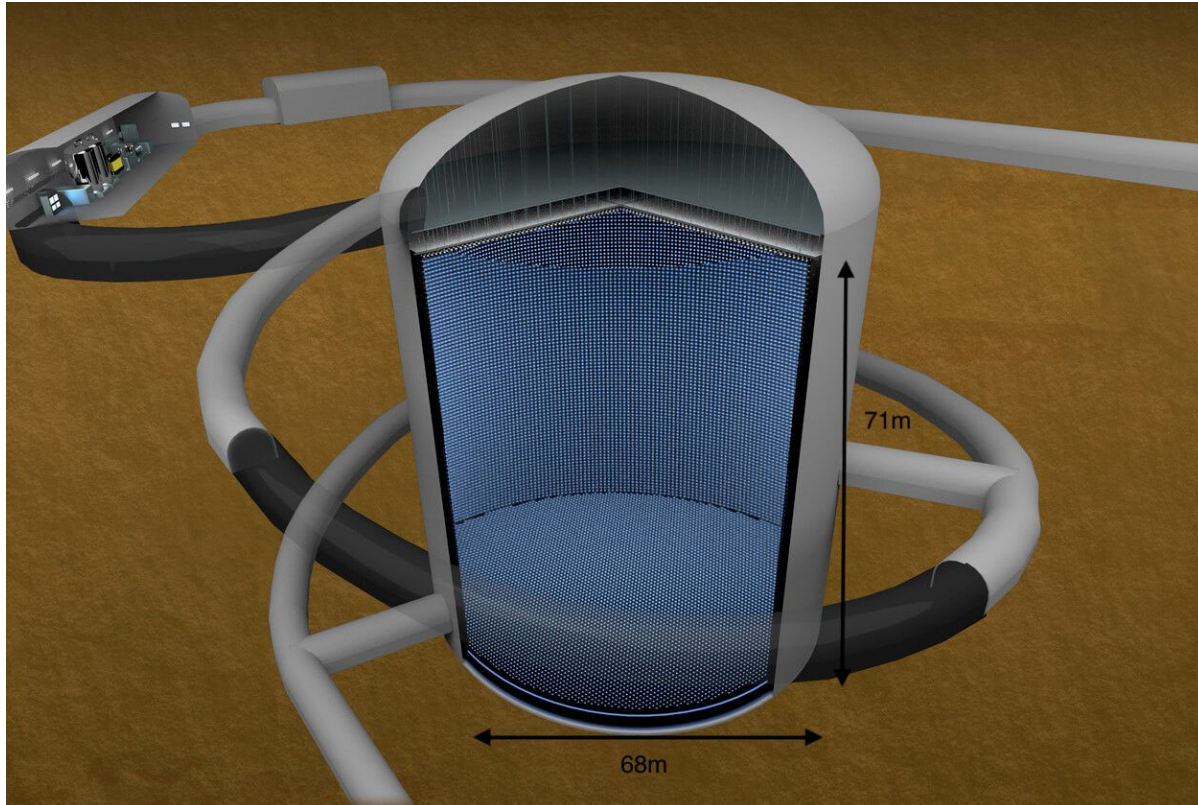
Arthur B. McDonald

Prize share: 1/2

The Nobel Prize in Physics 2015 was awarded jointly to Takaaki Kajita and Arthur B. McDonald "for the discovery of neutrino oscillations, which shows that neutrinos have mass"

Hyper Kamiokande :: 250kt H₂O

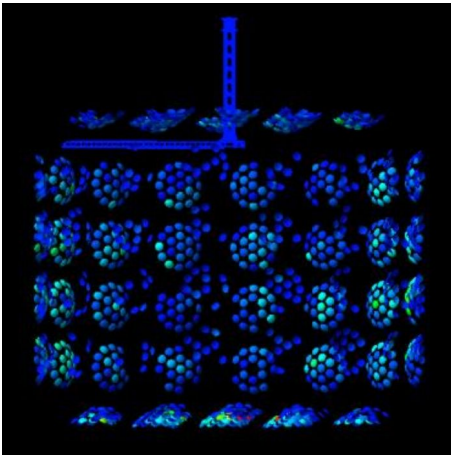
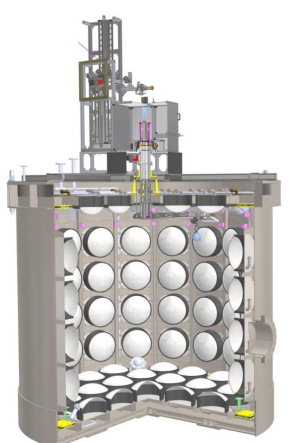
<https://www-sk.icrr.u-tokyo.ac.jp/en/hk/about/detector/>
<https://www-sk.icrr.u-tokyo.ac.jp/en/hk/>



YT :: Hyper-Kamiokande
https://www.youtube.com/watch?v=JFOE3D2z7LM&t=12s&ab_channel=Hyper-Kamiokande

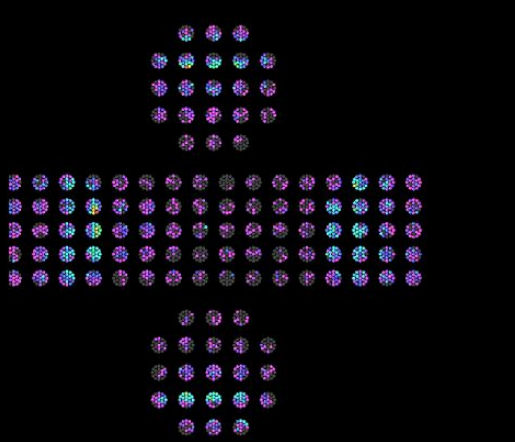
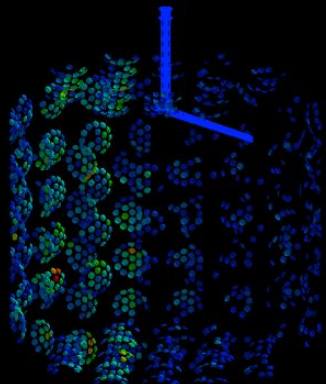
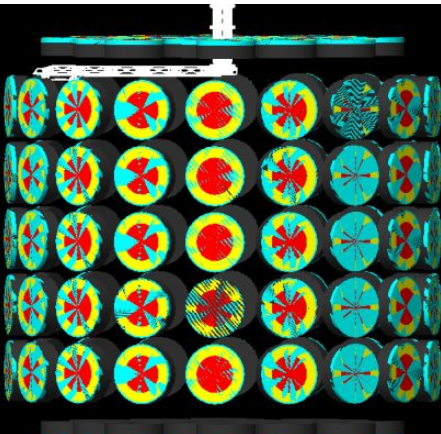


Water Cherenkov Test Experiment :: 50t H₂O @ CERN



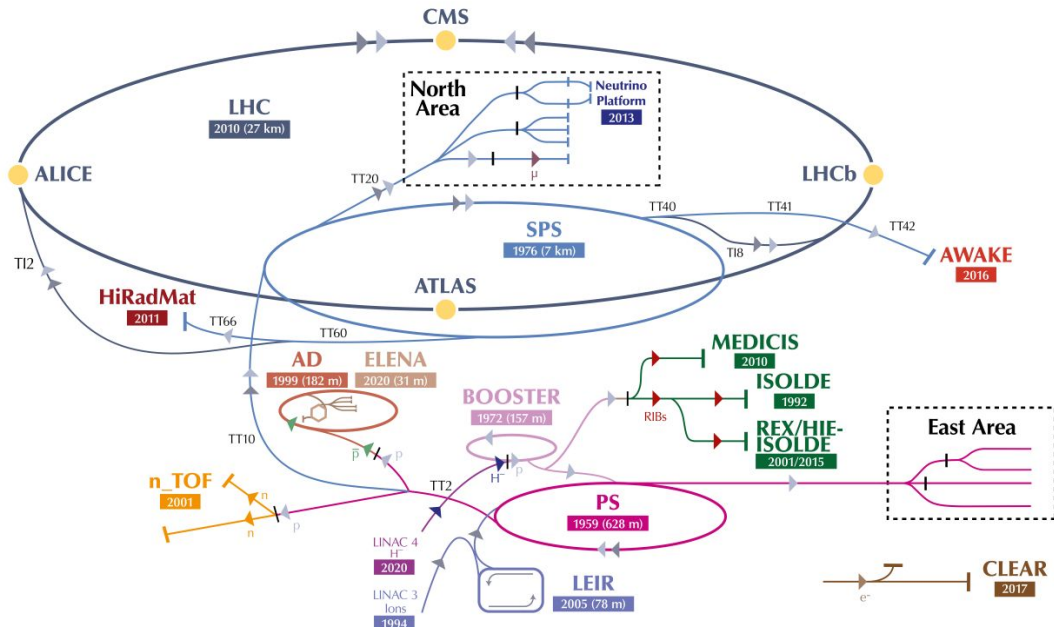
- Cíl: porozumět interakcím částic vznikajících v neutrinových reakcích.
- Pro kalibrace velkých neutrinových experimentů.

https://indico.cern.ch/event/855372/contributions/4452155/attachments/2304577/3921520/WCTE@CERN_NuFACT-2021-09-08_LAnthony.pdf



Komplex urychlovačů CERN

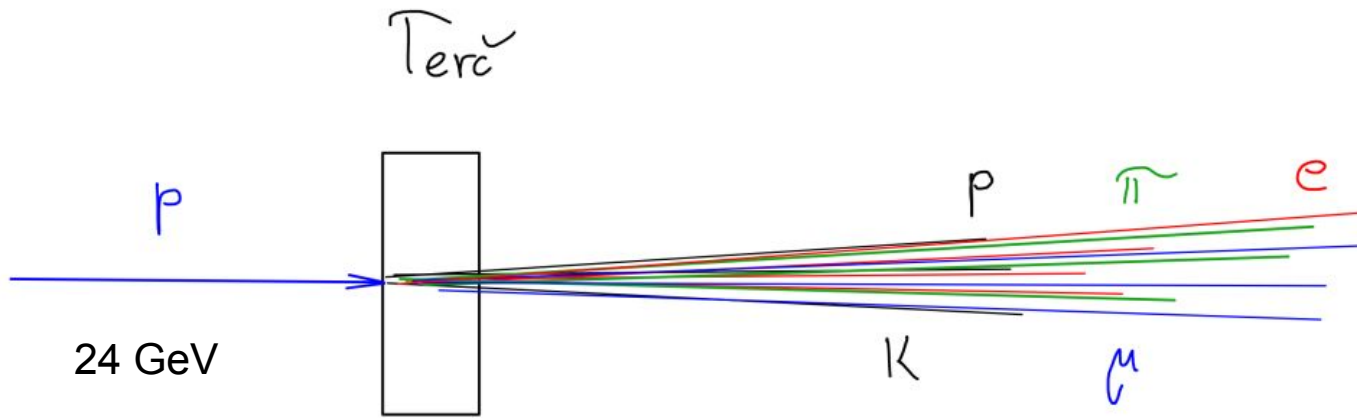
The CERN accelerator complex
Complexe des accélérateurs du CERN



<https://home.cern/science/accelerators/accelerator-complex>

LHC - Large Hadron Collider // SPS - Super Proton Synchrotron // PS - Proton Synchrotron // AD - Antiproton Decelerator // CLEAR - CERN Linear Electron Accelerator for Research // AWEAK - Advanced WAKEfield Experiment // ISOLDE - Isotope Separator OnLine // REX/HIE-ISOLDE - Radioactive EXperiment/High Intensity and Energy ISOLDE // MEDICIS // LEIR - Low Energy Ion Ring // LINAC - LINear ACcelerator // n_TOF - Neutrons Time Of Flight // HiRadMat - High-Radiation to Materials // Neutrino Platform

East Area Secondary Test Beams



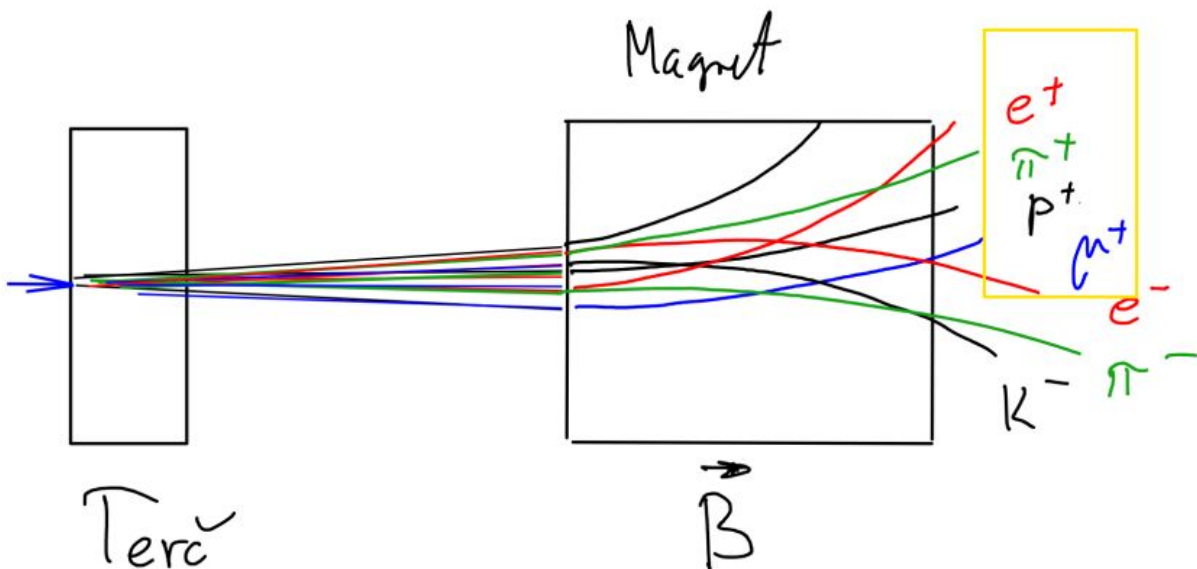
$$|\vec{p}| \quad 200 \text{ MeV} \simeq 1 \text{ GeV}$$

Analýza složení svazku pro WCTE

$$p = m v \quad \beta = \frac{v}{c}$$

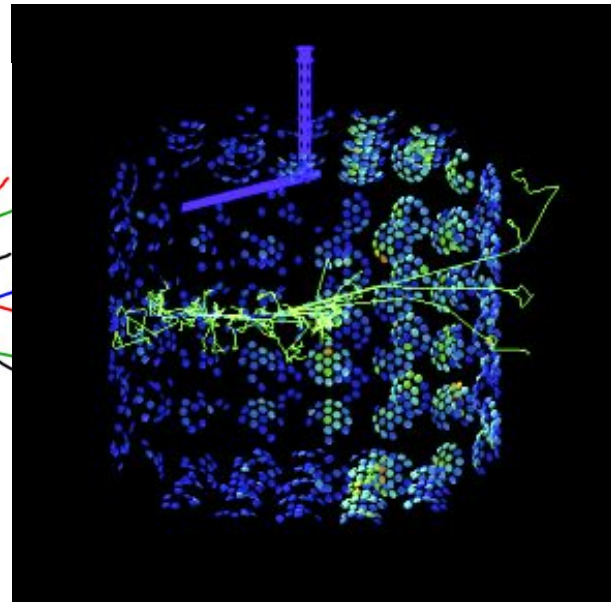
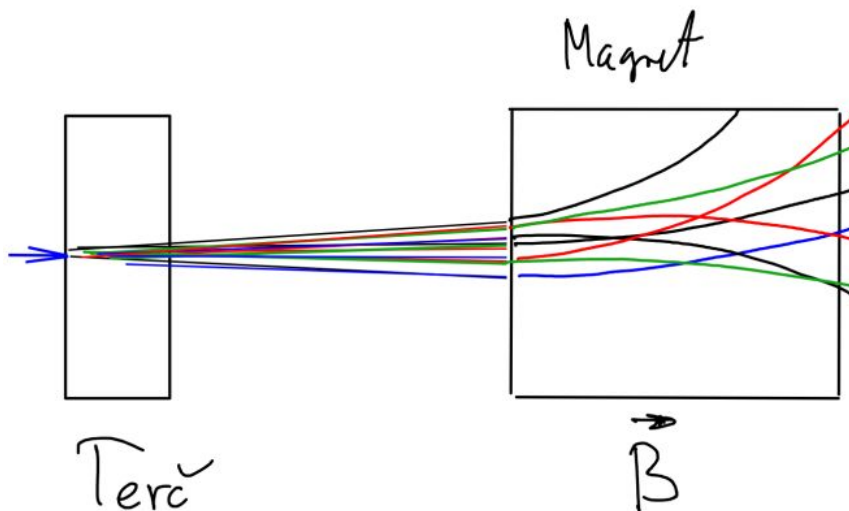
$$p = \gamma m v = \frac{1}{\sqrt{1 - \frac{v^2}{c^2}}} m v$$

$$p = \beta \gamma m c = \frac{1}{\sqrt{1 - \beta^2}} \beta m c$$



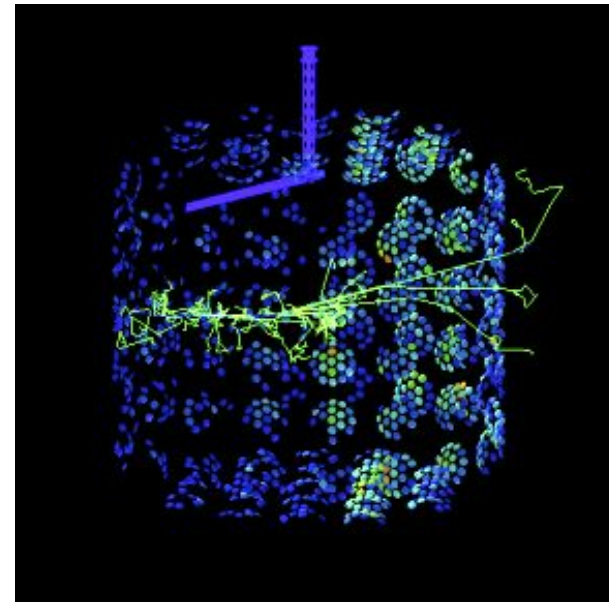
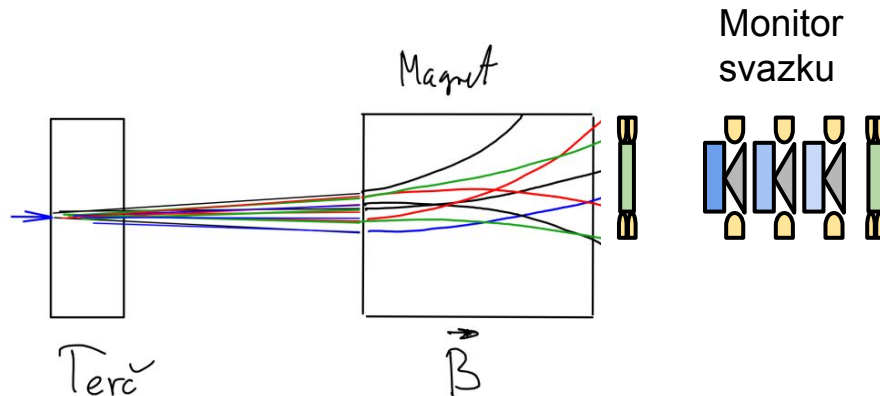
Analýza složení svazku pro WCTE

- Bude ale v sekundárním svazku dost pionů/mionů na kalibraci odezvy detektoru na tyto částice?
- Potřeba nejprve změřit složení svazku!
- Identifikace častic.

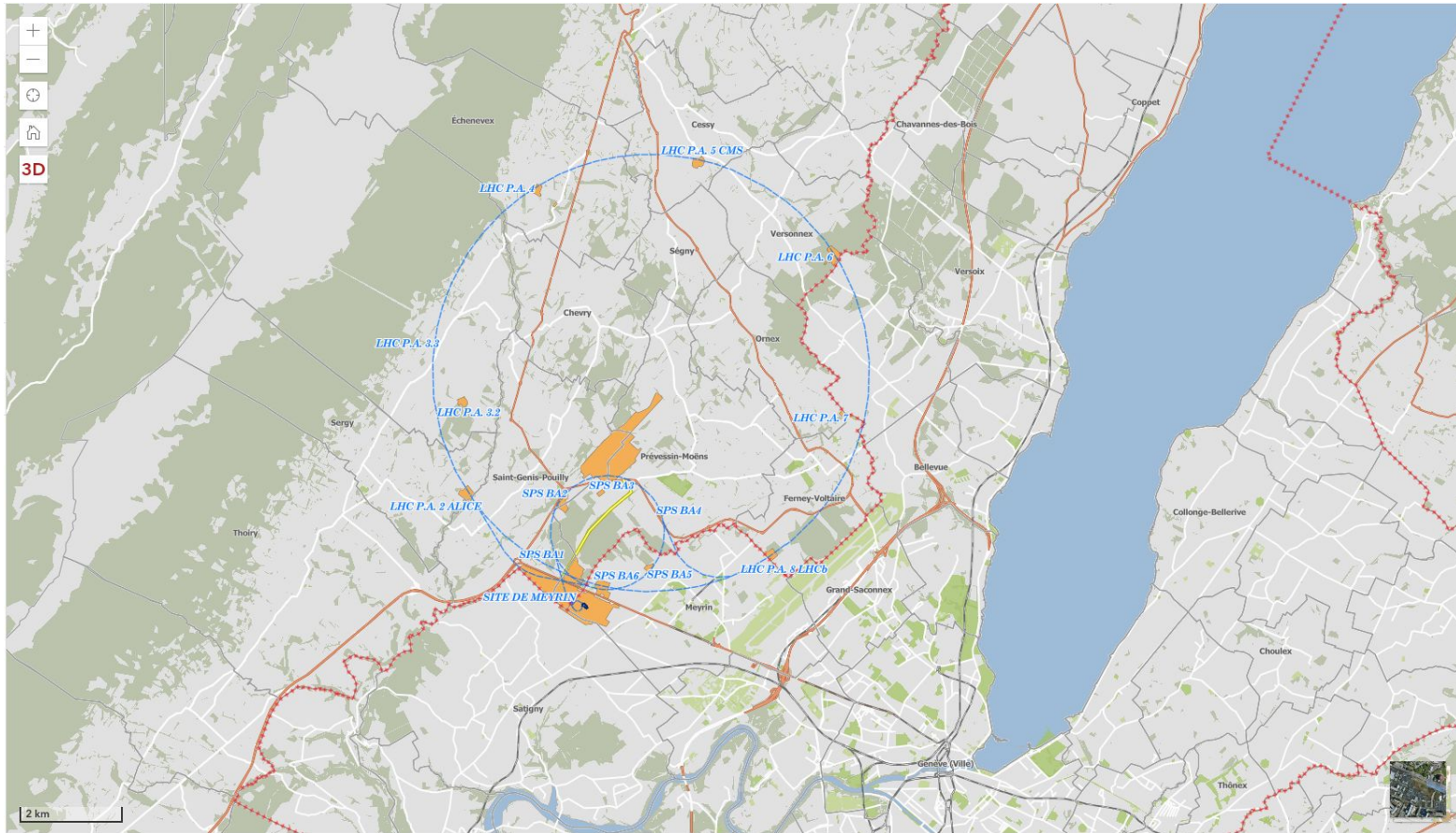


Analýza složení svazku pro WCTE

- Bude ale v sekundárním svazku dost pionů/mionů na kalibraci odezvy detektoru na tyto částice?
- Potřeba nejprve změřit složení svazku!
- Identifikace částic.



CERN :: <https://maps.web.cern.ch/>



CERN :: <https://maps.web.cern.ch/>



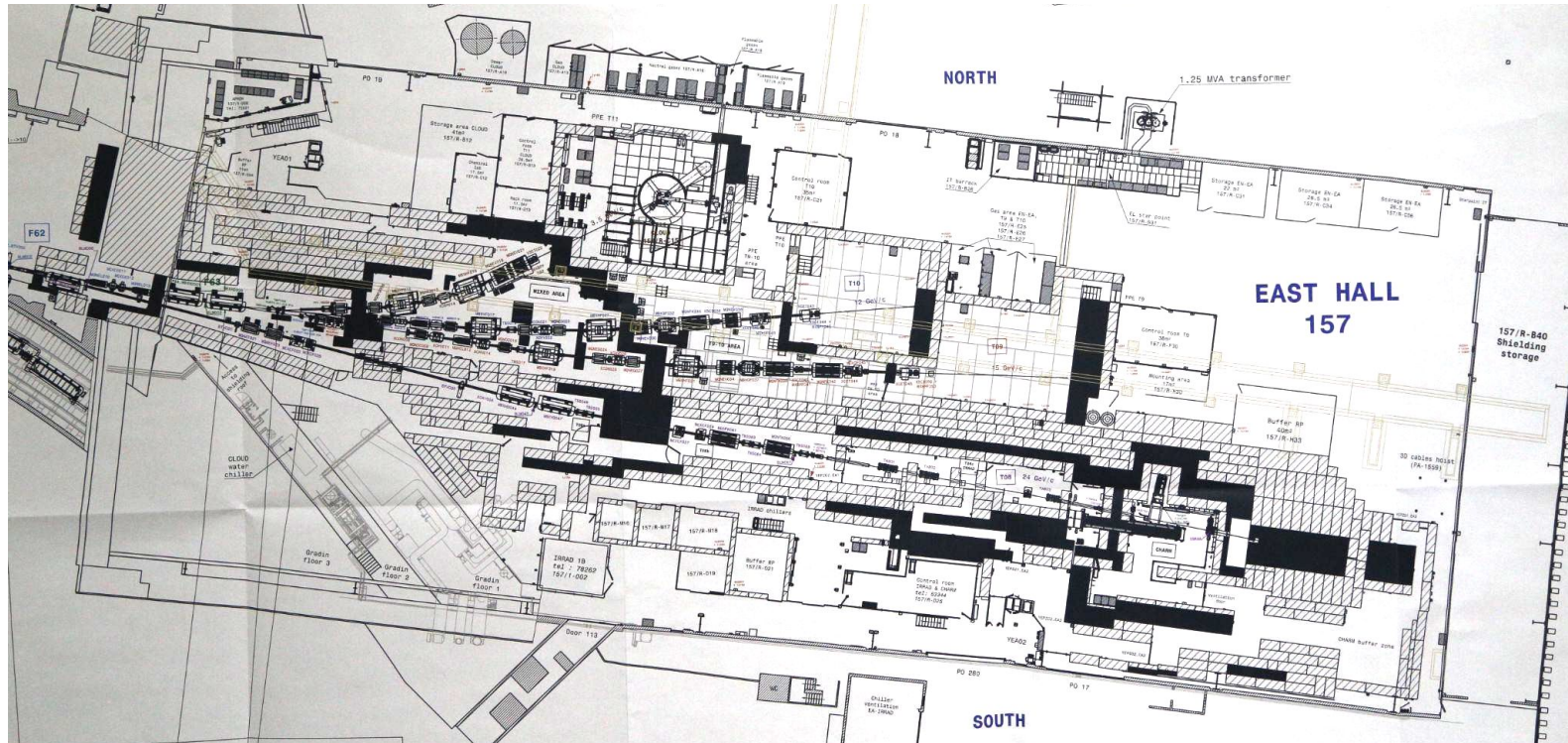
East Area 2022

- Building 157 at CERN's Meyrin site, large experimental hall housing also the CLOUD experiment, T8, T9 and T10 beam lines.



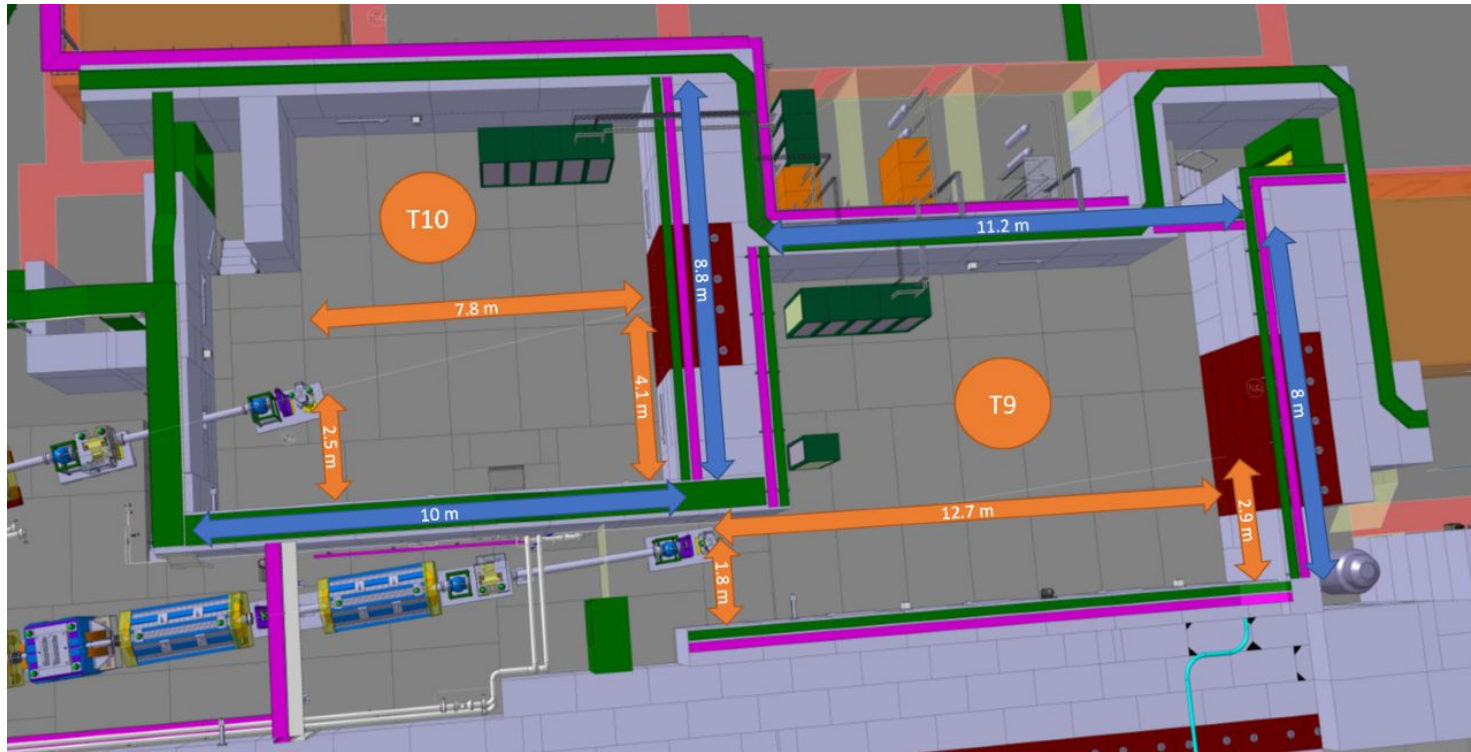
East Area

- Building 157 at CERN's Meyrin site, large experimental hall housing also the CLOUD experiment, T8, T9 and T10 beam lines.



East Area

- Building 157 at CERN's Meyrin site, large experimental hall housing also the CLOUD experiment, T8, T9 and T10 beam lines.



East Area

- Building 157 at CERN's Meyrin site, large experimental hall housing also the CLOUD experiment, T8, T9 and T10 beam lines.

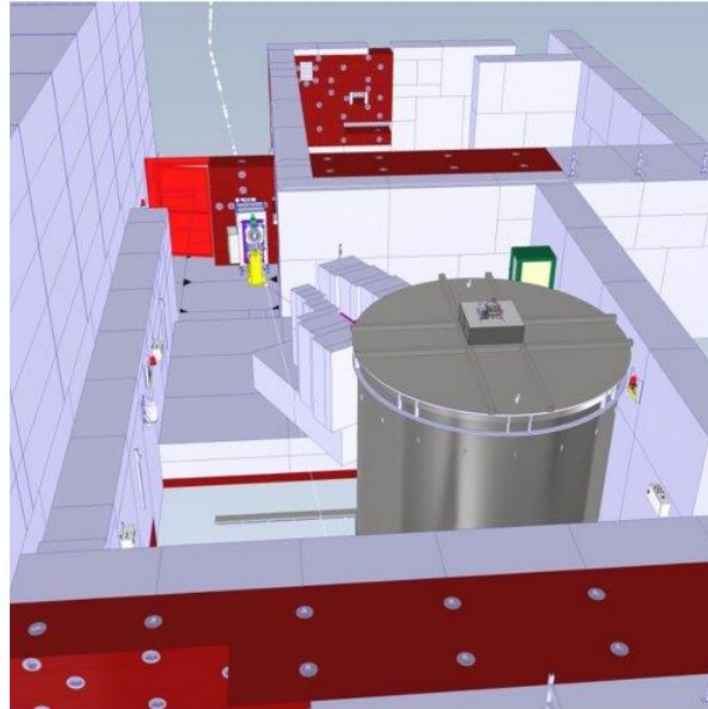
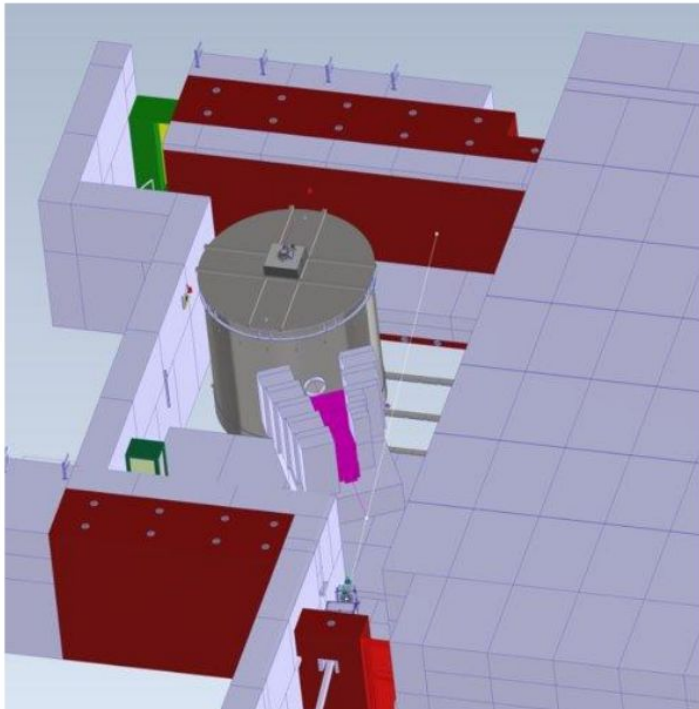


East Area



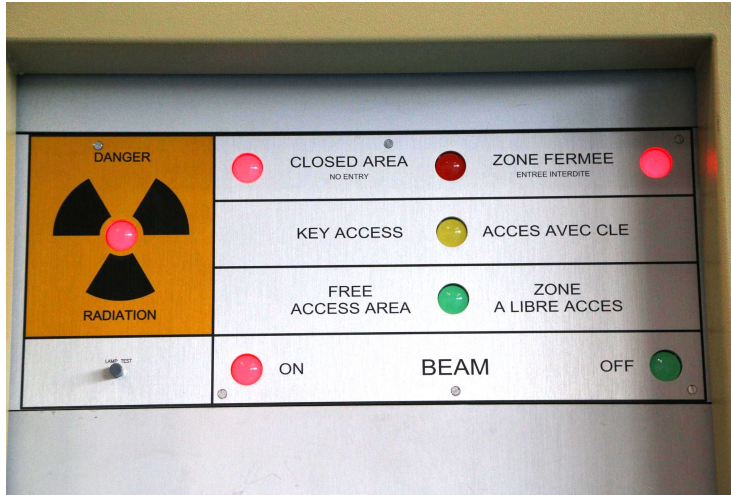
East Area

- Building 157 at CERN's Meyrin site, large experimental hall housing also the CLOUD experiment, T8, T9 and T10 beam lines.



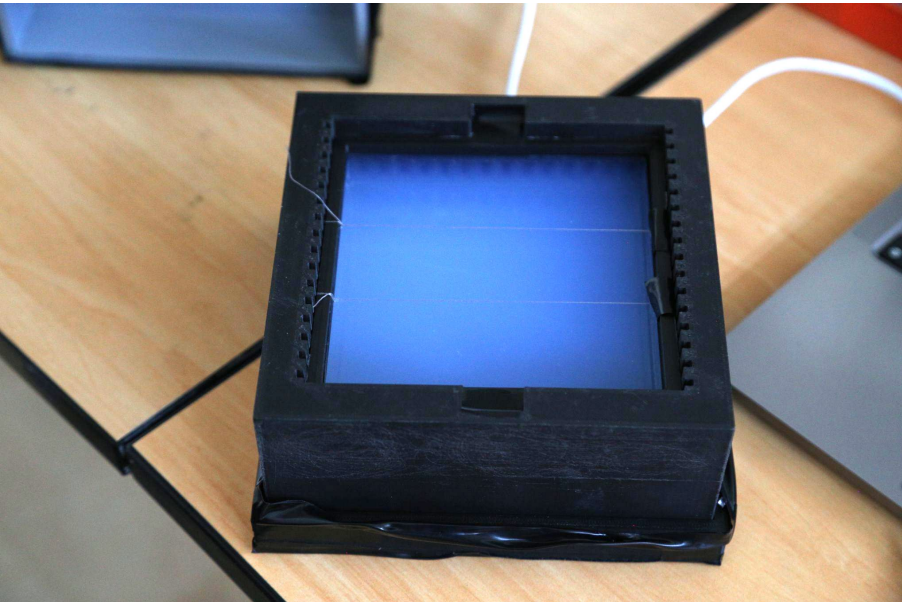
East Area 2022

- Building 157 at CERN's Meyrin site, large experimental hall housing also the CLOUD experiment, T8, T9 and T10 beam lines.



Installation :: Aerogel Cherenkov Counters

- Transparent aerogel produces Cherenkov radiation when a particle with velocity above the speed of light passes through.
- **World's Lightest Solid!**
 - https://www.youtube.com/watch?v=AeJ9q45PfD0&ab_channel=Veritasium
- Light is reflected by thin foil mirrors to PMT on both sides.



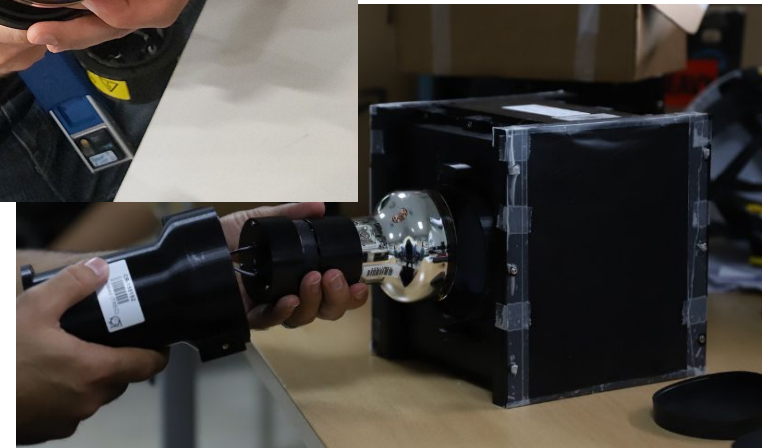
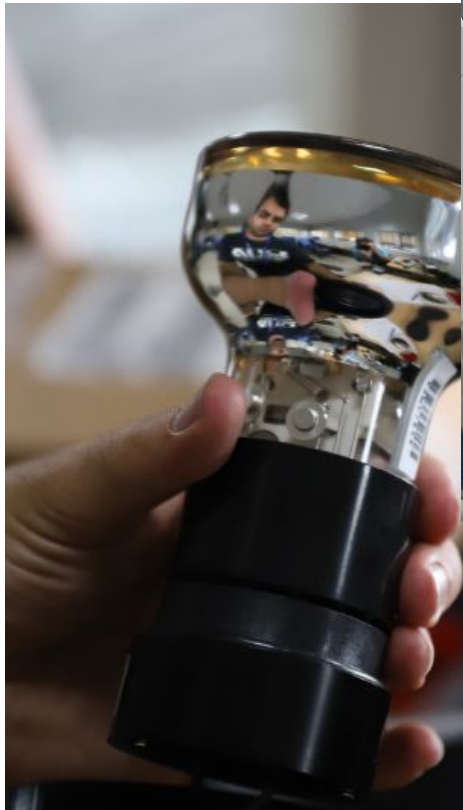
Aerogel

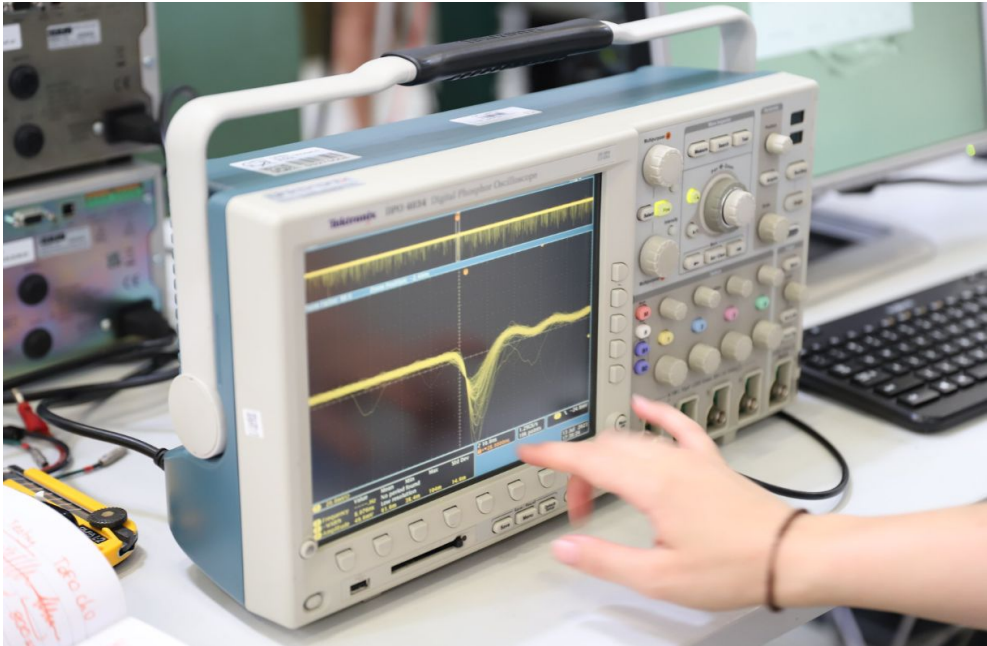
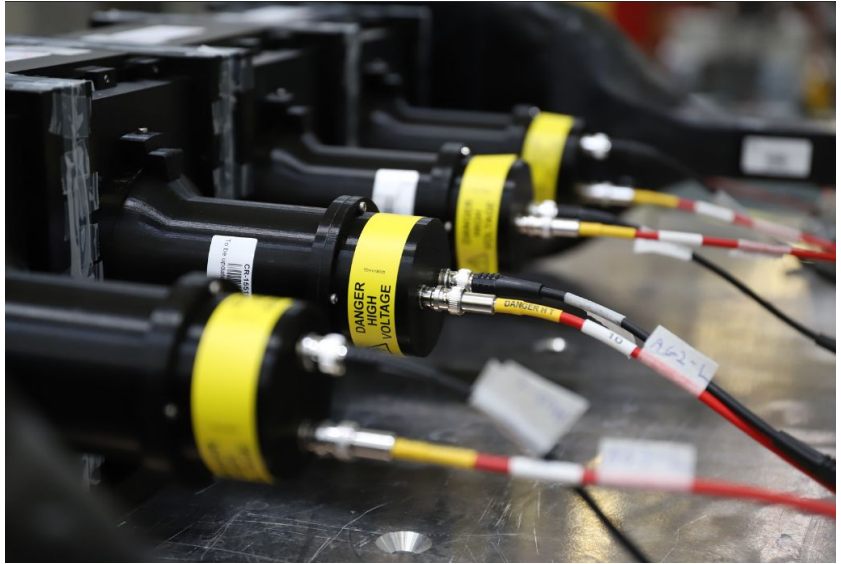
- World's Lightest Solid!

- https://www.youtube.com/watch?v=AeJ9q45PfD0&ab_channel=Veritasium



Fotonásobič





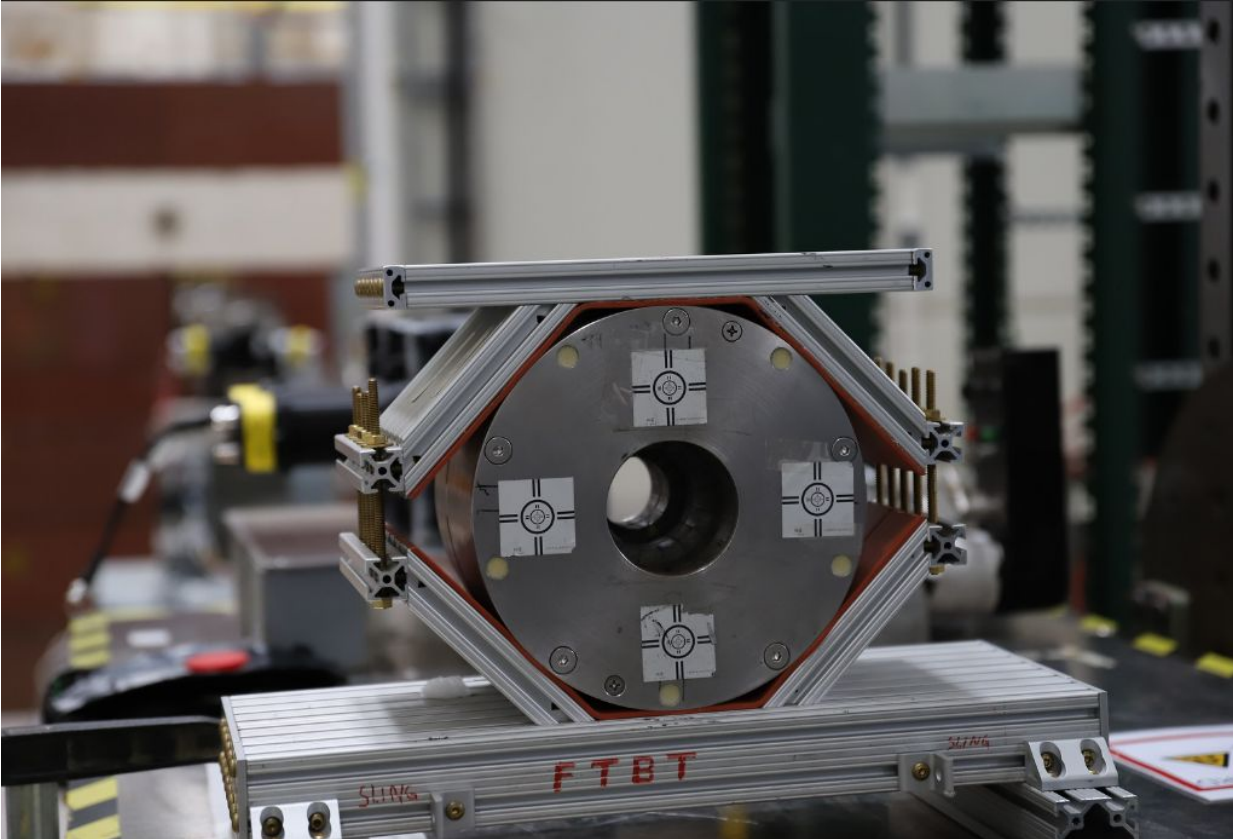


Fotonásobiče....A jejich výměna:)

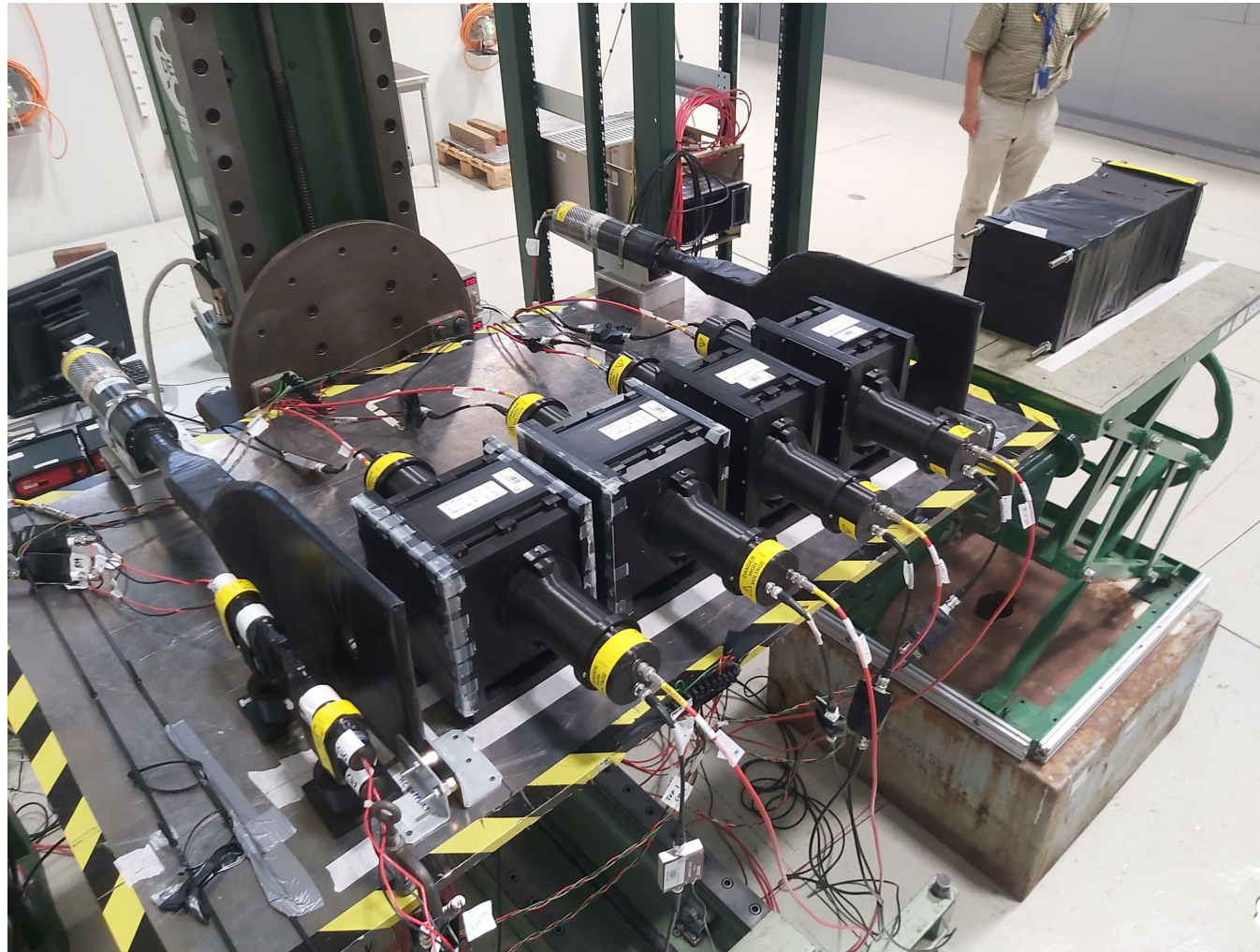
https://www.youtube.com/watch?v=AUMeRy8Z7OU&ab_channel=JiriKvita

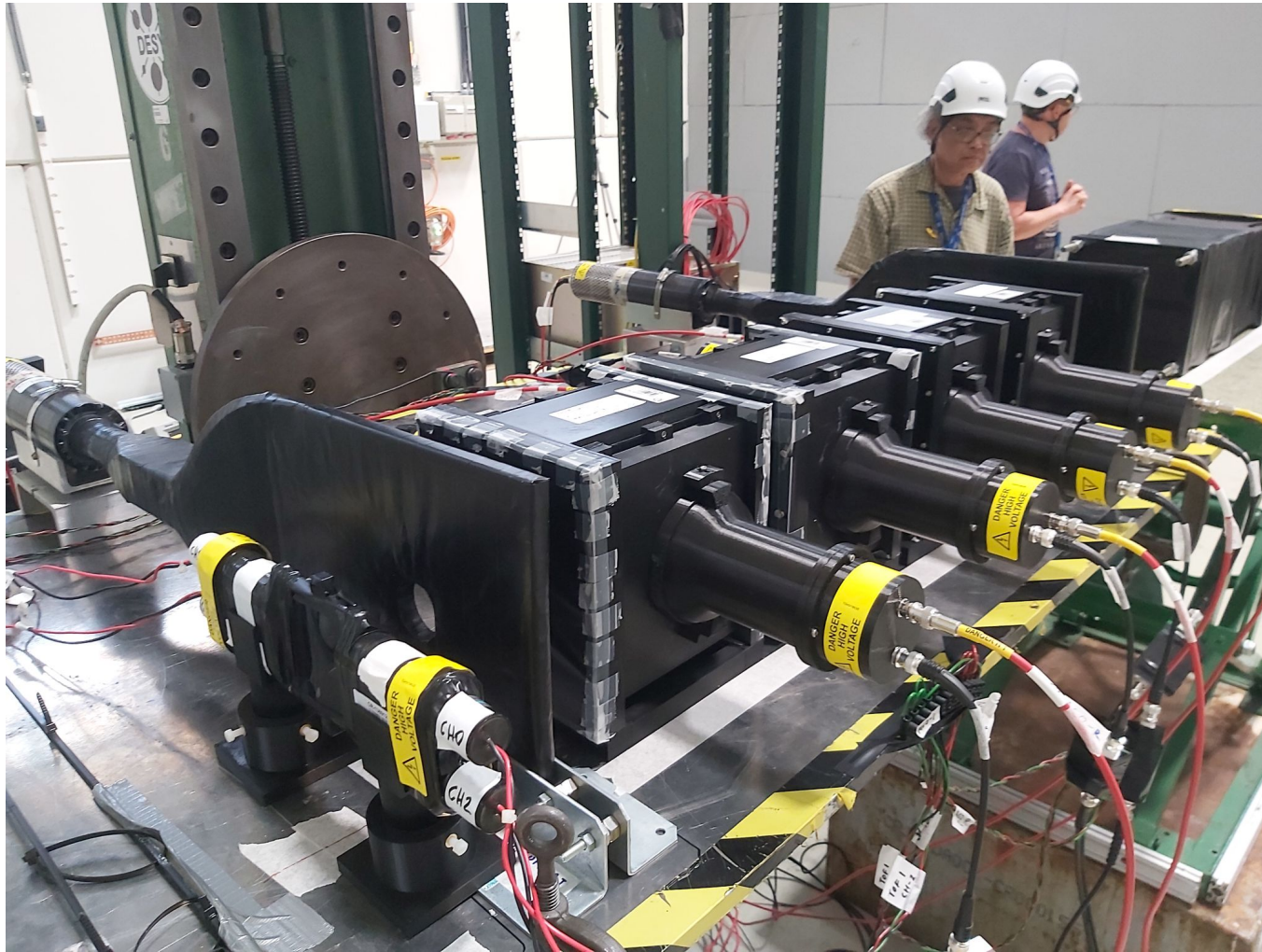


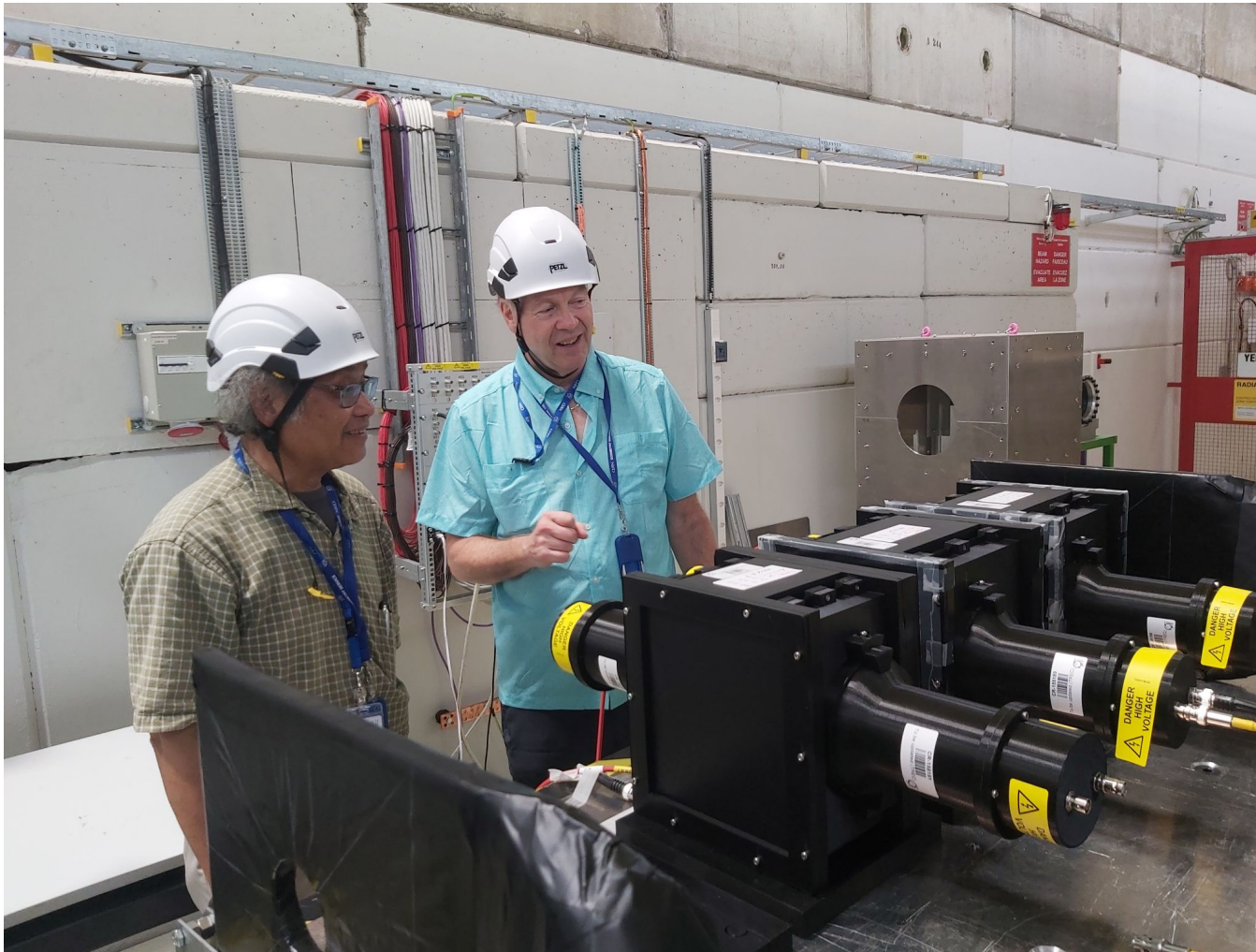
Meet Mr. Permanent Magnet of 1.7T!





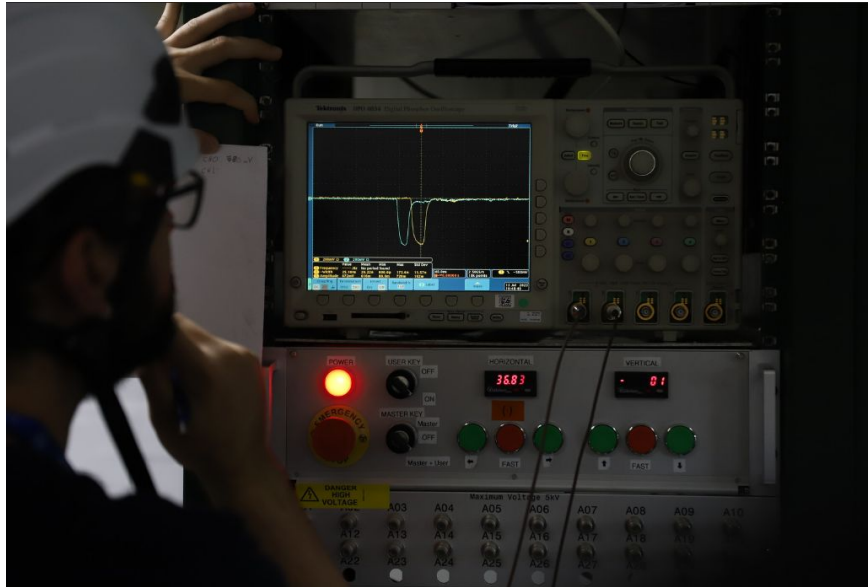










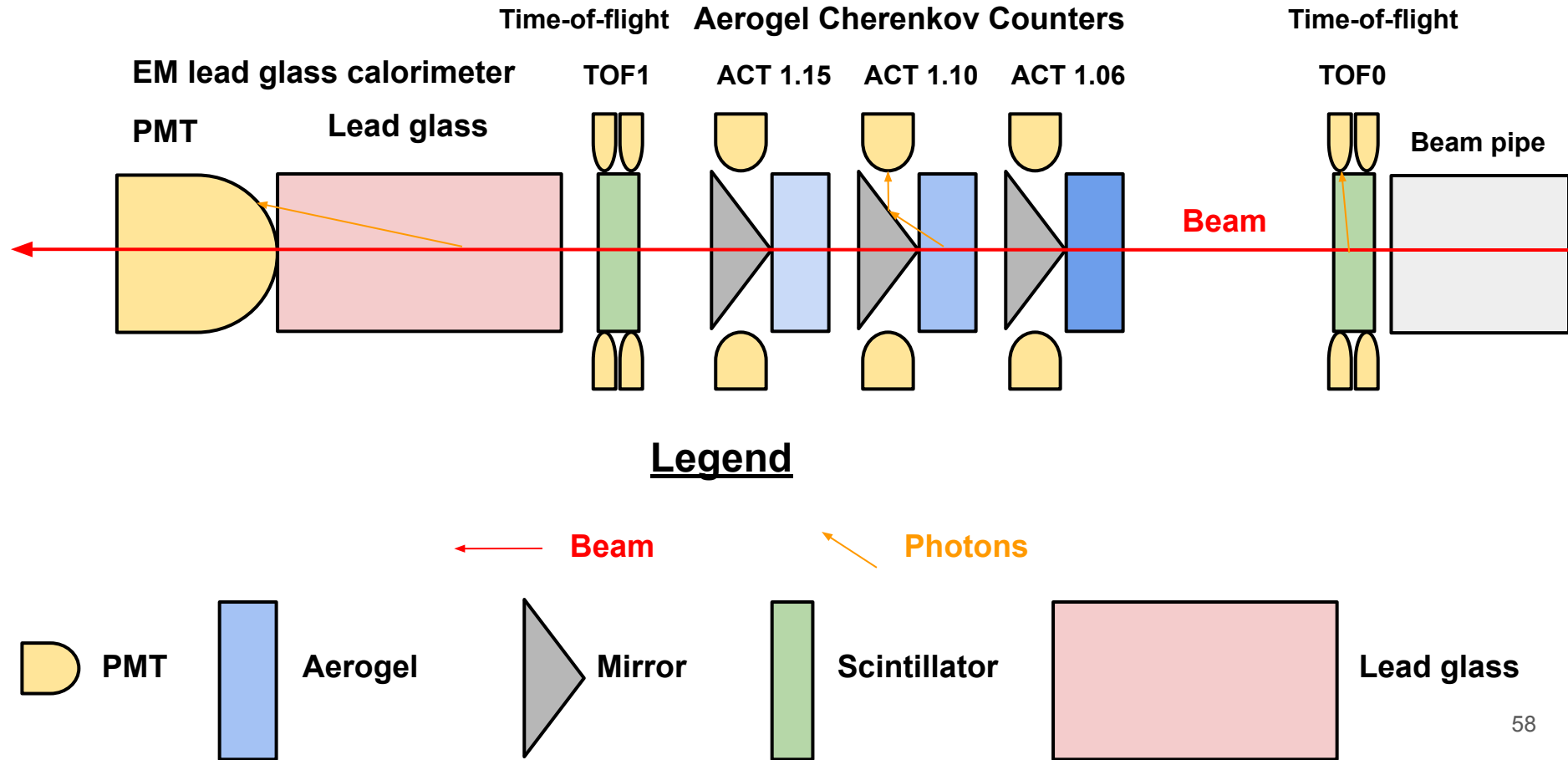




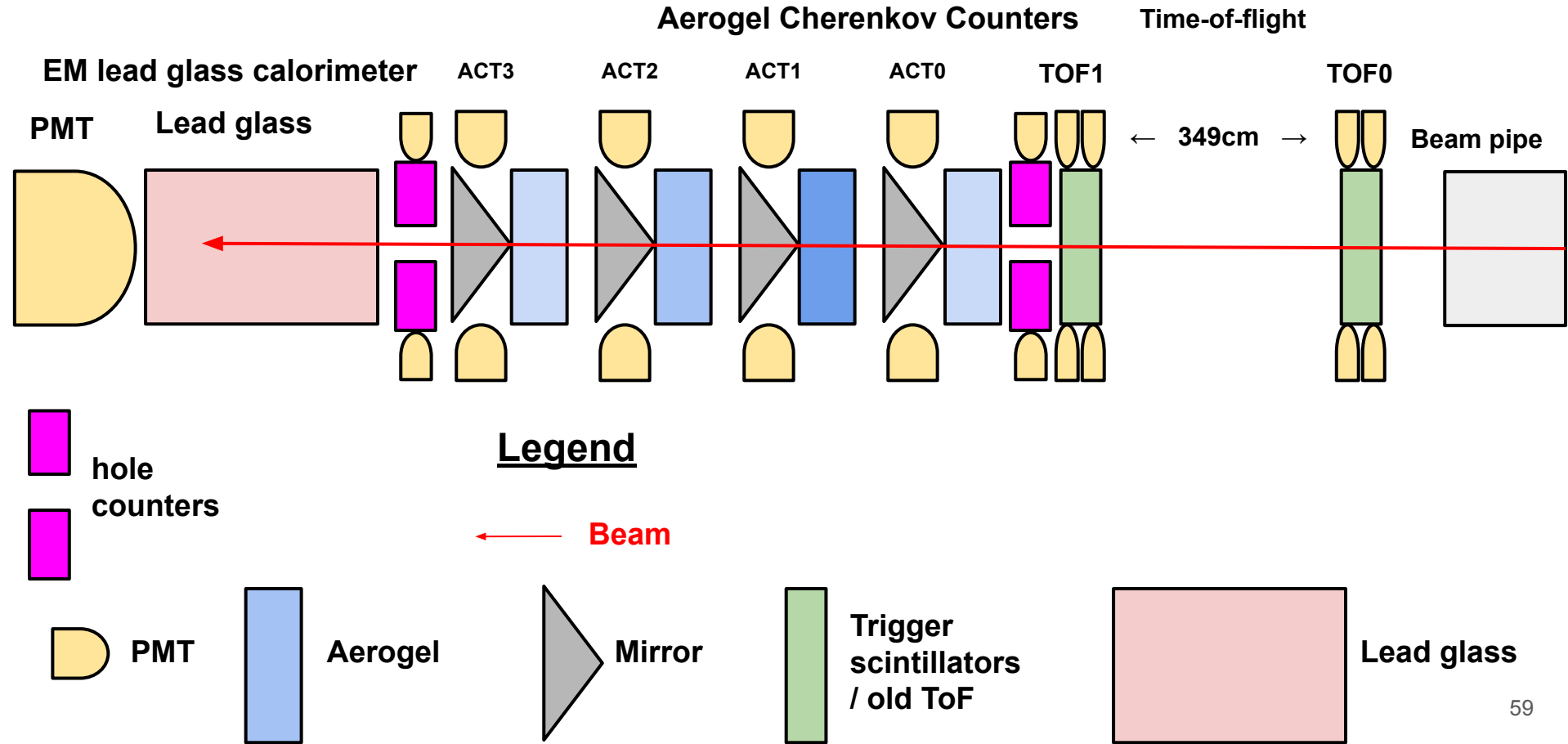




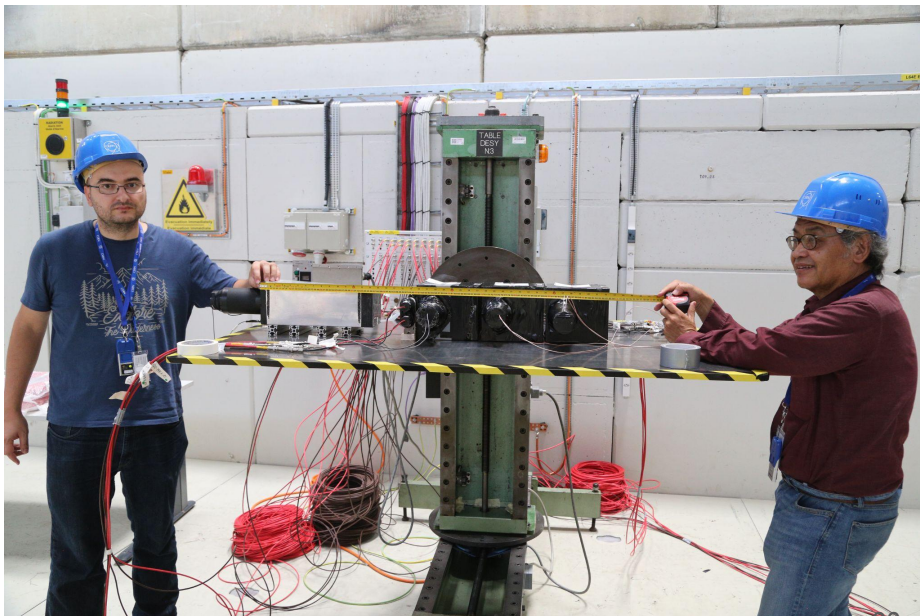
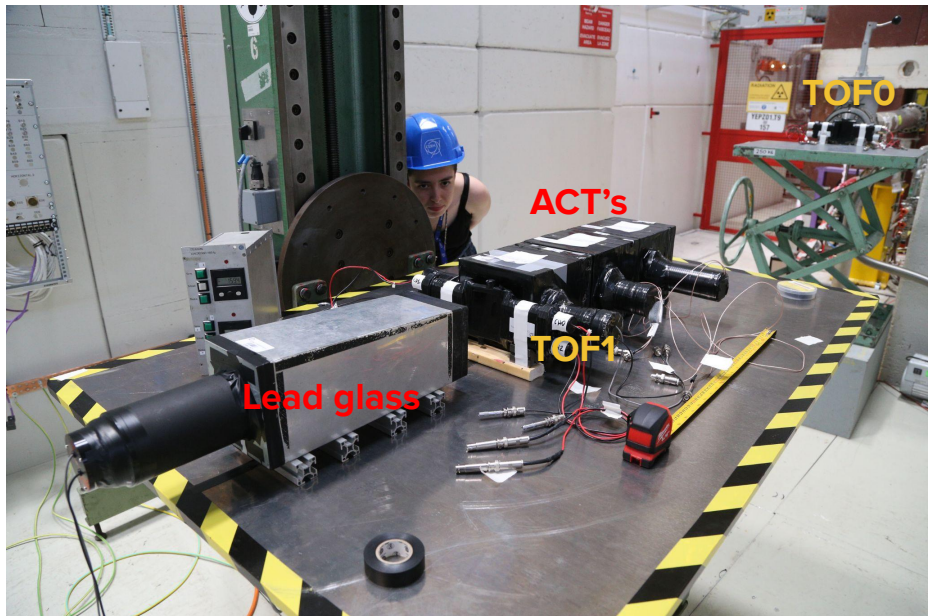
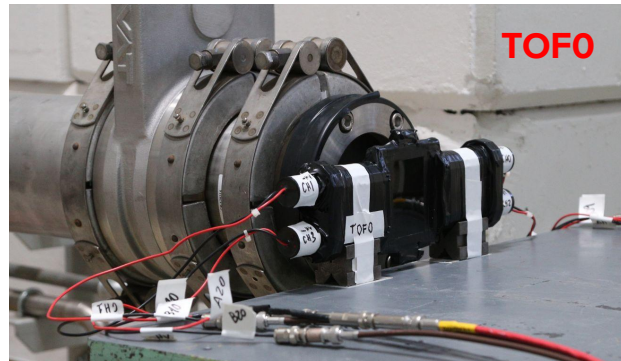
Setup overview 2022



Setup overview updated 2023



Real Experiment 2022

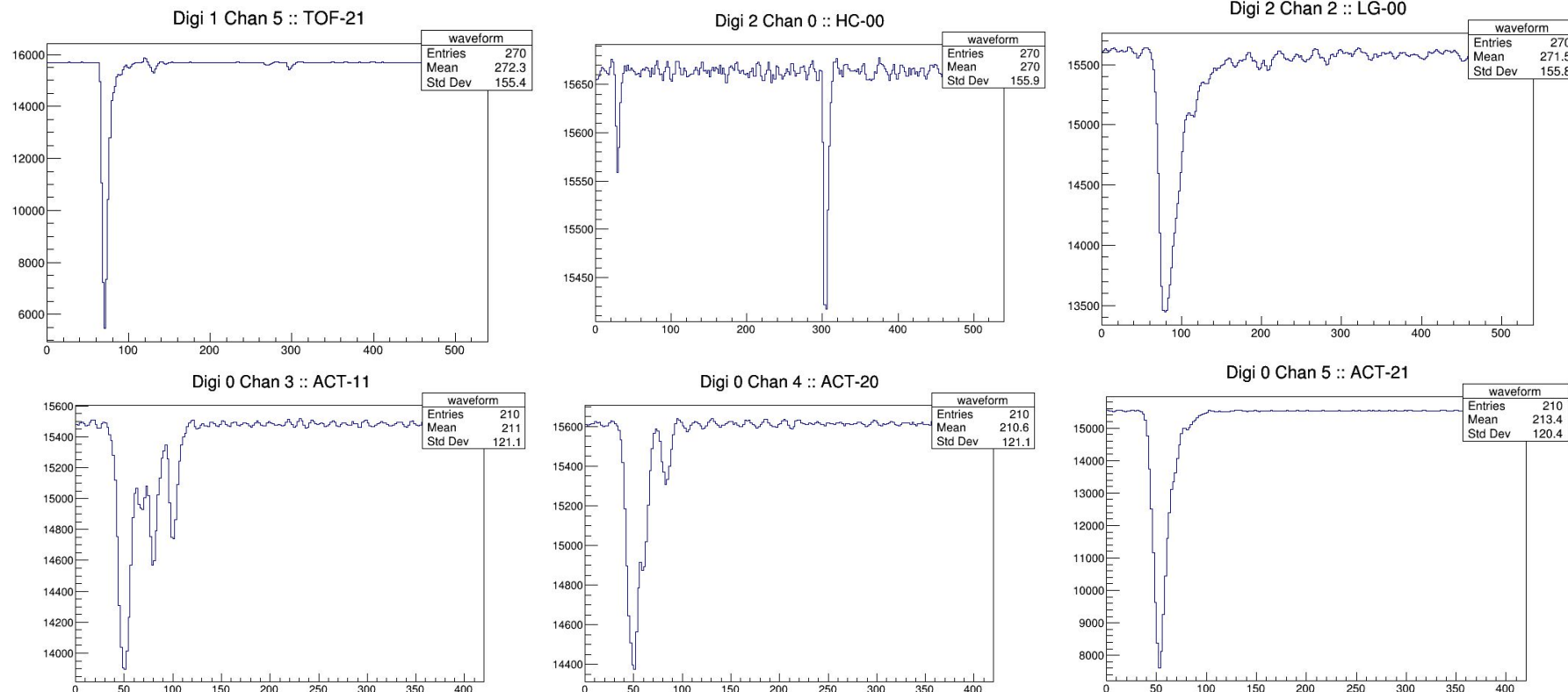


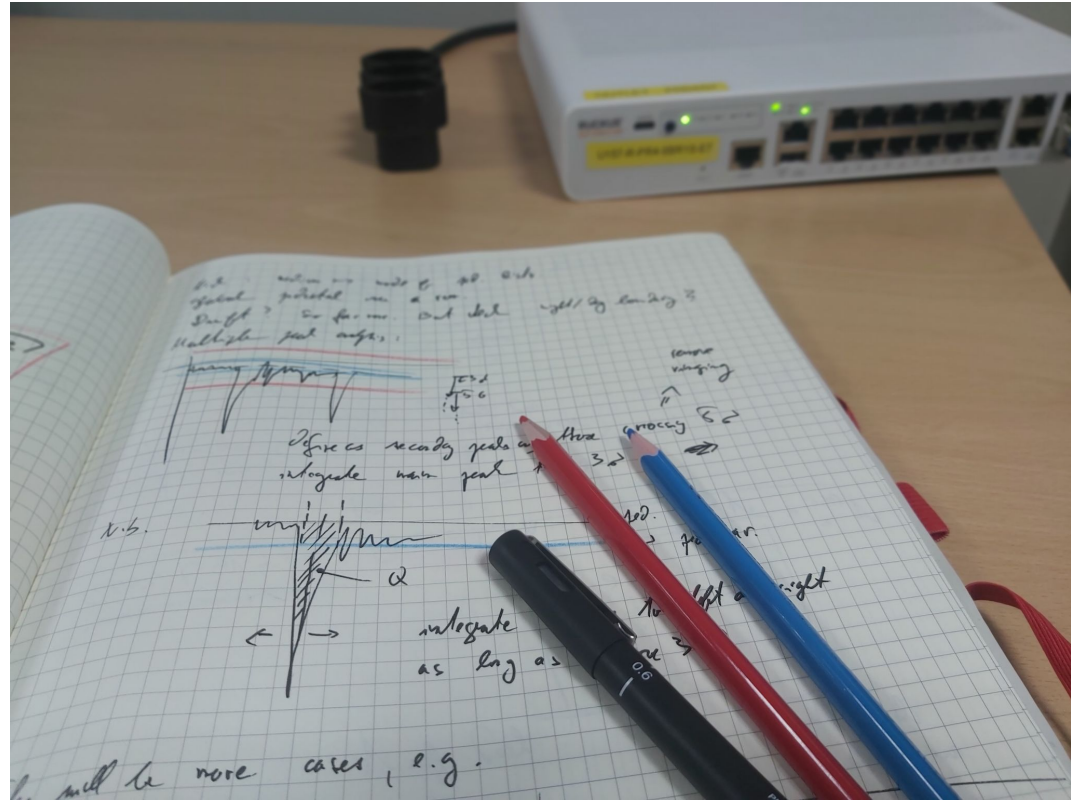
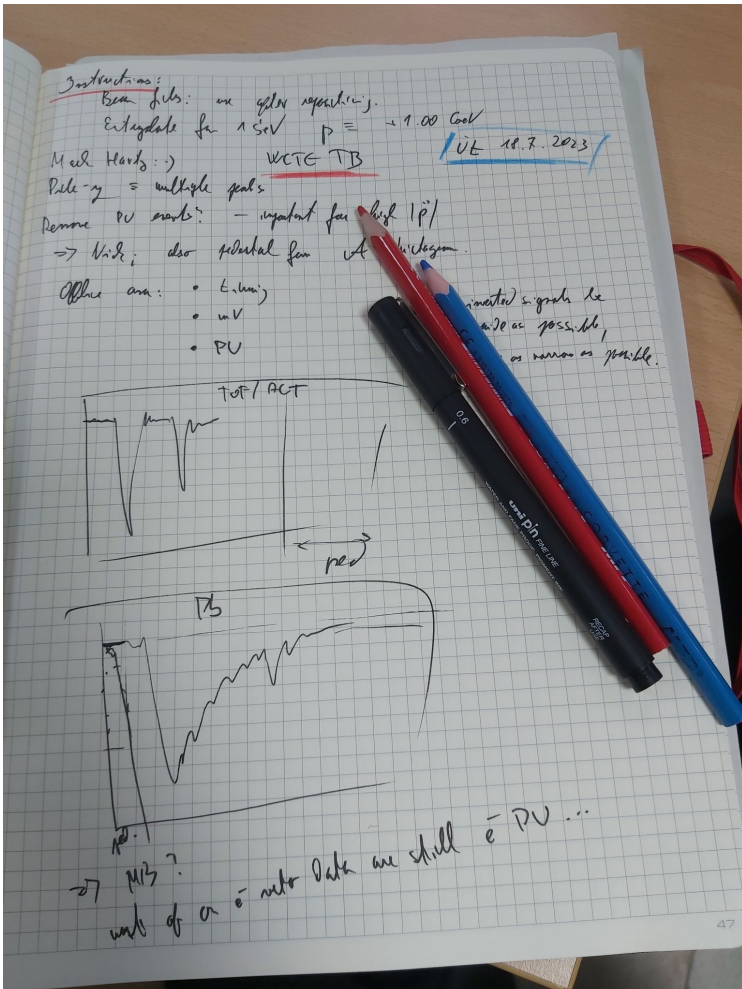
T9 Control Room 2022

- Incoming spill sound;)
 - https://jointlab.upol.cz/kvita/TB_T9_beep.wav

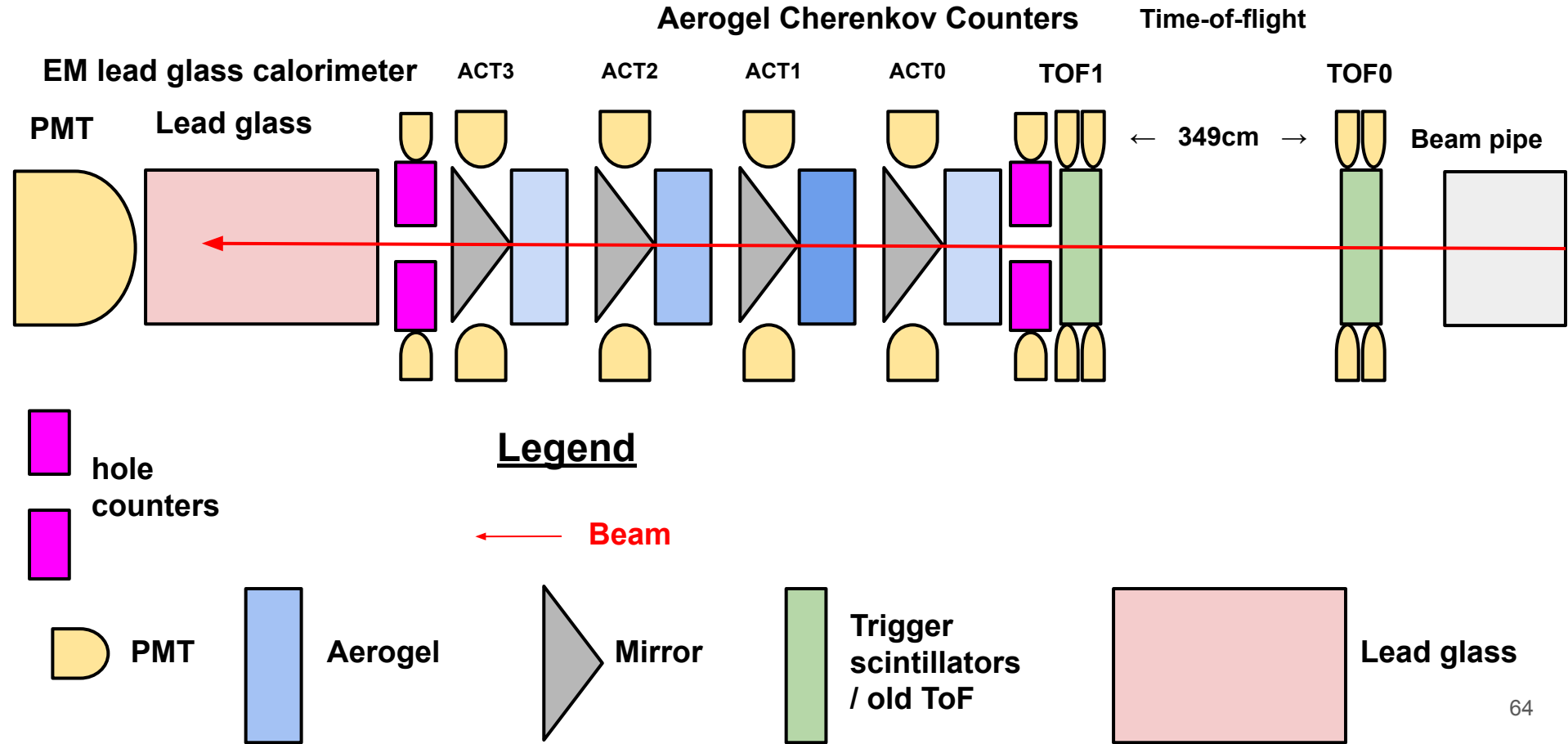


Výstup z fotonásobičů 2023





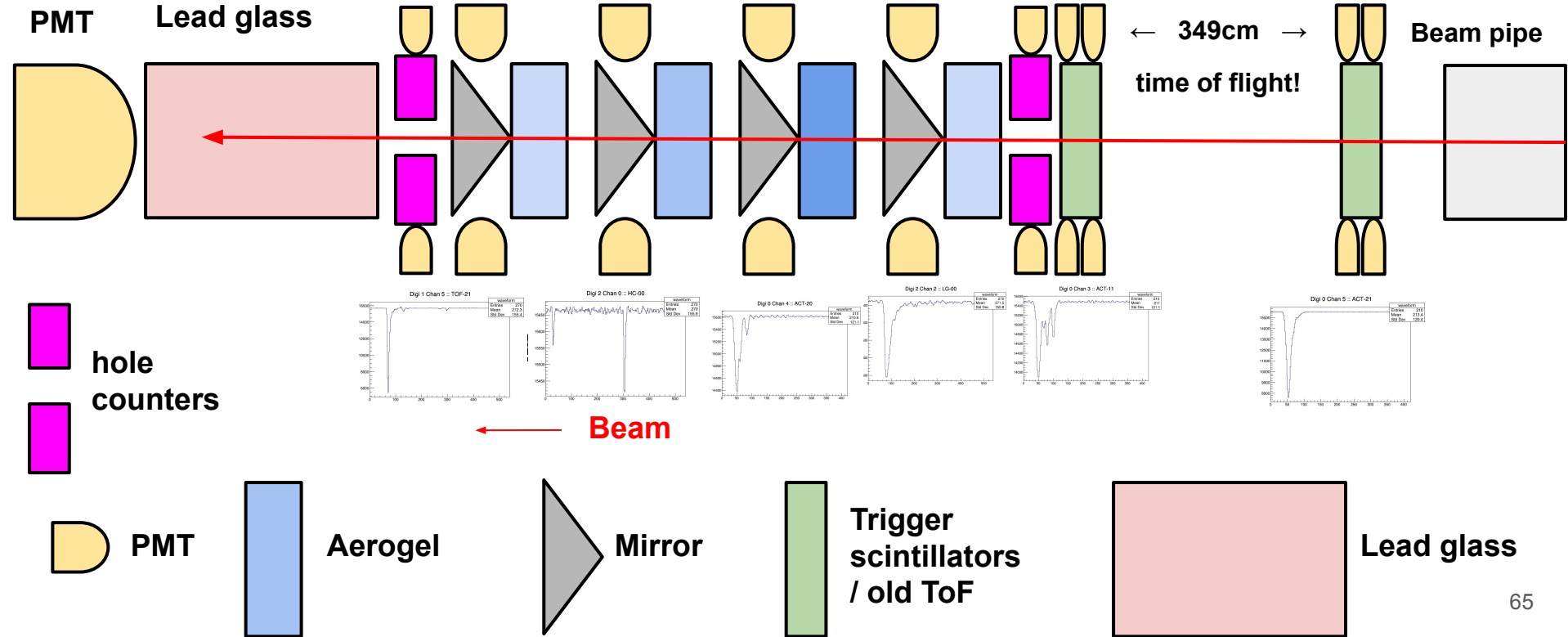
Setup overview updated 2023



Setup overview updated 2023

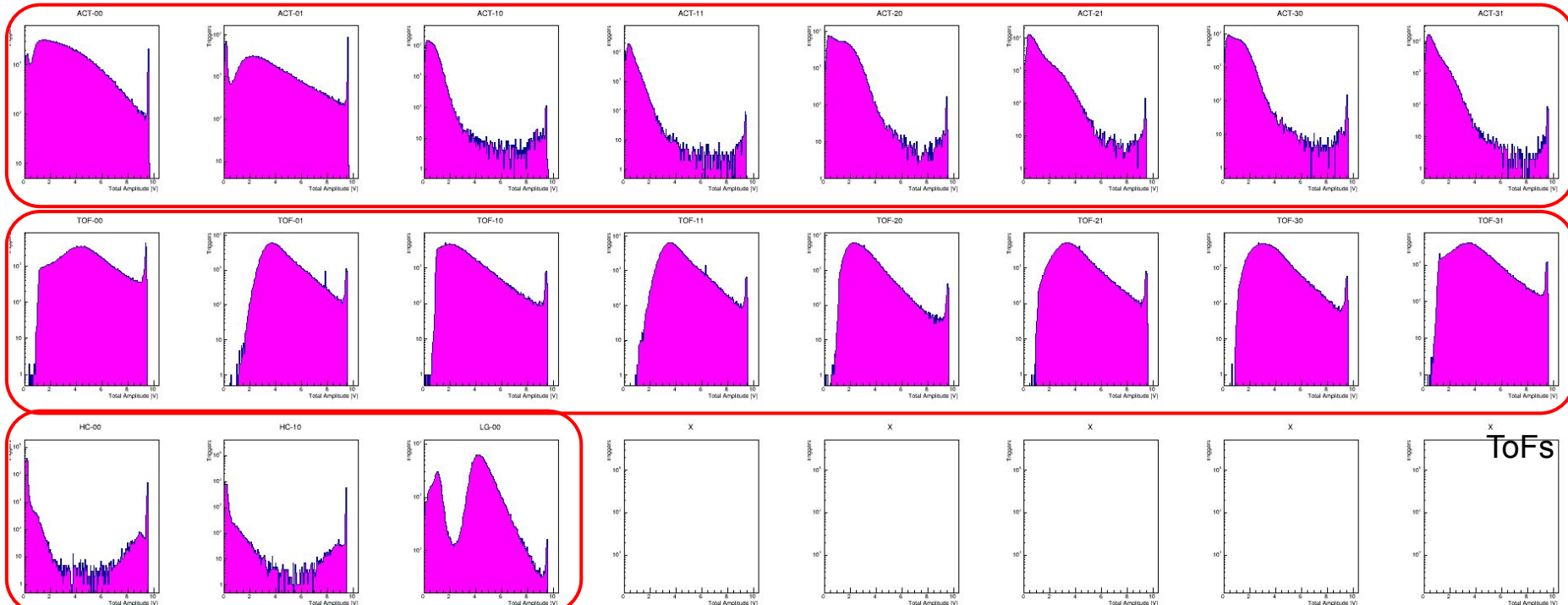
EM lead glass calorimeter

PMT Lead glass



Example amplitudes, run 251 :: 2023

Jiri
ACTs

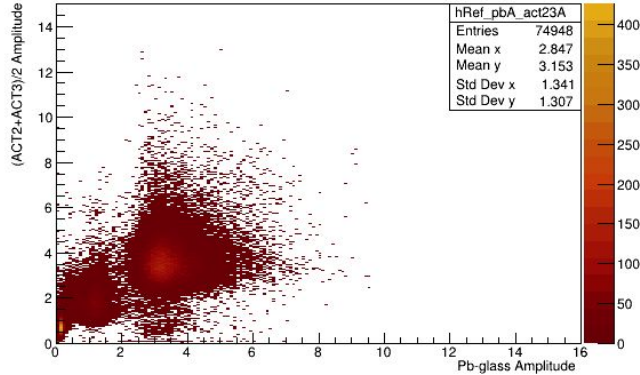


Hole counters and Pb glass

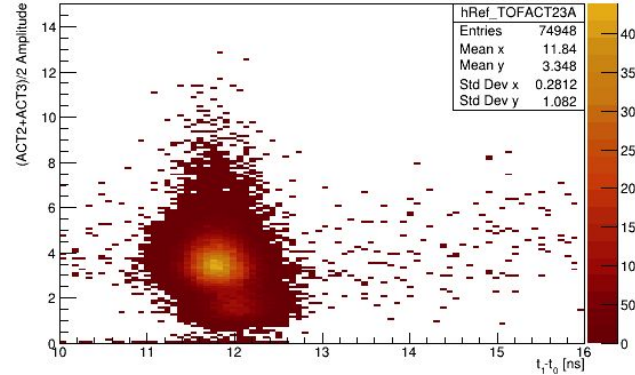
ToF, no cuts on peaks 2023

Jiri

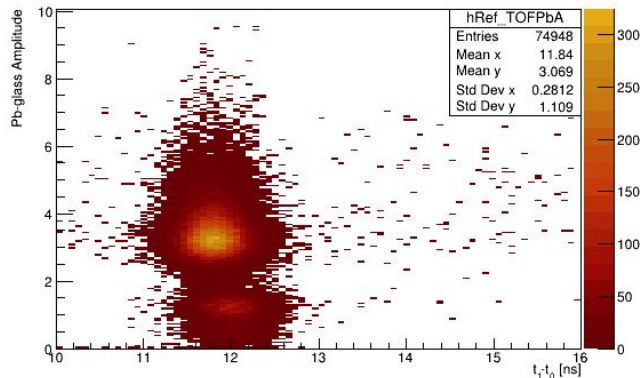
ACT2+3 vs Lead Glass 408



TOF vs ACT23 408



Lead glass vs TOF 408



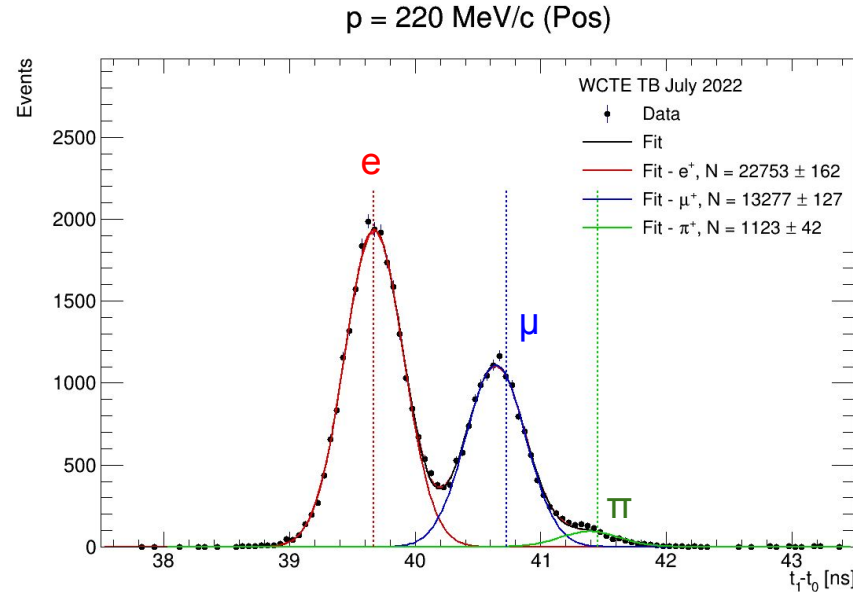
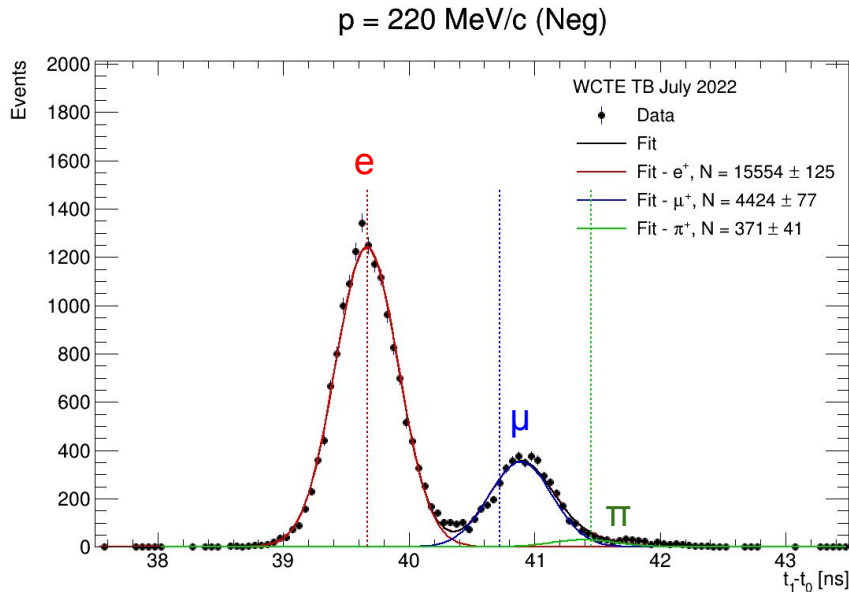
Doba letu = time of flight!

Time-of-flight scintillators, 349cm apart.



Results – Example TOF distributions 2022

- Theoretical vertical lines for the μ and π TOF shifts after the fitted e peak.
- TOF peak positions: a possible beam bias between Pos and Neg momenta?



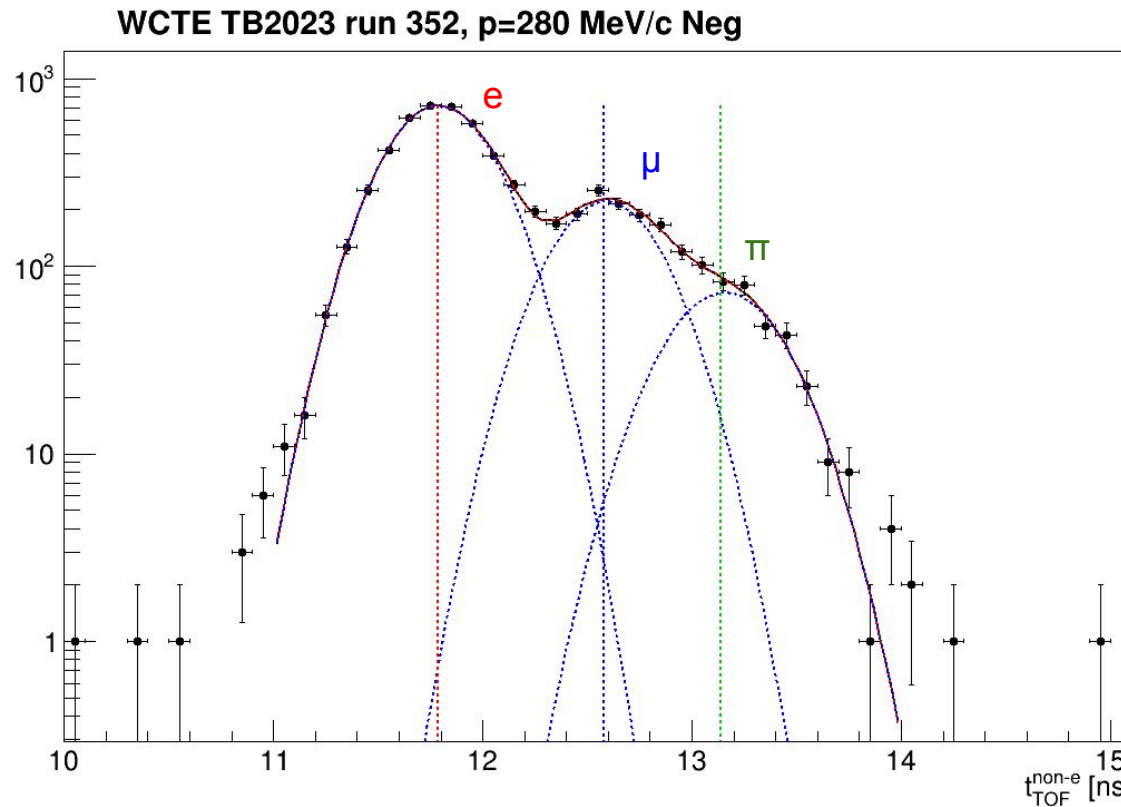
Doba letu

- Computing time... $pc = 280 \text{ MeV}$
- Kdy doletí elektron, mion, pion.
- $m_e c^2 = 0.511 \text{ MeV}$
- $m_\mu c^2 = 105.6 \text{ MeV}$
- $m_\pi c^2 = 139.6 \text{ MeV}$



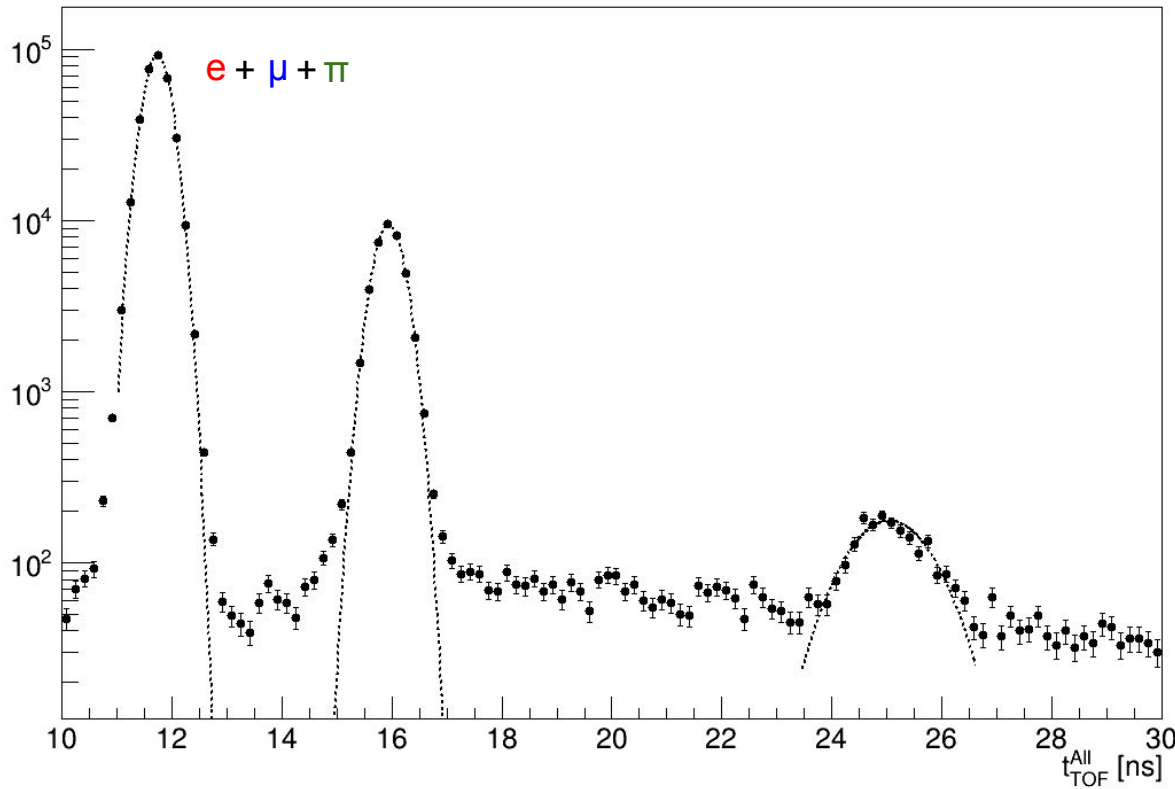
Preliminary tof fit, ~no evidence for bias in neg. p 2023 Jiri

- require simple $[\text{ACT2}+\text{ACT3}]/2 < 3.$ to remove most of electrons



Results – Example TOF distributions 2023, 1000 MeV/c

- ?

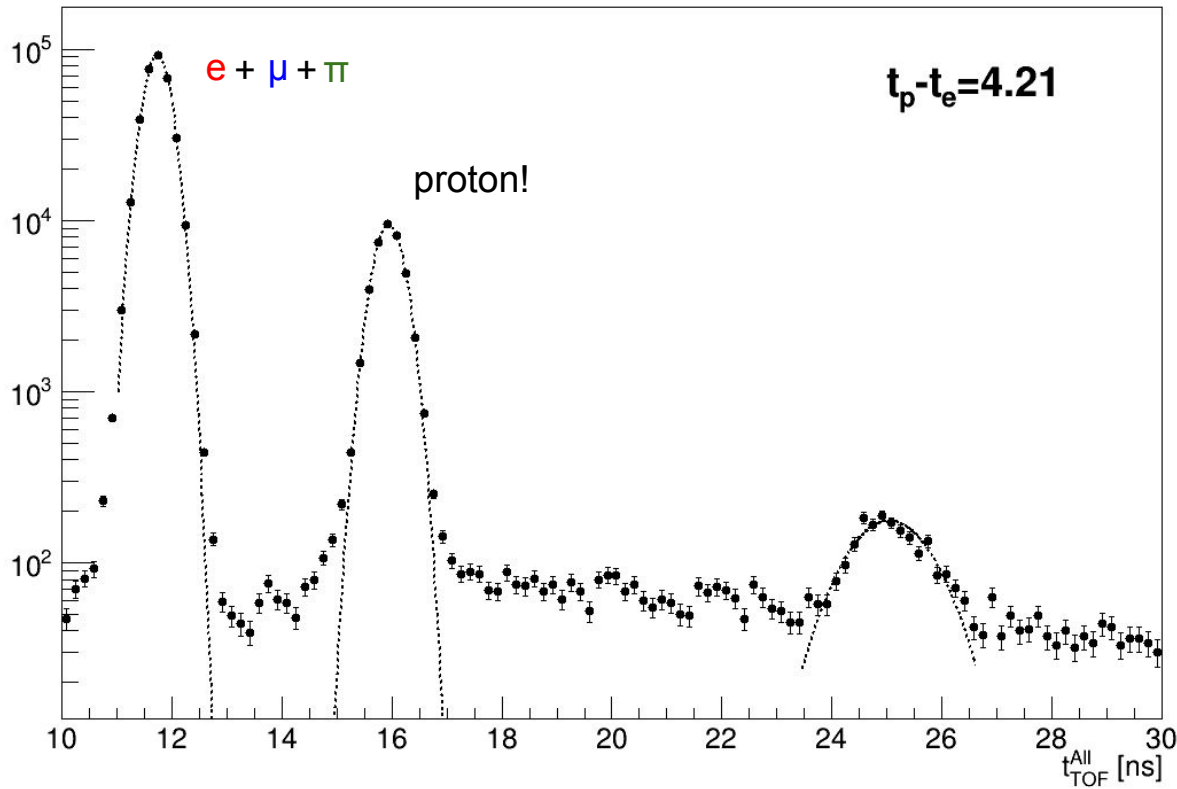


Doba letu

- Computing time... $pc = 1000 \text{ MeV}$
- Kdy doletí elektron, mion, pion...?
- $m_e c^2 = 0.511 \text{ MeV}$
- $m_\mu c^2 = 105.6 \text{ MeV}$
- $m_\pi c^2 = 139.6 \text{ MeV}$
- $m_p c^2 = 938.27 \text{ MeV}$



Results – Example TOF distributions 2023, 1000 MeV/c

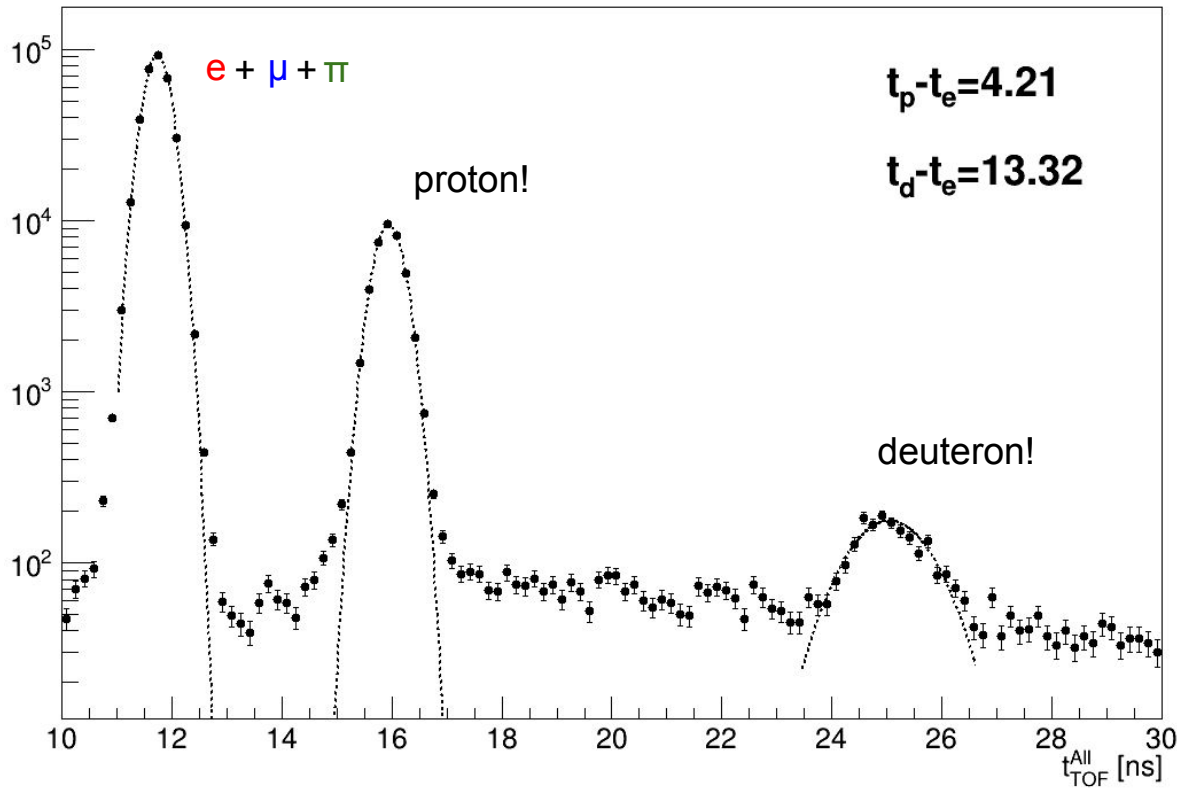


Doba letu

- Computing time... $pc = 1000 \text{ MeV}$
- Kdy doletí elektron, mion, pion...?
- $m_e c^2 = 0.511 \text{ MeV}$
- $m_\mu c^2 = 105.6 \text{ MeV}$
- $m_\pi c^2 = 139.6 \text{ MeV}$
- $m_p c^2 = 938.27 \text{ MeV}$
- $m_n c^2 = 939.565 \text{ MeV}$
- $m_D c^2 = 1875.613 \text{ MeV}$



Results – Example TOF distributions 2023, 1000 MeV/c

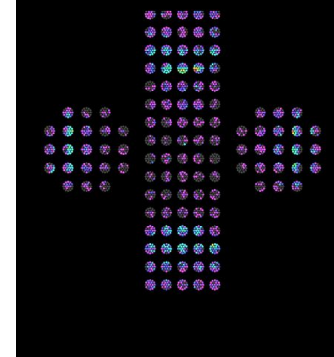
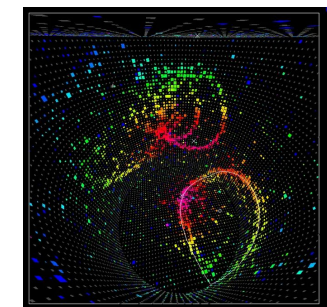
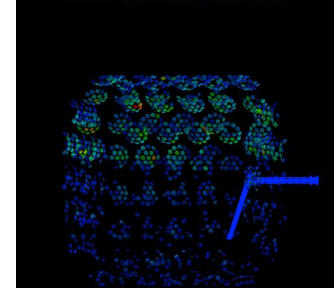
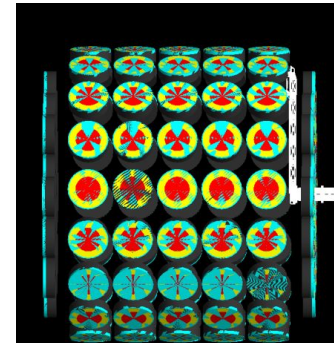
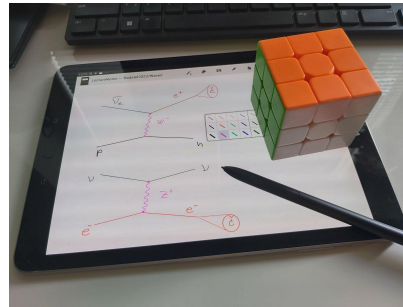
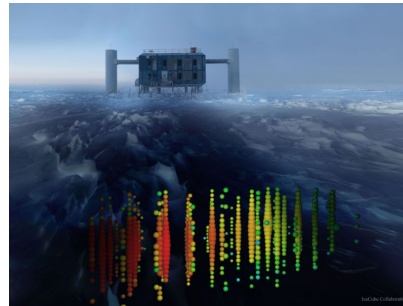
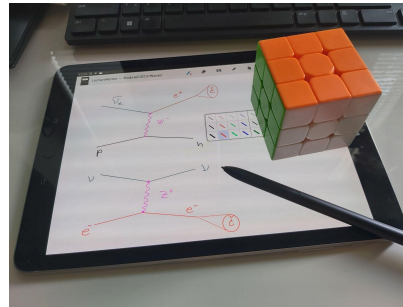


**You found your
particle!**

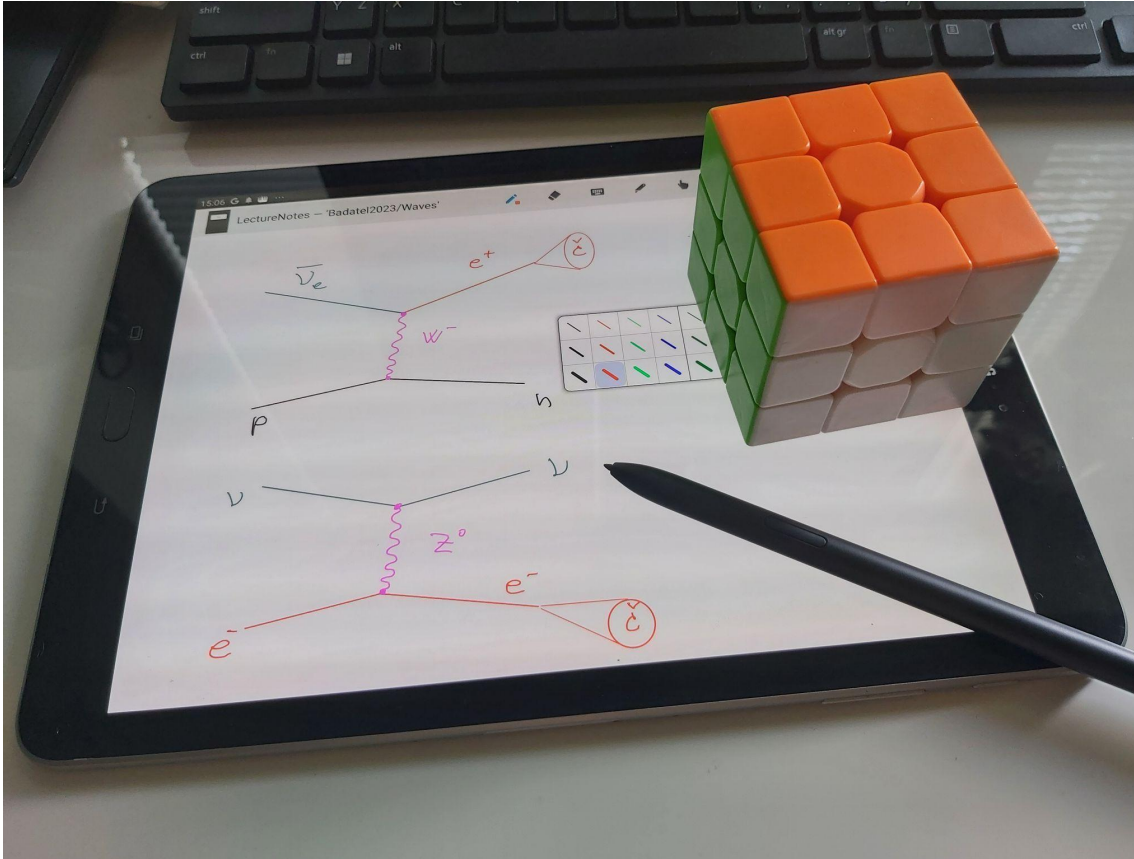
The End

Backup

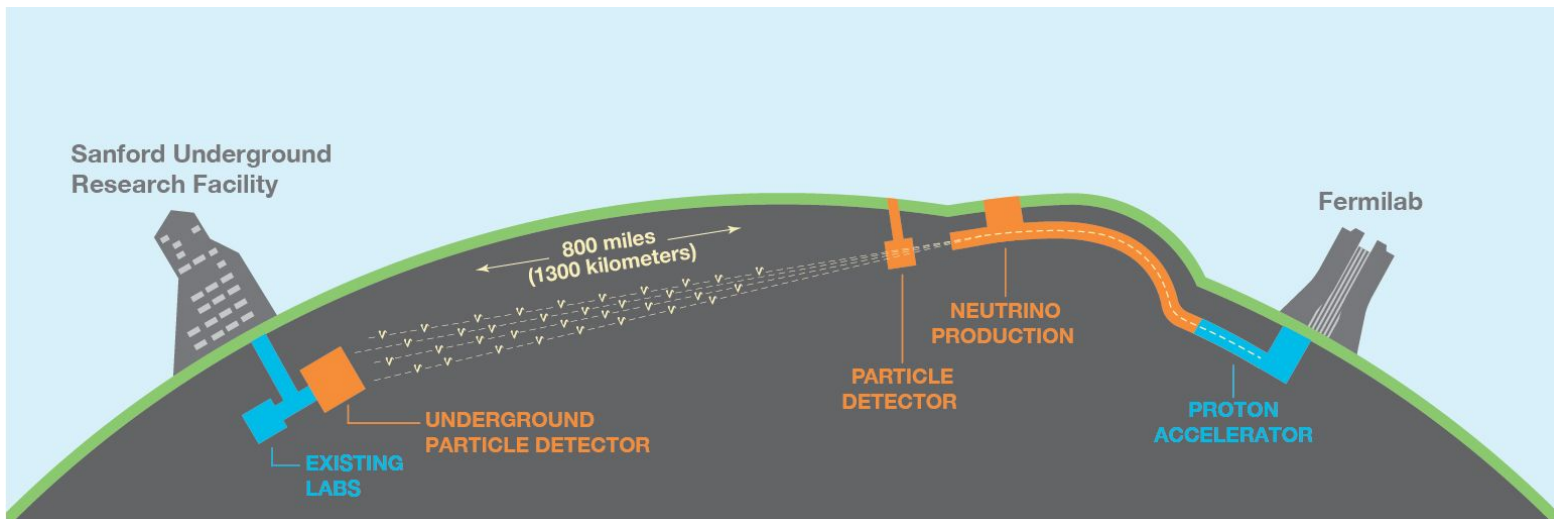
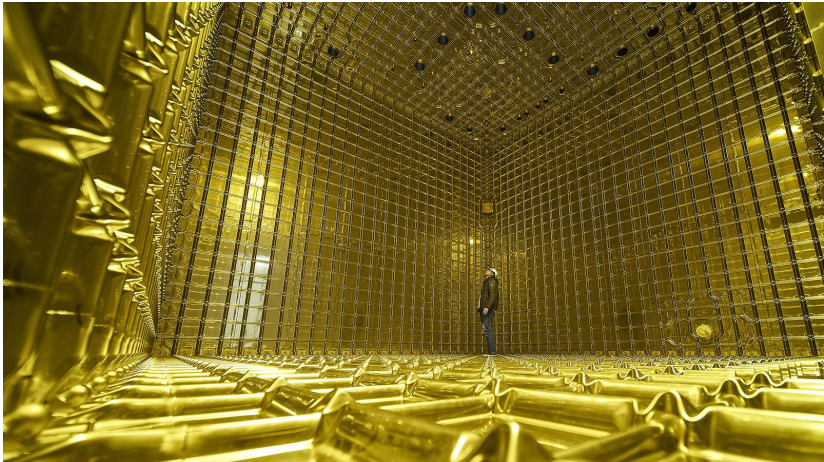
- Čerenkovovo záření
 - rozpad protonu, detekce neutrin, identifikace částic.
- Neutrinos not dead!
- Nejlehčí hmotné částice v mikrosvětě
- Nejméně interagující.
- Neutrina
 - ze Slunce
 - z atmosféry (z kosmického záření)
 - Astrofyzikální, kosmologická
 - Urychlovačová, reaktorová, geofyzikální...
- Studium oscilací neutrin a (narušení) symetrie mezi částicemi a antičásticemi.
- Neutrinová astronomie
 - nejen čekání na další supernovu:)



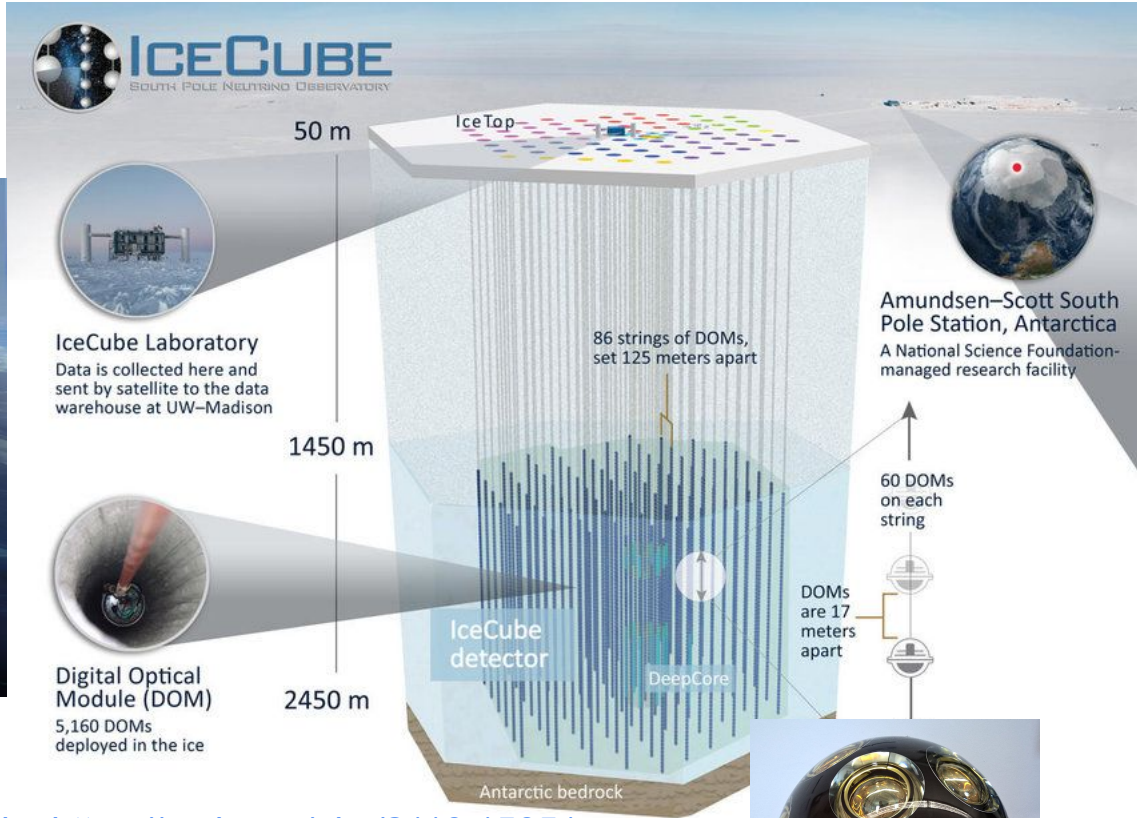
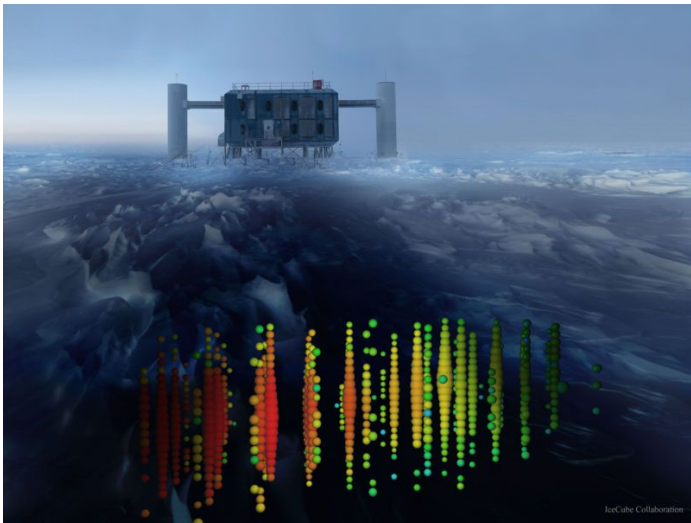
Backup



DUNE, ProtoDUNE a neutrino z urychlovače ve americké laboratoři **FERMILAB**



IceCUBE



Francis Halzen

<http://jointlab.upol.cz/kvita/idpacs2022.html> :: <https://arxiv.org/abs/2110.15051>

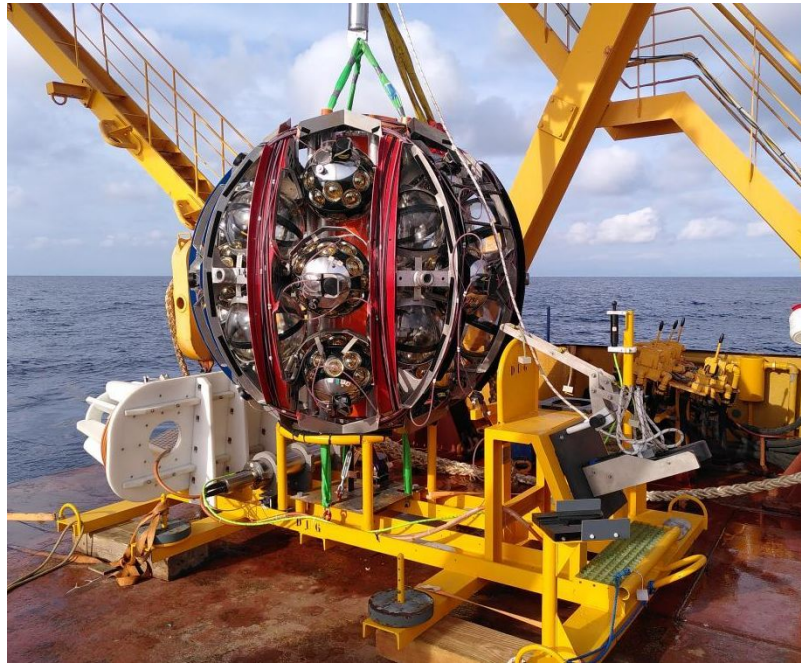
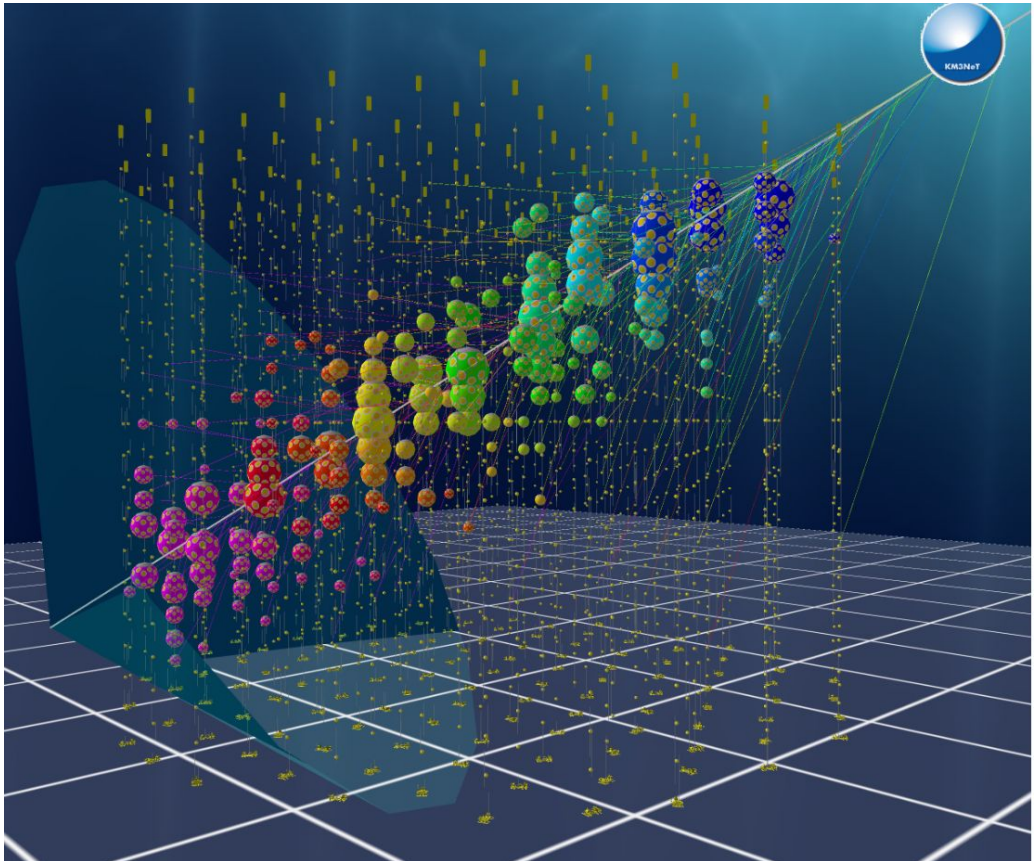
<https://www.nature.com/articles/s41586-021-03256-1>

<https://sciencesprings.wordpress.com/tag/u-wisconsin-icecube-collaboration/>

https://www.researchgate.net/figure/Prototypes-of-an-mDOM-left-and-an-D-Egg-right-for-the-IceCube-Upgrade_fig8_351199668



KM3NeT



Neutrina:)

Physical Photocopy of PCC 0393
Abschrift/15.12.55 PW

Offener Brief an die Gruppe der Radikativen bei der
Gauvereins-Tagung zu Tübingen.

Abschrift

Physikalisches Institut
der Eidg. Technischen Hochschule
Zürich

Zürich, 4. Des. 1930
Gloriastrasse

Liebe Radioaktive Damen und Herren,

Wie der Ueberbringer dieser Zeilen, den ich huldvollst
ansuhören bitte, Ihnen des näheren auseinanderersetzen wird, bin ich
angesehete der "falschen" Statistik der Ne- und Li-6 Kerne, sowie
des kontinuierlichen beta-Spektrums auf einen verzweifelten Ausweg
verfallen um den "Wechselsatz" (1) der Statistik und dem Energiesatz
zu retten. Möglicher die Möglichkeit, es könnten elektrisch neutrale
Teilchen, die ich Neutronen nennen will, in den Kernen existieren,
welche den Spin 1/2 haben und das Ausschließungsprinzip befolgen und
sich von Lichtquanten unterscheiden noch dadurch unterscheiden, dass sie
nicht mit Lichtgeschwindigkeit laufen. Die Masse der Neutronen
müsste von derselben Grössenordnung wie die Elektronenmasse sein und
jedemfalls nicht grösser als 0,01 Protonenmasse. Das kontinuierliche
beta-Spektrum wäre dann verständlich unter der Annahme, dass beim
beta-Zerfall mit dem Elektron jeweils noch ein Neutron emittiert
wird, derart, dass die Summe der Energien von Neutron und Elektron
konstant ist.

Nun handelt es sich weiter darum, welche Kräfte auf die
Neutronen wirken. Das wahrscheinlichste Modell für das Neutron scheint
mir aus wellenmechanischen Gründen (näheres weiss der Ueberbringer
dieser Zeilen) dieses zu sein, dass das ruhende Neutron ein
magnetischer Dipol von einem gewissen Moment μ ist. Die Experimente
verlängern wohl, dass die ionisierende Wirkung eines solchen Neutrons
nicht grösser sein kann, als die eines gamma-Strahls und darf dann
 μ wohl nicht grösser sein als $e \cdot (10^{-15} \text{ cm})$.

Ich traue mich vorläufig aber nicht, etwas über diese Idee
zu publizieren und wende mich erst vertrauensvoll an Euch, liebe
Radioaktive, mit der Frage, wie es um den experimentellen Nachweis
eines solchen Neutrons stände, wenn dieses ein ebensolches oder etwa
10mal grösseres Durchdringungsvermögen besitzen würde, wie ein
gamma-Strahl.

Ich gebe zu, dass mein Ausweg vielleicht von vornherein
wenig wahrscheinlich erscheinen wird, weil man die Neutronen, wenn
sie emittieren, wohl schon längst gesehen hätte. Aber nur wer wagt,
genußt und der Ernst der Situation beim kontinuierlichen beta-Spektrum
wird durch einen Ausspruch meines verehrten Vorgängers im Amt,
Herrn Debye, beleuchtet, der mir Miralib in Brüssel gesagt hat:
"O, daran soll man am besten gar nicht denken, sowie an die neuen
Steuern." Darum soll man jeden Weg zur Rettung ernstlich diskutieren.-
Also, liebe Radioaktive, prüfen und richten.- Leider kann ich nicht
persönlich in Tübingen erscheinen, da ich infolge eines in der Nacht
vom 6. zum 7. Des. in Zürich stattfindenden Balles hier unabkömmlich
bin.- Mit vielen Grüissen an Euch, sowie an Herrn Baek, Euer
unterstützender Diener

ges. W. Pauli



Wolfgang Pauli

Abschrift/15.12.56

Offener Brief an die Gruppe der Radioaktiven bei der
Gauvereins-Tagung zu Tübingen.

Abschrift

Physikalisches Institut
der Eidg. Technischen Hochschule
Zürich

Zürich, 4. Dez. 1930
Gloriastrasse

Liebe Radioaktive Damen und Herren,

Wie der Ueberbringer dieser Zeilen, den ich huldvollst
ansuhören bitte, Ihnen des näheren auseinandersetzen wird, bin ich
angesichts der "falschen" Statistik der N- und Li-6 Kerne, sowie
des kontinuierlichen beta-Spektrums auf einen verzweifelten Ausweg
verfallen um den "Wechselsatz" (1) der Statistik und den Energiesatz
zu retten. Nämlich die Möglichkeit, es könnten elektrisch neutrale
Teilchen, die ich Neutronen nennen will, in den Kernen existieren,
welche den Spin 1/2 haben und das Ausschliessungsprinzip befolgen und
sich von Lichtquanten außerdem noch dadurch unterscheiden, dass sie
nicht mit Lichtgeschwindigkeit laufen. Die Masse der Neutronen
müsste von derselben Grossenordnung wie die Elektronenmasse sein und
jedemfalls nicht grösser als 0,01 Protonenmasse.- Das kontinuierliche
beta-Spektrum wäre dann verständlich unter der Annahme, dass beim
beta-Zerfall mit dem Elektron jeweils noch ein Neutron emittiert
wird, derart, dass die Summe der Energien von Neutron und Elektron
konstant ist.

Nun handelt es sich weiter darum, welche Kräfte auf die
Neutronen wirken. Das wahrscheinlichste Modell für das Neutron scheint
mir aus wellenmechanischen Gründen (näheres weiss der Ueberbringer
dieser Zeilen) dieses zu sein, dass das ruhende Neutron ein
magnetischer Dipol von einem gewissen Moment μ ist. Die Experimente
verlängern wohl, dass die ionisierende Wirkung eines solchen Neutrons
nicht grösser sein kann, als die eines gamma-Strahls und darf dann
~~44~~ wohl nicht grösser sein als $e \cdot (10^{-13} \text{ cm})$.

Ich traue mich vorläufig aber nicht, etwas über diese Idee
zu publizieren und wende mich erst vertraulich an Euch, liebe
Radioaktive, mit der Frage, wie es um den experimentellen Nachweis
eines solchen Neutrons stande, wenn dieses ein ebensolches oder etwa
10mal grösseres Durchdringungsvermögen besitzen würde, wie ein
~~gamma~~-Strahl.

Ich gebe zu, dass mein Ausweg vielleicht von vornherein
wenig wahrscheinlich erscheinen wird, weil man die Neutronen, wenn
sie existieren, wohl schon längst gesehen hätte. Aber nur wer wagt,
wagt und der Ernst der Situation beim kontinuierlichen beta-Spektrum
wird durch einen Ausspruch meines verehrten Vorgängers im Amt,
Herrn Debye, beleuchtet, der mir Mirisch in Brüssel gesagt hat:
"O, daran soll man am besten gar nicht denken, sowie an die neuen
Steuern." Darum soll man jeden Weg zur Rettung ernstlich diskutieren.-
Also, liebe Radioaktive, prüfen, und richtet.- Leider kann ich nicht
persönlich in Tübingen erscheinen, da ich infolge eines in der Nacht
vom 6. zum 7. Dez. in Zürich stattfindenden Balles hier unabkömmlich
bin.- Mit vielen Grüßen an Euch, sowie an Herrn Baek, Euer
untertanigster Diener

ges. W. Pauli

Neutrina:)

COSMIC GALL

Every second, hundreds of billions of these neutrinos pass through each square inch of our bodies, coming from above during the day and from below at night, when the sun is shining on the other side of the earth!

—From “*An Explanatory Statement on Elementary Particle Physics*,”
by M. A. Ruderman and A. H. Rosenfeld, in *American Scientist*.

Neutrinos, they are very small.
They have no charge and have no mass
And do not interact at all.
The earth is just a silly ball
To them, through which they simply pass,
Like dustmaids down a drafty hall
Or photons through a sheet of glass.
They snub the most exquisite gas,
Ignore the most substantial wall,
Cold shoulder steel and sounding brass,
Insult the stallion in his stall,
And, scorning barriers of class,
Infiltrate you and me! Like tall
And painless guillotines, they fall
Down through our heads into the grass.
At night, they enter at Nepal
And pierce the lover and his lass
From underneath the bed - you call
It wonderful; I call it crass.

— John Updike



Wolfgang Pauli

<https://twitter.com/mcnees/status/1334877571079671810>

Neutrina:)

Offener Brief an die Gruppe der Radioaktiven bei der
Gauvereins-Tagung zu Tübingen.

Abschrift

Physikalisches Institut
der Eidg. Technischen Hochschule
Zürich

Zürich, 4. Dez. 1930
Gloriastrasse

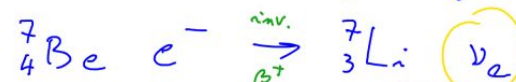
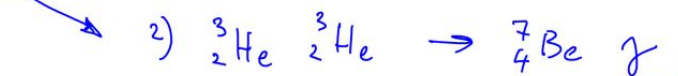
Liebe Radioaktive Damen und Herren,

Wie der Ueberbringer dieser Zeilen, den ich huldvollst
ansuhören bitte, Ihnen des näheren auseinandersetzen wird, bin ich
angesichts der "falschen" Statistik der N- und Li-6 Kerne, sowie

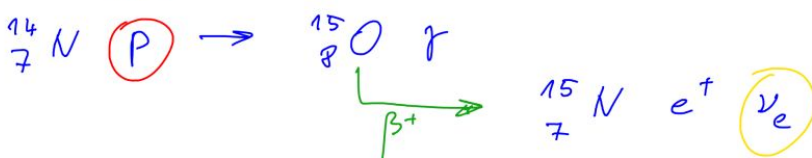
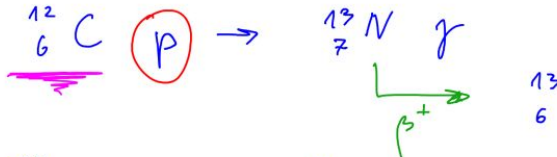


Neutrino:)

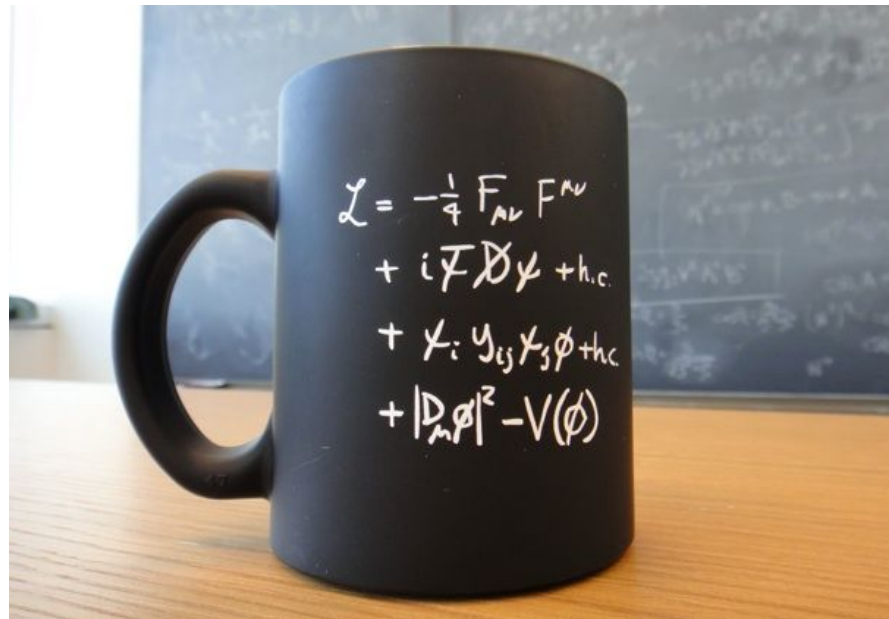
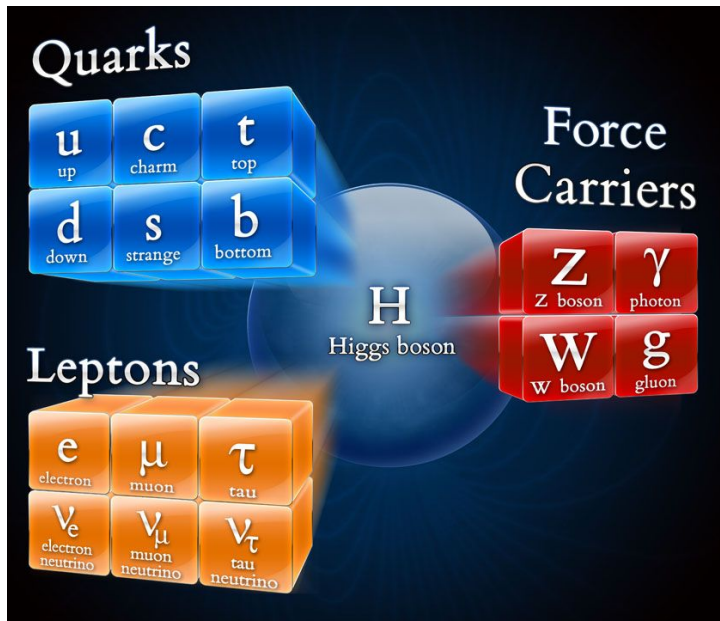
pp cycle



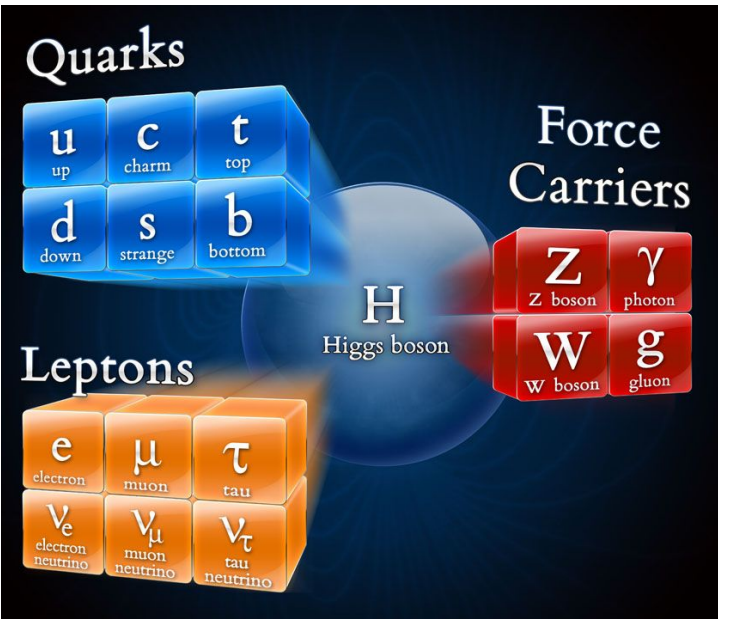
CNO cycle



Neutrina:)



Neutrina:)



$$\begin{aligned}
 \mathcal{L}_{SM} = & -\frac{1}{2}\partial_\nu g_\mu^a \partial_\nu g_\mu^a - g_s f^{abc} \partial_\nu g_\mu^b g_\mu^c - \frac{1}{2}g_w^2 f^{abf} g_\mu^b g_\nu^c - \partial_\nu W_\mu^a \partial_\nu W_\mu^- \\
 & - M^2 W_\mu^+ W_\mu^- - \frac{1}{2}\partial_\nu Z_\mu^0 Z_\mu^0 - \frac{1}{2c_w^2} M^2 Z_\mu^0 Z_\mu^0 - \frac{1}{2}\partial_\mu A_\nu \partial_\mu A_\nu - ig c_w (\partial_\mu Z_\mu^0 (W_\mu^+ W_\nu^- \\
 & - W_\nu^+ W_\mu^-) - Z_\mu^0 (W_\mu^+ \partial_\nu W_\nu^- - W_\mu^- \partial_\nu W_\mu^+) + Z_\mu^0 (W_\nu^+ \partial_\nu W_\mu^- - W_\nu^- \partial_\nu W_\mu^+)) - \\
 & ig s_w (\partial_\nu A_\mu (W_\mu^+ W_\nu^- - W_\nu^+ W_\mu^-) - A_\nu (W_\mu^+ \partial_\nu W_\mu^- - W_\mu^- \partial_\nu W_\mu^+) + A_\mu (W_\nu^+ \partial_\nu W_\mu^- \\
 & - W_\nu^- \partial_\nu W_\mu^+)) - \frac{1}{2}g^2 W_\mu^+ W_\mu^- W_\nu^+ W_\nu^- + \frac{1}{2}g^2 W_\mu^+ W_\nu^+ W_\mu^- W_\nu^- + g^2 c_w^2 (Z_\mu^0 W_\mu^+ Z_\nu^0 W_\nu^- \\
 & - Z_\mu^0 Z_\nu^0 W_\mu^+ W_\nu^-) + g^2 s_w^2 (A_\mu W_\nu^+ A_\nu W_\mu^- - A_\mu A_\nu W_\nu^+ W_\mu^-) + g^2 s_w c_w (A_\nu Z_\mu^0 (W_\mu^+ W_\nu^- \\
 & - W_\nu^+ W_\mu^-) - 2 A_\mu Z_\mu^0 W_\nu^+ W_\nu^-) - \frac{1}{2}\partial_\mu H \partial_\mu H - 2 M^2 \alpha_h H^2 - \partial_\mu \phi^+ \partial_\mu \phi^- - \frac{1}{2}\partial_\mu \phi^0 \partial_\mu \phi^0 - \\
 & \beta_h \left(\frac{2M^2}{g^2} + \frac{2M}{g} H + \frac{1}{2}(H^2 + \phi^0 \phi^0 + 2\phi^+ \phi^-) \right) + \frac{2M^4}{g^2} \alpha_h - \\
 & g \alpha_h M (H^3 + H \phi^0 \phi^0 + 2H \phi^+ \phi^-) - \\
 & \frac{1}{8}g^2 \alpha_h (H^4 + (\phi^0)^4 + 4(\phi^0 \phi^+)^2 + 4(\phi^0)^2 \phi^+ \phi^- + 4H^2 \phi^+ \phi^- + 2(\phi^0)^2 H^2) - \\
 & g M W_\mu^+ W_\mu^- H - \frac{1}{2}g \frac{M}{c_w} Z_\mu^0 Z_\mu^0 H - \\
 & \frac{1}{2}ig (W_\mu^+ (\phi^0 \partial_\mu \phi^- - \phi^- \partial_\mu \phi^0) - W_\mu^- (\phi^0 \partial_\mu \phi^+ - \phi^+ \partial_\mu \phi^0)) + \\
 & \frac{1}{2}g (W_\mu^+ (H \partial_\mu \phi^- - \phi^- \partial_\mu H) + W_\mu^- (H \partial_\mu \phi^+ - \phi^+ \partial_\mu H)) + \frac{1}{2}g \frac{1}{c_w} (Z_\mu^0 (H \partial_\mu \phi^0 - \phi^0 \partial_\mu H) + \\
 & M (-\frac{s_w}{c_w} Z_\mu^0 \partial_\mu \phi^0 + W_\mu^+ \partial_\mu \phi^- + W_\mu^- \partial_\mu \phi^+) - ig \frac{s_w}{c_w} M Z_\mu^0 (W_\mu^+ \phi^- - W_\mu^- \phi^+) + ig s_w M A_\mu (W_\mu^+ \phi^- \\
 & - W_\mu^- \phi^+) - ig \frac{1-2c_w^2}{2c_w} Z_\mu^0 (\phi^+ \partial_\mu \phi^- - \phi^- \partial_\mu \phi^+) + ig s_w A_\mu (\phi^+ \partial_\mu \phi^- - \phi^- \partial_\mu \phi^+) - \\
 & \frac{1}{4}g^2 W_\mu^+ W_\mu^- (H^2 + (\phi^0)^2 + 2\phi^+ \phi^-) - \frac{1}{8}g \frac{1}{c_w^2} Z_\mu^0 Z_\mu^0 (H^2 + (\phi^0)^2 + 2(2s_w^2 - 1)^2 \phi^+ \phi^-) - \\
 & \frac{1}{2}g^2 \frac{s_w}{c_w} Z_\mu^0 \phi^0 (W_\mu^+ \phi^- - W_\mu^- \phi^+) - \frac{1}{2}g^2 \frac{s_w}{c_w} Z_\mu^0 H (W_\mu^+ \phi^- - W_\mu^- \phi^+) + \frac{1}{2}g^2 s_w A_\mu \phi^0 (W_\mu^+ \phi^- \\
 & - W_\mu^- \phi^+) + \frac{1}{2}g^2 s_w A_\mu H (W_\mu^+ \phi^- - W_\mu^- \phi^+) - \frac{g^2 s_w}{c_w} (2c_w^2 - 1) Z_\mu^0 A_\mu \phi^+ \phi^- - \\
 & g^2 s_w^2 A_\mu A_\mu \phi^+ \phi^- + \frac{1}{2}ig_s \lambda_{ij}^0 (q_i^0 \gamma^\mu q_j^0) g_\mu^\mu - \bar{e}^j (\gamma \partial + m_e^j) e^{\bar{j}} - \bar{\nu}_j (\gamma \partial + m_\nu^j) \nu^{\bar{j}} - \bar{u}_j^i (\gamma \partial + \\
 & m_u^i) u^{\bar{j}} - \bar{d}_j^i (\gamma \partial + m_d^i) d^{\bar{j}} + ig s_w A_\mu \left(-(\bar{e}^{\lambda} \gamma^\mu e^{\bar{\lambda}}) + \frac{2}{3} (\bar{u}_j^i \gamma^\mu u_j^{\bar{i}}) - \frac{1}{3} (\bar{d}_j^i \gamma^\mu d_j^{\bar{i}}) \right) + \\
 & \frac{ig}{4c_w} Z_\mu^0 ((\bar{p}^{\lambda} \gamma^\mu (1 + \gamma^5) \nu^{\bar{\lambda}}) + (\bar{e}^{\lambda} \gamma^\mu (4s_w^2 - 1 - \gamma^5) e^{\bar{\lambda}}) + (\bar{d}^{\lambda} \gamma^\mu (\frac{4}{3}s_w^2 - 1 - \gamma^5) d^{\bar{\lambda}}) + \\
 & (\bar{u}_j^{\lambda} \gamma^\mu (1 - \frac{8}{3}s_w^2 + \gamma^5) u_j^{\bar{\lambda}}) + \frac{ig}{2\sqrt{2}} W_\mu^+ ((\bar{\nu}^{\lambda} \gamma^\mu (1 + \gamma^5) U^{\text{lep}}_{\lambda \kappa} e^{\bar{\kappa}}) + (\bar{u}_j^{\lambda} \gamma^\mu (1 + \gamma^5) C_{\lambda \kappa} d_j^{\bar{\kappa}})) + \\
 & \frac{ig}{2\sqrt{2}} W_\mu^- ((\bar{e}^{\kappa} U^{\text{lep}}_{\lambda \kappa} \mu (1 + \gamma^5) \nu^{\bar{\lambda}}) + (\bar{d}_j^{\lambda} C_{\lambda \kappa}^{\dagger} \mu (1 + \gamma^5) u_j^{\bar{\lambda}})) + \\
 & \frac{ig}{2M\sqrt{2}} \phi^+ \left(-m_e^{\kappa} (\bar{\nu}^{\lambda} U^{\text{lep}}_{\lambda \kappa} (1 - \gamma^5) e^{\bar{\kappa}}) + m_\nu^{\kappa} (\bar{\nu}^{\lambda} U^{\text{lep}}_{\lambda \kappa} (1 + \gamma^5) e^{\bar{\kappa}}) + \right. \\
 & \left. - \frac{im_\nu^{\kappa}}{2M} (\bar{e}^{\lambda} U^{\text{lep}}_{\lambda \kappa} (1 + \gamma^5) \nu^{\bar{\lambda}}) - m_e^{\kappa} (\bar{e}^{\lambda} U^{\text{lep}}_{\lambda \kappa}^{\dagger} (1 - \gamma^5) \nu^{\bar{\lambda}}) \right) - \frac{g m_\nu^2}{2M} H (\bar{\nu}^\lambda \nu^{\bar{\lambda}}) - \\
 & \frac{g m_\lambda^2}{2M} H (\bar{e}^{\lambda} e^{\bar{\lambda}}) + \frac{ig m_\lambda^2}{2M} \phi^0 (\bar{\nu}_\lambda \gamma^5 \nu^{\bar{\lambda}}) - \frac{ig m_\lambda^2}{2M} \phi^0 (\bar{e}^{\lambda} \gamma^5 e^{\bar{\lambda}}) - \frac{1}{4} \bar{\nu}_\lambda M_{\lambda \kappa}^R (1 - \gamma_5) \bar{\nu}_\kappa - \\
 & \frac{1}{4} \bar{\nu}_\lambda M_{\lambda \kappa}^R (1 - \gamma_5) \bar{\nu}_\kappa + \frac{ig}{2M\sqrt{2}} \phi^+ \left(-m_u^{\bar{i}} (\bar{u}_j^{\lambda} C_{\lambda \kappa} (1 - \gamma^5) d_j^{\bar{i}}) + m_u^{\bar{i}} (\bar{u}_j^{\lambda} C_{\lambda \kappa} (1 + \gamma^5) d_j^{\bar{i}}) \right. \\
 & \left. - \frac{ig}{2M\sqrt{2}} \phi^- \left(m_d^{\bar{i}} (\bar{d}_j^{\lambda} C_{\lambda \kappa}^{\dagger} (1 + \gamma^5) u_j^{\bar{i}}) - m_u^{\bar{i}} (\bar{d}_j^{\lambda} C_{\lambda \kappa}^{\dagger} (1 - \gamma^5) u_j^{\bar{i}} \right) - \frac{g m_\lambda^2}{2M} H (\bar{u}_j^{\lambda} u_j^{\bar{\lambda}}) - \right. \\
 & \left. \frac{g m_\lambda^2}{2M} H (\bar{d}_j^{\lambda} d_j^{\bar{\lambda}}) + \frac{ig m_\lambda^2}{2M} \phi^0 (\bar{u}_j^{\lambda} \gamma^5 u_j^{\bar{\lambda}}) - \frac{ig m_\lambda^2}{2M} \phi^0 (\bar{d}_j^{\lambda} \gamma^5 d_j^{\bar{\lambda}}) + \bar{G}^a \partial^2 G^a + g_s f^{abc} \partial_\mu \bar{G}^a G^b g_\mu^c + \right. \\
 & \left. \bar{X}^+ (\partial^2 - M^2) X^+ + \bar{X}^- (\partial^2 - M^2) X^- + \bar{X}^0 (\partial^2 - \frac{M^2}{c_w^2}) X^0 + \bar{Y} \partial^2 Y + ig c_w W_\mu^+ (\partial_\mu \bar{X}^0 X^- - \right. \\
 & \left. \partial_\mu \bar{X}^+ X^0) + ig s_w W_\mu^+ (\partial_\mu \bar{Y} X^- - \partial_\mu \bar{X}^+ Y) + ig c_w W_\mu^- (\partial_\mu \bar{X}^- X^+ + \right. \\
 & \left. \partial_\mu \bar{X}^0 X^-) + ig s_w W_\mu^- (\partial_\mu \bar{Y} X^- - \partial_\mu \bar{X}^+ Y) + ig c_w Z_\mu^0 (\partial_\mu \bar{X}^- X^+ - \right. \\
 & \left. \partial_\mu \bar{X}^+ X^-) + ig s_w A_\mu (\partial_\mu \bar{X}^- X^+ - \right. \\
 & \left. \frac{1}{2}g M \left(\bar{X}^+ X^+ H + \bar{X}^- X^- H + \frac{1}{c_w^2} \bar{X}^0 X^0 H \right) + \frac{1-2c_w^2}{2c_w} ig M (\bar{X}^+ X^0 \phi^+ - \bar{X}^- X^0 \phi^-) + \right. \\
 & \left. \frac{1}{2c_w} ig M (\bar{X}^0 X^- \phi^+ - \bar{X}^0 X^+ \phi^-) + ig M s_w (\bar{X}^0 X^- \phi^+ - \bar{X}^0 X^+ \phi^-) + \right. \\
 & \left. \frac{1}{2}ig M (\bar{X}^+ X^0 \phi^0 - \bar{X}^- X^- \phi^0) \right).
 \end{aligned}$$

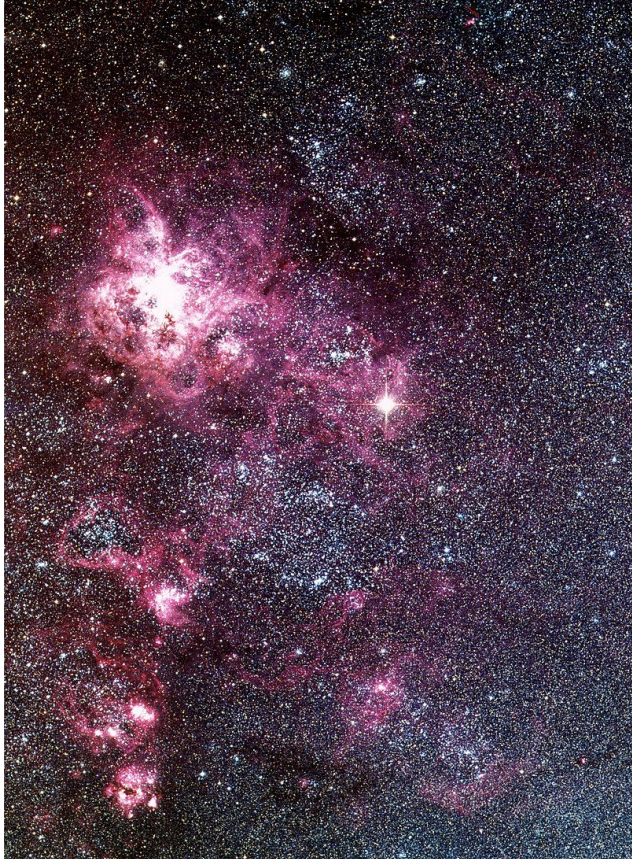
SN1987A 24.2.1987 :: 170kly



SN1987A 24.2.1987 :: 170kly



SN1987A 24.2.1987 :: 170kly



https://en.wikipedia.org/wiki/SN_1987A

<https://www-sk.icrr.u-tokyo.ac.jp/en/news/detail/324>

Experiment Kamiokande(-II) :: 3kt H₂O

VOLUME 58, NUMBER 14

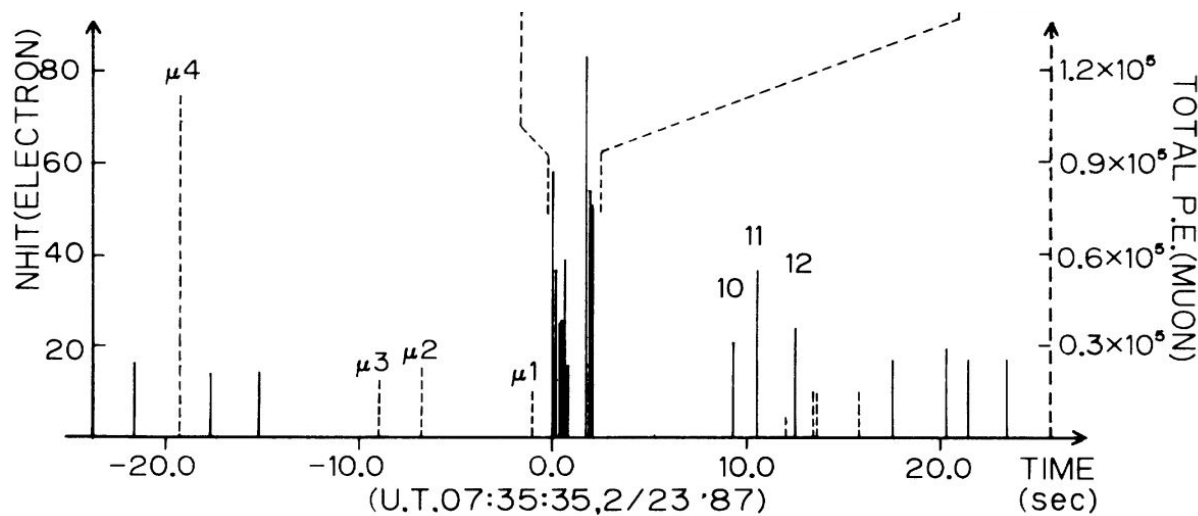
PHYSICAL REVIEW LETTERS

6 APRIL 1987

Observation of a Neutrino Burst from the Supernova SN1987A

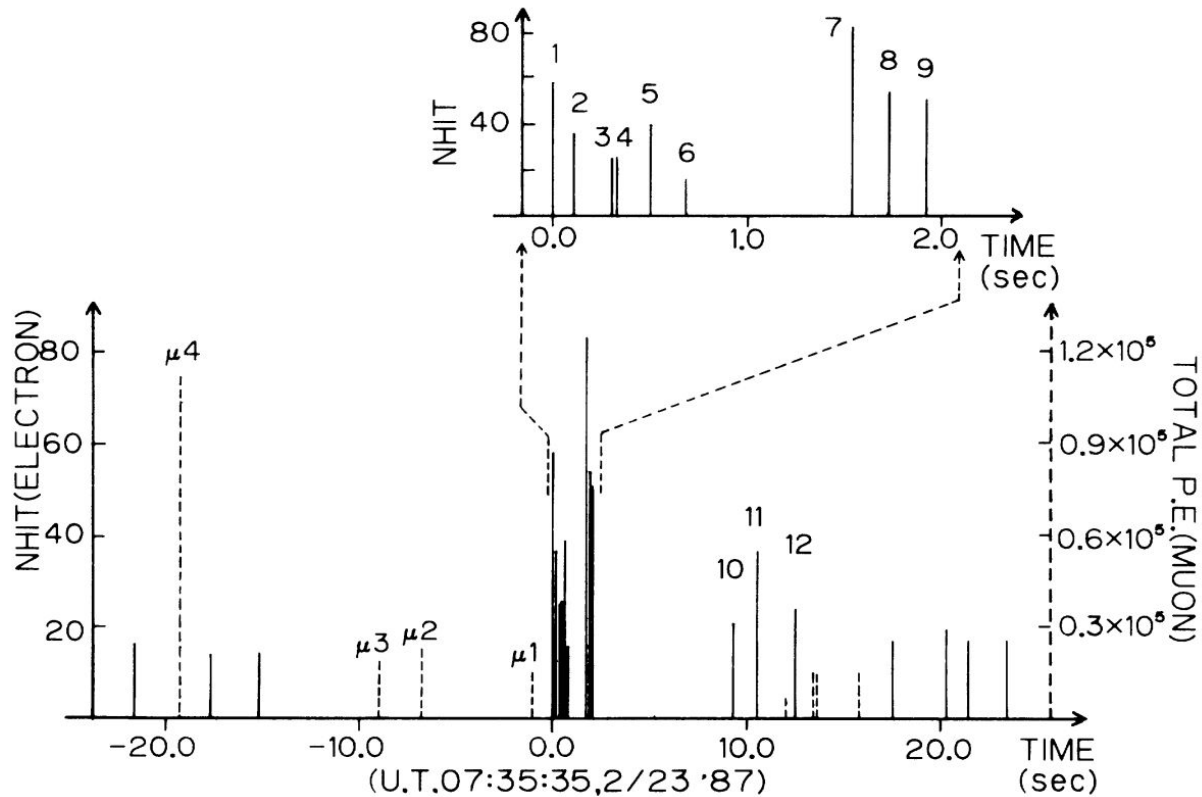
K. Hirata,^(a) T. Kajita,^(a) M. Koshiba,^(a,b) M. Nakahata,^(b) Y. Oyama,^(b)
N. Sato,^(c) A. Suzuki,^(b) M. Takita,^(b) and Y. Totsuka^(a,c)

University of Tokyo, Tokyo 113, Japan



Experiment Kamiokande(-II) :: 3kt H₂O

- Počátky neutrinové astronomie! :-)



Experiment Kamiokande(-II) :: 3kt H₂O

- Počátky neutrinové astronomie! :-)
- 1 Erg is a unit of energy equal to 10^{-7} Joules (100 nJ)

form volume distribution. Additional support is provided by the correlation in angle of the first two observed events with the direction to SN1987A. The event burst occurred roughly 18 h prior to the first optical sighting.¹

Correcting for energy-dependent detection efficiency, and assuming that nine of the twelve events are due to $\bar{\nu}_e p^+ \rightarrow e^+ n$, we obtain an integral flux of $1.0 \times 10^{10} \bar{\nu}_e$ cm⁻² for the burst, where the $\bar{\nu}_e$ energy (the observed electron energy plus 1.3 MeV) is above 8.8 MeV. This, in turn, leads to the $\bar{\nu}_e$ output of SN1987A of 8×10^{52} ergs for an assumed average energy of 15 MeV.

This observation is the first direct observation in neutrino astronomy, and coincides remarkably well with the current model of supernova collapse and neutron-star formation.⁶ In that model an aged, massive star, having exhausted its nuclear fuel, undergoes a supernova explosion. In supernovae of Type II almost all of the gravitational binding energy of the resultant neutron star, $\sim 3 \times 10^{53}$ ergs, is radiated within a few seconds in the form of 10^{58} neutrinos of all flavors with average energy in the vicinity of 10–15 MeV.

Experiment Kamiokande(-II) :: 3kt H₂O

- Počátky neutrinové astronomie! :-)
- 1 Erg is a unit of energy equal to 10^{-7} Joules (100 nJ)

form volume distribution. Additional support is provided by the correlation in angle of the first two observed events with the direction to SN1987A. The event burst occurred roughly 18 h prior to the first optical sighting.¹

Correcting for energy-dependent detection efficiency, and assuming that nine of the twelve events are due to $\bar{\nu}_e p^+ \rightarrow e^+ n$, we obtain an integral flux of $1.0 \times 10^{10} \bar{\nu}_e$ cm⁻² for the burst, where the $\bar{\nu}_e$ energy (the observed electron energy plus 1.3 MeV) is above 8.8 MeV. This, in turn, leads to the $\bar{\nu}_e$ output of SN1987A of 8×10^{52} ergs for an assumed average energy of 15 MeV.

This observation is the first direct observation in neutrino astronomy, and coincides remarkably well with the current model of supernova collapse and neutron-star formation.⁶ In that model an aged, massive star, having exhausted its nuclear fuel, undergoes a supernova explosion. In supernovae of Type II almost all of the gravitational binding energy of the resultant neutron star, $\sim 3 \times 10^{53}$ ergs, is radiated within a few seconds in the form of 10^{58} neutrinos of all flavors with average energy in the vicinity of 10–15 MeV.

Experiment Kamiokande(-II) :: 3kt H₂O

- Počátky neutrinové astronomie! :-)
- 1 Erg is a unit of energy equal to 10^{-7} Joules (100 nJ)

form volume distribution. Additional support is provided by the correlation in angle of the first two observed events with the direction to SN1987A. The event burst occurred roughly 18 h prior to the first optical sighting.¹

Correcting for energy-dependent detection efficiency, and assuming that nine of the twelve events are due to $\bar{\nu}_e p^+ \rightarrow e^+ n$, we obtain an integral flux of $1.0 \times 10^{10} \bar{\nu}_e$ cm⁻² for the burst, where the $\bar{\nu}_e$ energy (the observed electron energy plus 1.3 MeV) is above 8.8 MeV. This, in turn, leads to the $\bar{\nu}_e$ output of SN1987A of 8×10^{52} ergs for an assumed average energy of 15 MeV.

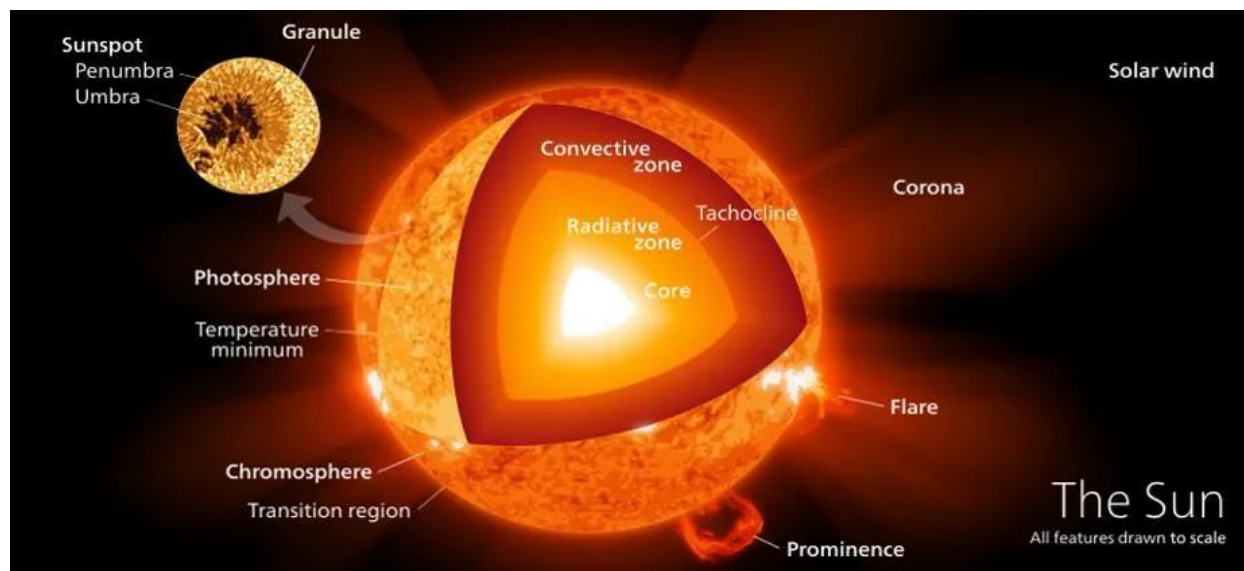
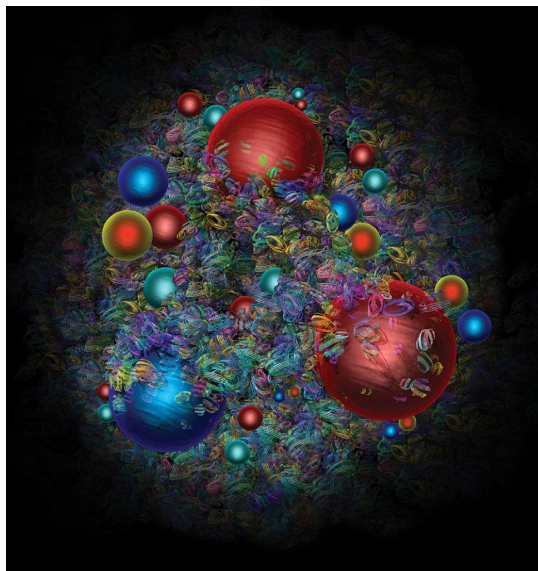
This observation is the first direct observation in neutrino astronomy, and coincides remarkably well with the current model of supernova collapse and neutron-star formation.⁶ In that model an aged, massive star, having

exhausted its nuclear fuel, undergoes a supernova explosion. In supernovae of Type II almost all of the gravitational binding energy of the resultant neutron star, $\sim 3 \times 10^{53}$ ergs, is radiated within a few seconds in the form of 10^{58} neutrinos of all flavors with average energy in the vicinity of 10–15 MeV.

Proton

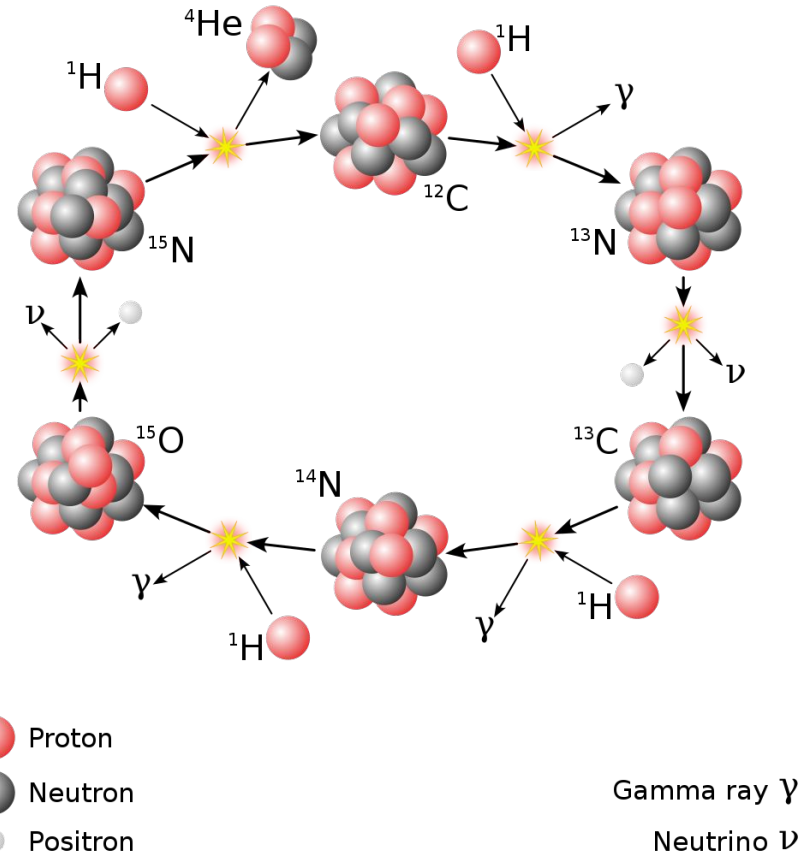
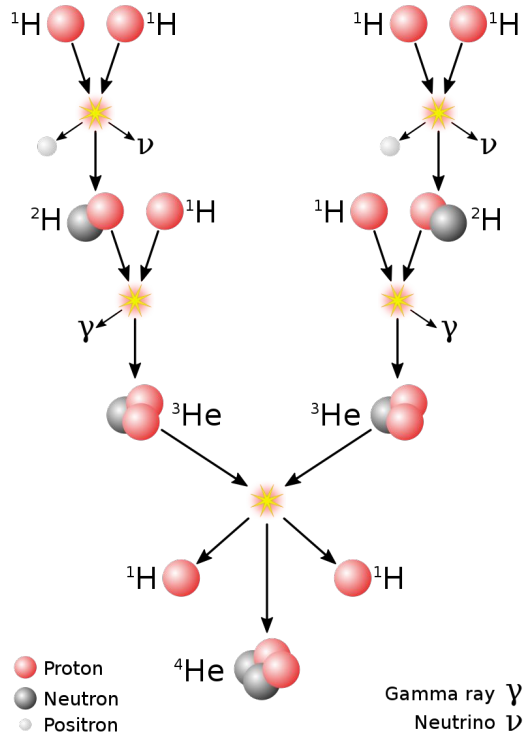
- Nejjednodušší a nejčastější jádro atomu ve Vesmíru
- Stabilní
- Palivo hvězd, ve kterých vznikají těžší jádra a energie

<https://home.cern/news/news/physics/proton-century>



<https://www.forbes.com/sites/startswithabang/2017/09/05/the-suns-energy-doesnt-come-from-fusing-hydrogen-into-helium-mostly/>

Neutrina ze Slunce: pp a CNO cyklus

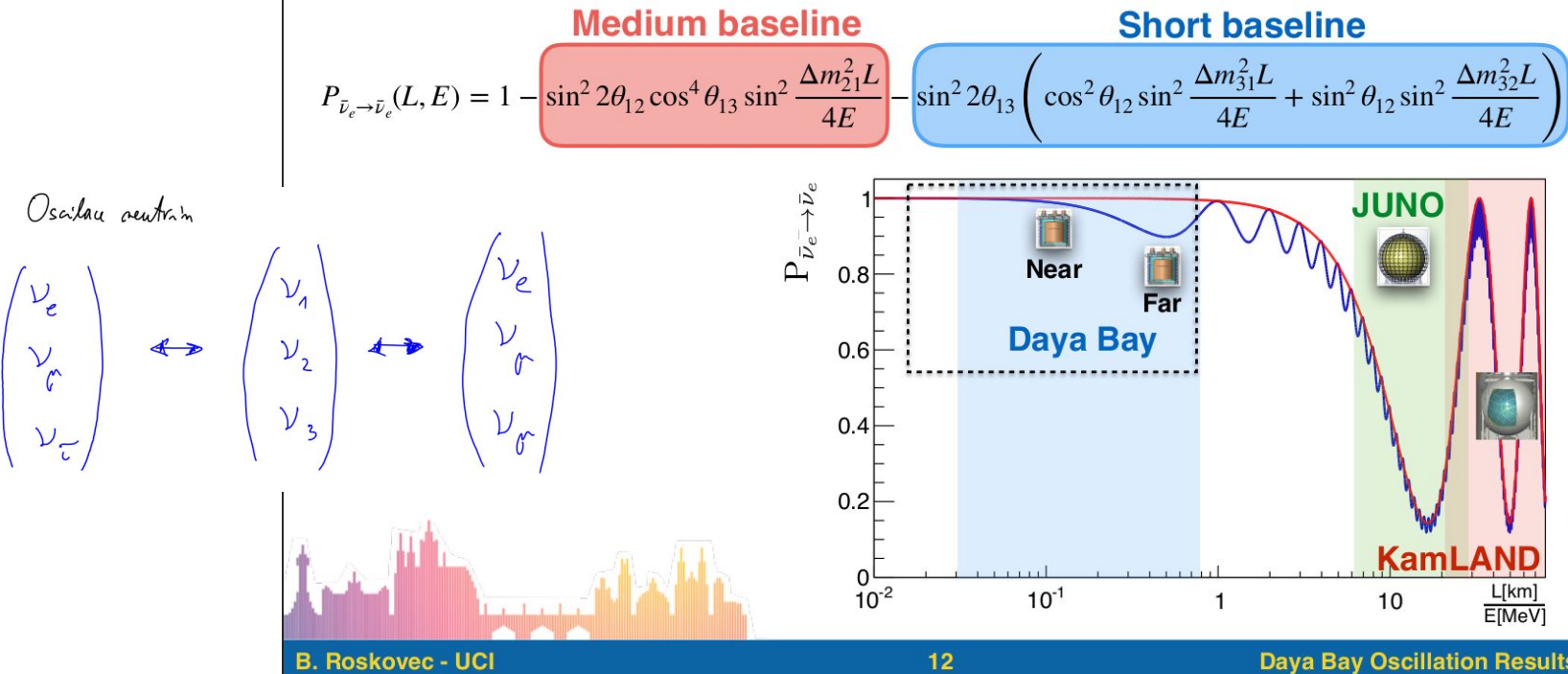


Fyzikální program: Oscilace neutrin

- Zde ilustrace na měření oscilací reaktorového experimentu Daya Bay a JUNO.

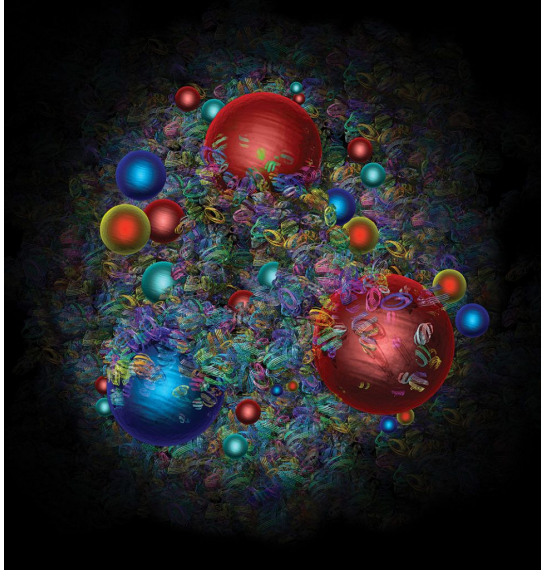
WW Looking at the flux of $\bar{\nu}_e$ as a function of distance and energy

WW Some $\bar{\nu}_e$'s disappear due to neutrino oscillation



Rozpad protonu?

- Možný v některých teoriích za současný Standardní model mikrosvěta.
- Hledejme tedy!
- Kdyby byl pozorován, je to náznak nové fyziky!



$$p^+ \rightarrow e^+ \pi^0 \quad \pi^0 \rightarrow \gamma\gamma$$

$$p^+ \rightarrow \mu^+ \pi^0 \quad \mu^+ \rightarrow e^+ \bar{\nu}_\mu \nu_e$$
$$\pi^0 \rightarrow \gamma\gamma$$